

TUGAS AKHIR - EE184801

DESAIN MAXIMUM POWER POINT TRACKING PADA FUEL CELL DENGAN KAPASITAS 5KW BERBASIS FUZZY LOGIC CONTROLLER

NADILAH LAKSMI MARAHAINI

NRP 07111840000089

Dosen Pembimbing

Feby Agung Pamuji, S.T., M.T., Ph.D.

Prof. Dr. Ir. Soediby, M.MT.

Program Studi Sarjana Teknik Elektro

Departemen Teknik Elektro

Fakultas Teknik Elektro dan Informatika Cerdas

Institut Teknologi Sepuluh Nopember

Surabaya

2022



TUGAS AKHIR - EE184801

**DESAIN MAKSIMUM POWER POINT TRACKING PADA
FUEL CELL DENGAN KAPASITAS 5KW BERBASIS
FUZZY LOGIC CONTROLLER**

NADILAH LAKSMI MARAHAINI

NRP 07111840000089

Dosen Pembimbing

Feby Agung Pamuji, S.T., M.T., Ph.D.

Prof. Prof. Prof. Dr. Ir. Soediby, M.MT.

Program Studi Sarjana Teknik Elektro

Departemen Teknik Elektro

Fakultas Teknologi Elektro dan Infotmatika Cerdas

Institut Teknologi Sepuluh Nopember

Surabaya

2022



FINAL PROJECT - EE184801

**DESIGN MAXIMUM POWER POINT TRACKING ON
FUEL CELL CAPACITY 5KW BASED ON FUZZY LOGIC
CONTROLLER.**

NADILAH LAKSMI MARAHAINI

NRP 07111840000089

Advisor

Feby Agung Pamuji, S.T., M.T., Ph.D.

Prof. Dr. Ir. Soedibyso, M.MT.

Electrical Engineering Undergraduate Program

Department of Electrical Engineering

Faculty of Intelligent Electrical and Informatics Technology

Institut Teknologi Sepuluh Nopember

Surabaya

2022

**DESAIN MAXIMUM POWER POINT TRACKING PADA FUEL CELL DENGAN KAPASITAS 5KW
BERBASIS FUZZY LOGIC KONTROLLER. (DESIGN MAXIMUM POWER POINT TRACKING ON
FUEL CELL CAPACITY 5KW BASED ON FUZZY LOGIC CONTROLLER)**

TUGAS AKHIR

Diajukan Guna Memenuhi Sebagian Persyaratan
Untuk Memperoleh Gelar Sarjana Teknik

Pada

Bidang Studi Teknik Sistem Tenaga
Departemen Teknik Elektro
Fakultas Teknologi Elektro dan Informatika Cerdas
Institut Teknologi Sepuluh Nopember

Menyetujui:

Dosen Pembimbing I



Feby Agung Pamuji, S.T., M.T., Ph.D.
NIP. 198702062012121002

Dosen Pembimbing II



Prof. Dr.Ir. Soedibyo, MMT.
NIP. 195512071980031004

**SURABAYA
JULI, 2022**

LEMBAR PENGESAHAN

DESAIN MAKSIMUM POWER POINT TRACKING PADA FUEL CELL DENGAN KAPASITAS 5KW BERBASIS FUZZY LOGIC CONTROLLER

TUGAS AKHIR

Diajukan untuk memenuhi salah satu syarat
memperoleh gelar Sarjana pada
Program Studi S-1 Teknik Sistem Tenaga
Departemen Teknik Elektro
Fakultas Tekonolgi Elektro dan Informatika Cerdas
Institut Teknologi Sepuluh Nopember

Oleh **NADILAH LAKSMI MARAHAINI**

NRP. 0711184000089

Disetujui oleh Tim Penguji Tugas Akhir.

1. Feby Agung Pamuji, S.T., M.T., Ph.D.
2. Prof. Dr. Ir. Soedibyo, M.MT.
3. Heri Suryoatmojo, ST., MT., Ph.D.
4. Dr.Ir. Ni Ketut Aryani, MT.
5. Dimas Anton Asfani, ST., MT., Ph.D.
6. Dr. I Gusti Ngurah Satriyadi H. S.T., MT

Pembimbing

Ko-pembimbing

Penguji

Penguji

Penguji

Penguji

SURABAYA

April, 2022

APPROVAL SHEET

DESIGN MAXIMUM POWER POINT TRACKING ON FUEL CELL CAPACITY
5KW BASED ON FUZZY LOGIC CONTROLLER.

FINAL PROJECT

Submitted to fulfill one of the requirements
for obtaining a degree bachelor at
Undergraduate Study Program of Power System
Department of of Electrical Engineering
Faculty of Intelligent Electrical and Informatics Technology
Institut Teknologi Sepuluh Nopember

By **Nadilah LAKSMI MARAHAINI**

NRP 0711184000089

Approved by Final Project Proposal Examiner Team.

1. Feby Agung Pamuji, S.T., M.T., Ph.D.

Pembimbing

2. Prof. Dr. Ir. Soedibyo, M.M.T.

Ko-pembimbing

3. Heri Suryoatmojo, ST., MT., Ph.D.

Penguji

4. Dr. Ir. Ni Ketut Aryani, MT.

Penguji

5. Dimas Anton Asfani, ST., MT., Ph.D.

Penguji

6. Dr. I Gusti Ngurah Satriyadi H. S.T., MT

Penguji

SURABAYA

April, 2022

PERNYATAAN ORISINALITAS

Yang bertanda tangan di bawah ini:

Nama mahasiswa / NRP : Nadilah Laksmi Marahaini

Program studi : Teknik Sistem Tenaga

Pembimbing 1 / NIP : Feby Agung Pamuji, S.T., M.T., Ph.D. / 198702062012121002

Pembimbing 2 / NIP : Prof. Dr. Ir. Soediby, M.MT. / 195512071980031004

dengan ini menyatakan bahwa Tugas Akhir dengan judul **“DESIGN MAXIMUM POWER POINT TRACKING ON FUEL CELL CAPACITY 5KW BASED ON FUZZY LOGIC CONTROLLER”** adalah hasil karya sendiri, bersifat orisinal, dan ditulis dengan mengikuti kaidah penulisan ilmiah.

Bilamana di kemudian hari ditemukan ketidaksesuaian dengan pernyataan ini, maka saya bersedia menerima sanksi sesuai dengan ketentuan yang berlaku di Institut Teknologi Sepuluh Nopember.

Surabaya, 20 April 2022

Mengetahui,

Dosen Pembimbing 1



Feby Agung Pamuji, S.T., M.T., Ph.D.

NIP. 198702062012121002

Mahasiswa



Nadilah Laksmi Marahaini

NRP. 07111840000089

STATEMENT OF ORIGINALITY

The undersigned below:

Name of student / NRP : Nadilah Laksmi Marahaini

Department : Teknik Sistem Tenaga

1st Advisor / NIP : Feby Agung Pamuji, S.T., M.T., Ph.D. / 198702062012121002

2nd Advisor / NIP : Prof. Dr. Ir. Soediby, M.MT. / 195512071980031004

hereby declare that the Final Project with the title of “**DESIGN MAXIMUM POWER POINT TRACKING ON FUEL CELL CAPACITY 5KW BASED ON FUZZY LOGIC CONTROLLER**” is the result of my own work, is original, and is written by following the rules of scientific writing.

If in the future there is a discrepancy with this statement, then I am willing to accept sanctions in accordance with the provisions that apply at Institut Teknologi Sepuluh Nopember

Surabaya, 20 April 2022

Acknowledged,

1st Advisor,



Feby Agung Pamuji, S.T., M.T., Ph.D.

NIP. 198702062012121002

Student



Nadilah Laksmi Marahaini

NRP. 07111840000089

ABSTRAK

DESAIN MAXIMUM POWER POINT TRACKING PADA FUEL CELL DENGAN KAPASITAS 5KW BERBASIS FUZZY LOGIC CONTROLLER.

Nama / NRP : Nadilah Laksmi Marahaini 0711184000089
Departemen : Teknik Elektro - FTEIC
Dosen Pembimbing 1 : Feby Agung Pamuji, S.T., M.T., Ph.D.
Dosen Pembimbing 2 : Prof. Dr. Ir. Soedibyo, M.MT.

Abstrak

Penggunaan renewable energy telah berkembang dengan pesat, antara lain photovoltaic, wind turbine, fuel cell dan masih banyak lagi. Fuel cell merupakan sebuah alat konversi energi listrik yang prinsip kerjanya memanfaatkan proses elektrokimia dengan mengonversi energi kimia menjadi energi listrik yang memiliki efisiensi tinggi dan tidak menghasilkan emisi berbahaya. Listrik yang dihasilkan oleh fuel cell merupakan listrik searah (DC) dari hasil reaksi H₂ dan O₂. Sama halnya dengan renewable energy yang lain, penggunaan fuel cell memiliki keluaran daya dari konversi energinya bervariasi tergantung pada input atau energi yang diterima. Oleh karena itu, dibutuhkan MPPT (Maximum Power Point Tracking) untuk mengoptimalkan daya output pada operasi Fuel Cell. MPPT bekerja dengan cara menaikkan/menurunkan tegangan sampai ditemukannya titik daya keluaran yang maksimal. Dalam penggunaan MPPT ada beberapa algoritma yang dapat digunakan, salah satunya menggunakan *Fuzzy Logic Controller* (FLC). Tugas akhir ini dirancang untuk membuat sebuah desain dari MPPT pada fuel cell dengan kapasitas 5kW dengan implementasi algoritma *Fuzzy Logic Controller* (FLC).

Kata kunci: *Renewable Energy, Maximum Power Point Tracking (MPPT), Metode Peturb and Observe Algorithm (P&O), Fuzzy Logic Controller (FLC).*

ABSTRACT

DESIGN MAXIMUM POWER POINT TRACKING ON FUEL CELL CAPACITY 5KW BASED ON FUZZY LOGIC CONTROLLER.

Name / NRP : Nadilah Laksmi Marahaini 0711184000089
Department : Teknik Elektro - FTEIC
1st Advisor : Feby Agung Pamuji, S.T., M.T., Ph.D.
2nd Advisor : Prof. Dr. Ir. Soedibyo, M.MT.

Abstract

The use of renewable energy has grown rapidly, including photovoltaic, wind turbine, fuel cell and many more. A fuel cell is an electrical energy conversion device that utilizes an electrochemical process by converting chemical energy into electrical energy that has high efficiency and does not produce harmful emissions. The electricity generated by the fuel cell is direct current (DC) from the reaction of H₂ and O₂. Same as other renewable energy, fuel cells have the power output of their energy conversion varies depending on the input or energy received. Therefore, MPPT (Maximum Power Point Tracking) is needed to optimize the output power in Fuel Cell operation. MPPT works by increasing/lowering the voltage to the maximum output power point. In the application of MPPT there are several algorithms that can be used, one of which uses a Fuzzy Logic Controller (FLC). This final project is designed to make MPPT on a fuel cell with a capacity of 5kW with the implementation of the Fuzzy Logic Controller (FLC) algorithm.

Keywords: Renewable Energy, Maximum Power Point Tracking (MPPT), Metode Peturb and Observe Algorithm (P&O), Fuzzy Logic Controller (FLC).

KATA PENGANTAR

Puji syukur kehadirat Allah SWT atas segala rahmat dan hidayah-Nya sehingga penulis dapat menyelesaikan penelitian yang berjudul “Desain Maximum Power Point Tracking Pada Fuel Cell dengan kapasitas 5kW berbasis Fuzzy Logic Controller”. Harapan penulis, penelitian ini dapat dijadikan referensi penelitian selanjutnya.

Selama penulisan penelitian ini tentunya penulis mendapatkan banyak bantuan dari berbagai pihak yang telah mendukung dan membimbing penulis. Kasih yang tulus serta penghargaan yang setinggi-tingginya kepada:

1. Allah SWT atas limpahan rahmat, karunia dan petunjuk-Nya.
2. Orang tua dan kakak saya sebagai motivasi utama yang senantiasa memberi doa, semangat dan bantuan moral maupun materiil.
3. Bapak Feby Agung Pamuji, S.T., M.T., Ph.D. dan Prof. Dr. Ir. Soedibyo, M.MT. selaku dosen pembimbing yang telah banyak memberikan masukan serta arahan sehingga buku penelitian ini dapat diselesaikan dengan baik
4. Bapak Heri Suryoatmojo, S.T., M.T., Ph.D. selaku kepala Laboratorium Konversi Energi.
5. Keluarga Asisten Laboratorium Konversi Energi Listrik KESatuan, KESuksesan dan juga KEjayaan.
6. Handi Awaludin sebagai partner yang selalu mendukung dan mendengarkan keluh kesah.
7. Teman-teman SMAN 16 Surabaya angkatan 33 kelas 10 IPA 6 grup TBL TBL TBL dan GALAXY yang selalu sedia kapanpun dan memberikan motivasi
8. Teman-teman e58 yang telah berjuang bersama penulis sejak awal perkuliahan.
9. Dan seluruh pihak yang tidak bisa disebutkan satu persatu.

Penulis mengucapkan terima kasih atas segala doa dan dukungan yang telah diberikan selama ini. Penulis pun memohon maaf atas segala kekurangan pada penelitian ini. Semoga penelitian ini dapat memberikan informasi dan manfaat bagi mahasiswa Teknik Elektro ITS pada khususnya dan seluruh pembaca pada umumnya.

Surabaya, April 2022



Nadilah Laksmi Marahaini

DAFTAR ISI

LEMBAR PENGESAHAN	ii
APPROVAL SHEET	iv
PERNYATAAN ORISINALITAS	vi
ABSTRAK	x
DAFTAR ISI	xvi
DAFTAR GAMBAR	xviii
DAFTAR TABEL	xx
BAB 1 PENDAHULUAN	1
1.1 Latar Belakang.....	1
1.2 Rumusan Masalah.....	1
1.3 Tujuan.....	1
1.4 Batasan Masalah	2
1.5 Metodologi.....	2
1.6 Sistematika Penulisan	3
1.7 Relevansi	3
BAB 2 MAXIMUM POWER POINT TRACKING BERBASIS FUZZY LOGIC PADA PEM FUEL CELL	5
2.1 FUEL CELL	5
2.1.1 Fuel Cell Stack.....	6
2.1.2 Kurva Karakteristik Fuel Cell.....	11
2.2 Konverter DC/DC.....	11
2.2.1 Konverter Boost.....	11
2.3 Maximum Power Point Tracking (MPPT)	15
2.3.1 Skema Konverter Menggunakan MPPT	16
2.3.2 Algoritma Perturb and Observe (P&O)	17
2.4 Fuzzy Logic	17
2.4.1 Fuzzifikasi	18
2.4.2 Logika Pengambil Keputusan.....	20
2.4.3 Defuzzifikasi.....	20
2.4.4 Rules	21
BAB 3 DESAIN DAN SIMULASI	23
3.1 Permodelan Sistem	23
3.2 Desain Fuel Cell	23
3.2.1 Parameter dan Karakteristik Fuel Cell.....	25
3.3 Desain Konverter Boost.....	26
3.3.1 Perhitungan Duty Cycle.....	27
3.3.2 Perhitungan Nilai Resistor.....	27
3.3.3 Perhitungan Nilai Capacitor.....	27
3.3.4 Perhitungan Nilai Induktor	28
3.4 Perancangan MPPT Algoritma Perturb and Observation.....	28

3.5	Perancangan MPPT Algoritma Fuzzy Logic	29
3.5.1	Input Fuzzy Logic	29
3.6	Simulasi Sistem.....	33
3.6.1	Simulasi dengan Algoritma <i>Pertub and Observation</i>	34
3.6.2	Simulasi dengan Algoritma <i>Fuzzy Logic Controller</i>	35
BAB 4	HASIL DAN PEMBAHASAN	37
4.1	Simulasi MPPT pada Fuel Cell ketika beban meningkat.....	37
4.1.1	Hasil Simulasi MPPT Metode Fuzzy Logic beban meningkat	37
4.1.2	Hasil Simulasi MPPT Metode P&O beban meningkat	39
4.2	Hasil Simulasi MPPT pada Fuel Cell ketika beban menurun	41
4.2.1	Hasil Simulasi MPPT Metode Fuzzy Logic beban menurun.....	41
4.2.2	Hasil Simulasi MPPT Metode P&O beban menurun.....	43
4.3	Perbandingan Hasil Simulasi dan Pembahasan.....	45
4.3.1	Pembahasan.....	46
BAB 5	KESIMPULAN DAN SARAN	49
5.1	Kesimpulan	49
5.2	Saran.....	49
	DAFTAR PUSTAKA.....	51
	LAMPIRAN.....	53
	BIODATA PENULIS.....	77

DAFTAR GAMBAR

Gambar 2.1 Diagram skema fuel cell	5
Gambar 2.2 Rangkaian Ekuivalen Fuel Cell	6
Gambar 2.3 Daerah operasi tegangan dan arus pada Fuel Cell	6
Gambar 2.4 Rangkaian Ekuivalen Fuel Cell secara rinci	7
Gambar 2.5 Fuel Cell respon terhadap T_d , $U_{fO2(puncak)}$ dan V_u	10
Gambar 2.6 Kurva karakteristik <i>Fuel cell</i>	11
Gambar 2.7 Rangkaian Boost Konverter.....	11
Gambar 2.8 Rangkaian Boost Konverter switch ON.....	12
Gambar 2.9 Rangkaian Boost Konverter switch OFF	13
Gambar 2.10 Bentuk gelombang arus dan tegangan saat kondisi CCM	14
Gambar 2.11 Kurva Penentuan MPPT	16
Gambar 2.12 Block Diagram Konverter dengan MPPT.....	16
Gambar 2.13 Algoritma <i>Perturb and Observe</i> (P&O)	17
Gambar 2.14 Arsitektur dasar Fuzzy Logic Controller	18
Gambar 2.15 Skema FLC	18
Gambar 2.16 Tipe Fungsi keanggotaan	19
Gambar 3.1 Skema permodelan sistem Fuel Cell dengan MPPT.....	23
Gambar 3.2 Blok FC Stack.....	23
Gambar 3.3 Karakteristik dan Parameter Fuel Cell.....	24
Gambar 3.4 Fuel Cell Parameters.....	25
Gambar 3.5 Rangkaian uji Karakteristik Fuel Cell	25
Gambar 3.6 Kurva V-I Fuel Cell	26
Gambar 3.7 Kurva P-I Fuel Cell.....	26
Gambar 3.8 Kurva Karakteristik Blok Fuel Cell	26
Gambar 3.9 Sistem Blok <i>Perturb and Observation</i>	29
Gambar 3.10 Sistem Blok Algoritma Fuzzy Logic	29
Gambar 3.11 Fuzzy Logic <i>Application</i>	30
Gambar 3.12 Membership function input.....	30
Gambar 3.13 Membership function Output.....	31
Gambar 3.14 Memasukkan rules Fuzzy	32
Gambar 3.15 Simulasi Fuzzy Logic	32
Gambar 3.16 Surface Fuzzy Logic	33
Gambar 3.17 Simulasi sistem	33
Gambar 3.18 Simulasi sistem dengan algoritma <i>perturb and observe</i>	34
Gambar 3.19 Simulasi sistem engan algoritma <i>Fuzzy Logic Controller</i>	35
Gambar 4.1 Data Variasi beban meningkat.....	37
Gambar 4.2 Scope Daya output saat beban meningkat MPPT Metode Fuzzy Logic.....	37
Gambar 4.3 Daya Output – Beban beban naik dengan metode Fuzzy Logic.....	38
Gambar 4.4 Sinyal tegangan dan arus beban naik pada MPPT Metode Fuzzy Logic.....	38
Gambar 4.5 Risetime output daya beban meningkat pada MPPT Metode Fuzzy Logic.....	39
Gambar 4.6 Scope Daya output saat simulasi beban meningkat pada MPPT Metode P&O....	39
Gambar 4.7 Sinyal tegangan dan arus simulasi beban meningkat pada MPPT Metode P&O .	40
Gambar 4.8 Daya Output – Beban beban naik dengan metode P&O.....	40

Gambar 4.9 Risetime output daya beban meningkat pada MPPT dengan Metode P&O.....	41
Gambar 4.10 Data Variasi beban meningkat menurun	41
Gambar 4.11 Daya output saat simulasi beban menurun pada MPPT dengan Metode Fuzzy	41
Gambar 4.12 Daya Output – Beban beban turun dengan metode Fuzzy Logic.....	42
Gambar 4.13 Sinyal tegangan dan arus beban menurun pada MPPT Metode Fuzzy Logic....	42
Gambar 4.14 Risetime output daya beban menurun pada MPPT Metode Fuzzy Logic.....	43
Gambar 4.15 Daya output saat simulasi beban menurun pada MPPT dengan Metode P&O..	43
Gambar 4.16 Sinyal tegangan dan arus beban menurun pada MPPT Metode P&O.....	44
Gambar 4.17 Daya Output – Beban beban turun dengan metode P&O.....	44
Gambar 4.18 Risetime output daya beban menurun pada MPPT Metode P&O.....	45

DAFTAR TABEL

Tabel 2.1 Logika Aturan Fuzzy	20
Tabel 3.1 Parameter Fuel Cell (<i>User-defined</i>).....	24
Tabel 3.2 Tabel Data Konverter Boost	28
Tabel 3.3 Logika aturan Fuzzy Logic.....	31
Tabel 4.1 Tabel Daya Metode Fuzzy Logic beban meningkat.....	38
Tabel 4.2 Tabel Daya Metode P&O beban meningkat.....	39
Tabel 4.3 Tabel Daya Metode Fuzzy Logic beban menurun.....	42
Tabel 4.4 Tabel Daya Metode P&O beban menurun	43
Tabel 4.5 Perbandingan Hasil Simulasi MPPT Fuzzy Logic dengan P&O beban naik	45
Tabel 4.6 Perbandingan Hasil Simulasi MPPT Fuzzy Logic dengan P&O beban turun	45
Tabel 4.7 Rata-rata hasil simulasi MPPT beban naik dan turun.....	46
Tabel 4.8 Perbandingan Waktu Rise Time simulasi MPPT Fuzzy Logic dengan P&O	46

BAB 1

PENDAHULUAN

1.1 Latar Belakang

Perkembangan teknologi, bertambahnya populasi penduduk, serta meningkatnya aktivitas industri mengakibatkan peningkatan permintaan listrik di Indonesia hingga mencapai 3% pertahunnya. Peningkatan permintaan listrik tersebut menyebabkan berkurangnya pasokan energi konvensional (fosil) yang digunakan, sehingga alternatif sumber energi terbarukan mulai digunakan untuk membantu mengurangi peningkatan energi listrik.

Sumber energi terbarukan mempunyai banyak jenis, mulai dari tenaga surya, tenaga angin, tenaga hidrogen, dan lain sebagainya. Pada energi terbaukan tenaga hidrogen, atau fuel cell ini merupakan teknologi yang bertujuan untuk mengubah energi kimia menjadi energi listrik dan menghasilkan air sebagai hasil sampingnya. Teknologi ini tidak menghasilkan emisi dan tidak menimbulkan kebisingan serta memiliki efisiensi tinggi hingga 45% dalam konversi bahan bakar menjadi listrik, dan bisa lebih tinggi hingga 60%.

Dalam penggunaannya, fuel cell masih bisa dioptimalkan dengan metode pengaturan titik operasi Fuel Cell agar daya output yang dihasilkan maksimal. Metode yang dimaksud adalah *maximum power point tracking* (MPPT), dimana fungsi dari MPPT adalah untuk tracking titik kerja sebuah sumber energi agar menghasilkan daya maksimum. Metode kontrol ini mempunyai algoritma konvensional seperti *Perturb & Observation* (P&O), *Incremental Conductance* (InC), dan juga berbasis *Artificial Intelegent* (AI) seperti *Fuzzy Logic*. Metode P&O banyak digunakan karena aplikasinya yang sederhana, namun kelemahan metode P&O adalah interferensi meningkat dengan daya dan setelah daya Fuel Cell mencapai puncaknya, daya berkurang dan interferensi menjadi lebih besar. Alternatifnya adlalah penggunaan metode *fuzzy logic controller* (FLC) dimana metode ini mempunyai kemampuan penalaran yang mirip dengan kemampuan penalaran manusia. Maka dari itu, penelitian ini akan membahas mengenai peningkatan efisiensi penggunaan energi hidrogen dengan kontrol MPPT algoritma *fuzzy logic controller* (FLC) yang dibandingkan dengan metode konvensional *Perturb & Observation*. (P&O).

1.2 Rumusan Masalah

Permasalahan yang dibahas pada Tugas Akhir ini antara lain:

1. Potensi Fuel Cell sangat besar apabila dimanfaatkan untuk menghasilkan energi listrik, namun proses konversi energi tersebut memiliki efisiensi yang kurang maksimal. Oleh karena itu, dibutuhkan sebuah metode yang dapat memaksimalkan daya keluaran yang dihasilkan dari Fuel Cell.
2. Banyaknya variabel input pada fuel cell merupakan salah satu permasalahan yang didapati pada pengoperasiannya. Penggunaan ataupun penerapan logika fuzzy merupakan salah satu solusinya dimana *Fuzzy Logic Controller* bekerja dengan cara otomatis untuk mengatur.

1.3 Tujuan

Tujuan dari Penelitian ini diharapkan sebagai berikut:

1. Mendesain kontrol MPPT pada Fuel Cell dengan Kapasitas 5kW berbasis Fuzzy Logic Kontroller agar menghasilkan daya keluaran yang maksimal.
2. Membandingkan daya keluaran pada fuel cell dengan MPPT berbasis Perturb & Observasi (P&O) dan *Fuzzy Logic Controller*.

1.4 Batasan Masalah

Adapun Batasan masalah dalam penelitian ini adalah:

1. Permodelan dan simulasi Fuel Cell dengan kapasitas 5kW menggunakan MATLAB/Simulink R2020b
2. Pengujian menggunakan resistor variabel untuk merepresentasikan perubahan beban.
3. Perbandingan hasil antara MPPT dengan metode konvensional dan metode Fuzzy Logic Kontroller

1.5 Metodologi

Penelitian ini akan dilaksanakan dalam beberapa tahap yaitu sebagai berikut:

1. Studi Literatur

Pada tahap ini dilakukan studi mempelajari berbagai macam literatur yang berhubungan dengan Tugas Akhir ini baik dengan sumber berupa buku, paper atau jurnal, proceeding, laman internet dan sumber fakta lainnya untuk menunjang teori pendukung yang berkaitan dengan Desain Maximum Power Point Tracking pada PEM Fuel Cell dengan Kapasitas 5kW berbasis Fuzzy Logic Kontroller. dan referensi lain yang dianggap relevan.

2. Desain

Tahap selanjutnya adalah mendesain sistem Fuel Cell dengan langkah-langkah:

- a.) Permodelan Fuel Cell dengan keluaran daya 5kW
- b.) Memperlihatkan karakteristik Fuel Cell
- c.) Memodelkan Konverter DC-DC
- d.) Menentukan pembebanan maksimal
- e.) Membuat Fuzzy Logic dan pembanding P&O
- f.) Menggabungkan sistem
- g.) Menyesuaikan parameter-parameter untuk memaksimalkan performa
- h.) Validasi Hasil

3. Simulasi

Menyimulasikan serta menentukan mekanisme PEM Fuel Cell untuk mengontrol parameter yang diperlukan dari setiap prosesnya menggunakan controller. Desain tersebut berdasarkan data dan parameter komponen yang telah diidentifikasi dan dimodelkan pada tahap sebelumnya. Desain tersebut disimulasikan secara detail menggunakan software Simulink/MATLAB.

4. Analisis Data dan Evaluasi

Pada tahap ini dilakukan analisis data terkait hasil simulasi yang telah dilakukan. Data simulasi yang didapat akan dibandingkan dengan metode konvensional yaitu P&O dan metode yang digunakan yaitu *Fuzzy Logic Controller*.

5. Penulisan laporan Tugas Akhir

Tahapan terakhir pembuatan kesimpulan berdasarkan simulasi dan analisa data yang telah didapatkan saat proses simulasi sistem. Sebagai hasil akhir, laporan akan ditulis dalam bentuk buku Tugas Akhir.

1.6 Sistematika Penulisan

Sistematika penulisan dalam penelitian ini terdiri atas lima bab dengan uraian sebagai berikut:

BAB I **Pendahuluan**

Bab ini berisi pembahasan mengenai latar belakang, perumusan masalah, tujuan, batasan masalah, metodologi, sistematika penulisan, dan relevansi penelitian ini.

BAB II **Tinjauan Pustaka**

Bab ini berisi pembahasan mengenai tinjauan pustaka yang digunakan sebagai dasar penelitian penelitian ini seperti *Fuel Cell*, *Maximum Power Point Tracking* (MPPT), *Metode Fuzy Logic Contoller*, *Perturb and Observe* (P&O).

BAB III **Desain dan Simulasi**

Bab ini berisi pembahasan mengenai desain sistem beserta spesifikasinya, hasil simulasi menggunakan perangkat lunak.

BAB IV **Analisis Data**

Bab ini berisi pembahasan mengenai analisis data dari hasil pengujian performa dari desain.

BAB V **Kesimpulan dan Saran**

Bab ini berisi kesimpulan dari analisis dan saran untuk penelitian selanjutnya.

1.7 Relevansi

Hasil dari Penelitian ini diharapkan dapat memberikan manfaat sebagai berikut:

1. Membantu memperoleh MPP (Maximum Power Point) dengan metode *Fuzzy Logic Controller*.
2. Digunakan sebagai referensi mahasiswa yang mengerjakan penelitian pada bidang energi terbarukan

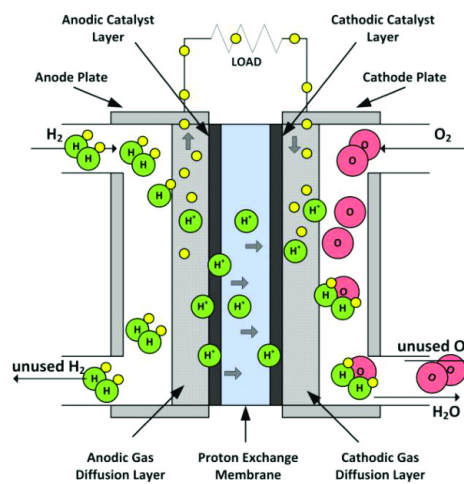
--Halaman ini sengaja dikosongkan--

BAB 2

MAXIMUM POWER POINT TRACKING BERBASIS FUZZY LOGIC PADA PEM FUEL CELL

2.1 FUEL CELL

Fuel Cell Proton exchange membrane (PEM) adalah perangkat elektrokimia yang dapat mengubah energi kimia menjadi energi listrik dan panas. Ada beberapa jenis fuel cell yang dapat menghasilkan daya listrik mulai dari miliwatt hingga megawatt. PEM fuel cell mengubah energi kimia yang dibebaskan dari reaksi elektrokimia menjadi hidrogen dan oksigen menjadi energi listrik, berlawanan dengan pembakaran langsung gas hidrogen dan oksigen untuk menghasilkan energi panas.



Gambar 2.1 Diagram skema fuel cell

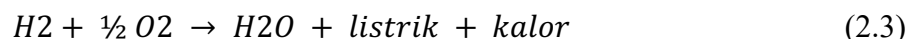
Bahan bakar bereaksi pada lapisan katalis anoda untuk membentuk proton dan elektron, persamaannya adalah sebagai berikut:



Bahan bakar bereaksi pada lapisan katalis katoda untuk membentuk proton dan elektron, persamaannya adalah sebagai berikut:



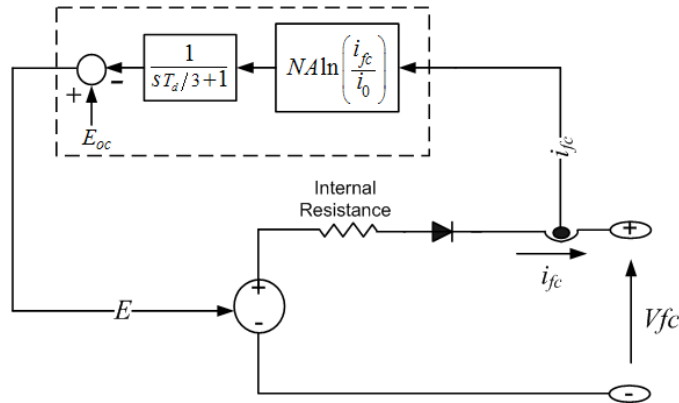
Sehingga secara keseluruhan, reaksinya adalah:



Kemampuan pembangkitan listrik oleh fuel cell mempunyai keterbatasan meskipun efisiensinya sudah cukup tinggi, karena adanya hambatan internal dan juga losses. Maka dari itu, fuel cell harus dipaksa beroperasi disekitar titik yang sesuai dengan titik daya maksimumnya (MPP). Secara umum, sistem fuel cell dioperasikan bersama dengan konverter daya dc-dc yang siklus kerjanya dimodulasi untuk melacak MPP. Kontroler MPPT menentukan sinyal kontrol D (duty cycle konverter DC/DC) bahwa daya maksimum diperoleh dari fuel cell dalam kondisi normal dan dengan adanya gangguan seperti beban dan variasi parameter sistem.

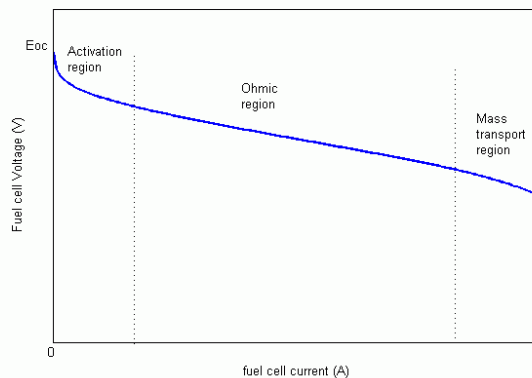
2.1.1 Fuel Cell Stack

ekivalen dari tumpukan Fuel Cell seperti:



Gambar 2.2 Rangkain Ekivalen Fuel Cell

Dalam Simulic pada MATLAB Model PEM Fuel Cell ini didasarkan pada rangkaian ekivalen dari tumpukan Fuel Cell yang beroperasi pada kondisi suhu dan tekanan nominal. Rangkaian Fuel Cell ini dapat dimodifikasi berdasarkan kurva polarisasi yang diperoleh dari lembar data pabrikan.



Gambar 2.3 Daerah operasi tegangan dan arus pada Fuel Cell

Wilayah pertama mewakili penurunan tegangan aktivasi karena lambatnya reaksi kimia yang terjadi pada permukaan elektroda dimana wilayah ini bergantung pada suhu dan tekanan operasi, jenis elektroda, dan katalis yang digunakan, sehingga wilayah ini tidak begitu luas. Wilayah kedua mewakili kerugian resistif karena adanya resistansi internal pada tumpukan Fuel Cell. Wilayah ketiga mewakili kerugian mass transport region dimana pada wilayah ini menampilkan perubahan konsentrasi reaktan pada saat Fuel Cell digunakan.

Fuel Cell jenis Polymer ini memiliki kemampuan untuk menghasilkan daya output yang bervariasi dan mempunyai keunggulan dibandingkan Fuel Cell jenis yang lainnya karena kerapatan yang paling tinggi dan kepekaan terhadap CO₂ yang tinggi.

Dalam rangkainnya, Fuel Cell bisa lebih rinci atau pendalaman dari rangkaian ekivalen luarannya, dimana perhitungan ini digunakan untuk memodifikasi parameter input yang ideal.

$$E_{OC} = K_c E_N \quad (2.4)$$

$$E_{OC} = \frac{zFK(P_{H_2} + P_{O_2})\Delta v}{Rh} e^{-\frac{\Delta G}{RT}} \quad (2.5)$$

$$A = \frac{RT}{z\alpha F'} \quad (2.6)$$

Dimana,

z = Jumlah elektron yang bergerak

E_N = Tegangan termodinamika sel dan tergantung pada suhu dan tekanan parsial

α = Koefisien transfer muatan

P_{H_2} = Tekanan parsial hidrogen di dalam Fuel Cell (Pa)

P_{O_2} = Tekanan parsial oksigen di dalam Fuel Cell (Pa)

k = Konstanta Boltzmann = $1,38 \times 10^{-23}$ J/K

h = Konstanta Planck = $6,626 \times 10^{-34}$ J s

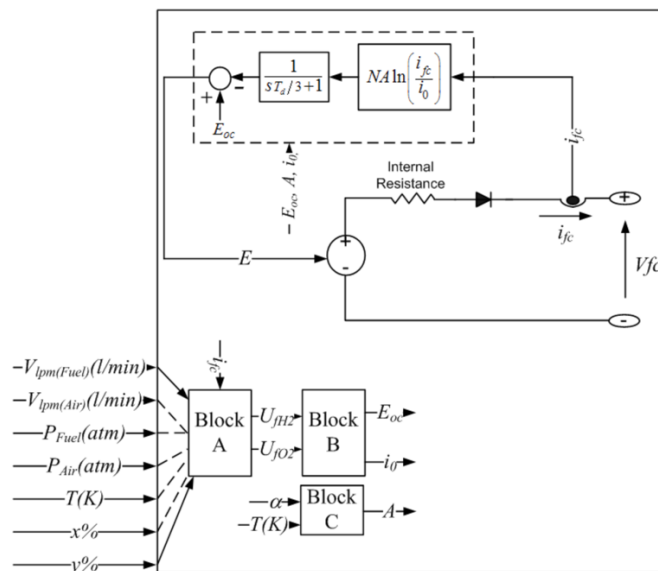
Δv = Faktor volume penghalang aktivasi (m^3).

ΔG = Ukuran penghalang yang tergantung pada elektroda dan katalis (J/mol)

T = Suhu operasi (K)

K_c = Konstanta tegangan pada kondisi operasi nominal

Rangkaian ekivalennya sama dengan model yang disederhanakan, kecuali bahwa parameter apabila nilai dari E_{oc} , i_o dan harus diperbarui secara *on-line* atau *use-rdefined* seperti yang ditunjukkan di bawah ini:



Gambar 2.4 Rangkaian Ekivalen Fuel Cell secara rinci

Laju pengkonversian hidrogen (U_{fH_2}) dan oksigen (U_{fO_2}) ditentukan di Blok A sebagai berikut:

$$\begin{cases} U_{fH_2} = \frac{n_{H_2}^r}{n_{H_2}^{in}} = \frac{6000RTNi_{fc}}{zFP_{fuel}V_{lpm}(fuel)x\%} \\ U_{fO_2} = \frac{n_{O_2}^r}{n_{O_2}^{in}} = \frac{6000RTNi_{fc}}{zFP_{air}V_{lpm}(air)y\%} \end{cases} \quad (2.7)$$

Dimana,
 P_{fuel} = Nilai absolut tekanan suplai bahan bakar (atm)
 P_{air} = Nilai absolut Tekanan suplai absolut udara (atm)
 $V_{lpm}(fuel)$ = Laju aliran bahan bakar (l/min)
 $V_{lpm}(air)$ = Laju aliran udara (l/mnt)
 x = Persentase hidrogen dalam bahan bakar (%)
 y = Persentase oksigen dalam oksidan (%)
 N = Jumlah sel

Konstanta 60000 berasal dari konversi dari laju aliran liter/menit yang digunakan dalam model menjadi m^3/s dimana 1 liter/menit bernilai sama dengan $1/60000 m^3/s$. Tekanan parsial dan tegangan Nernst ditentukan di Blok B dengan perhitungan:

$$\begin{cases} P_{H_2} = (1 - U_{fH_2})x\%P_{fuel} \\ P_{H_2O} = (w + 2y\%U_{fO_2})P_{air} \\ P_{O_2} = (1 - U_{fO_2})y\%P_{air} \end{cases} \quad (2.8)$$

Dan perhitungan,

$$E_n = \begin{cases} 1.229 + (T - 298) \frac{-44.43}{zF} + \frac{RT}{zF} \ln(P_{H_2}P_{O_2}^{1/2}), \text{ Saat } T \leq 100^\circ C \\ 1.229 + (T - 298) \frac{-44.43}{zF} + \frac{RT}{zF} \ln\left(\frac{P_{H_2}P_{O_2}^{1/2}}{P_{H_2O}}\right), \text{ Saat } T > 100^\circ C \end{cases} \quad (2.9)$$

Dimana,
 P_{H_2O} = Tekanan parsial uap air di dalam cerobong (atm)
 w = Persentase uap air dalam oksidan (%)

Dari tekanan parsial gas dan tegangan Nernst, nilai baru dari tegangan rangkaian terbuka (E_{oc}) dan arus pertukaran (i_0) dapat dihitung dengan perhitungan Blok C yang mempertimbangkan nilai baru kemiringan Tafel (A). Parameter alpha, G, dan Kc dihitung berdasarkan kurva polarisasi pada kondisi nominal operasi beserta beberapa parameter tambahan, seperti nilai kalor rendah (LHV) dari Fuel Cell, komposisi bahan bakar dan udara, tekanan suplai dan suhu. Mereka dapat dengan mudah diperoleh dari *datasheet*, dimana nilai nominalnya dapat dirumuskan sebagai berikut:

$$\begin{cases} U_{fH_2} = \frac{n_{nom}\Delta h^\circ(H_2O(gas))N}{zFV_{nom}} \\ U_{fO_2} = \frac{6000RT_{nom}Ni_{nom}}{2zFP_{air_{nom}}V_{lpm}(air)_{nom} \cdot 0.21} \end{cases} \quad (2.10)$$

Dimana,
 η_{om} = Efisiensi LHV nominal tumpukan (%)
 $\Delta h^\circ(H_2O(gas)) = 241,83 \times 10^3 \text{ J/mol}$

V_{nom} = Tegangan nominal (V)
 I_{nom} = Arus nominal (A)
 $V_{lpm(air)nom}$ = Laju aliran udara nominal (l/mnt).
 P_{airnom} = Tekanan suplai udara absolut nominal (Pa).
 T_{nom} = Suhu operasi nominal (K).

Dari tingkat konversi ini, tekanan parsial nominal gas dan tegangan Nernst dapat diturunkan. Dengan E_{oc} , i_o dan diketahui dan dengan asumsi bahwa Fuel Cell beroperasi pada laju konversi atau penggunaan yang konstan pada kondisi nominal, α , ΔG , dan K_c dapat ditentukan. Jika tidak ada bahan bakar atau udara pada input Fuel Cell, maka bisa diasumsikan bahwa cerobong beroperasi pada laju konversi gas yang tetap (laju konversi nominal) atau konstan, yaitu pasokan gas disesuaikan dengan arus sehingga mereka selalu dipasok dengan sedikit lebih banyak dari yang dibutuhkan oleh Fuel Cell pada beban apa pun.

Arus maksimum yang dapat diberikan oleh Fuel Cell dibatasi oleh laju aliran maksimum Fuel Cell dan udara yang dapat dicapai. Di luar arus maksimum itu, keluaran tegangan oleh Fuel Cell akan berkurang secara tiba-tiba saat lebih banyak arus ditarik.

Dinamisasi dari Fuel Cell direpresentasikan oleh waktu respons dimana akan ditampilkan pada panel Fuel Cell pada kotak dialog. Penggunaan puncak ($U_{fO_2}(\text{puncak})$) dan tegangan undershoot (V_u) yang sesuai digunakan untuk memodelkan efek penipisan oksigen (karena penundaan kompresor udara) pada tegangan keluaran Fuel Cell. Tegangan Nernst dimodifikasi karena efek ini sebagai berikut:

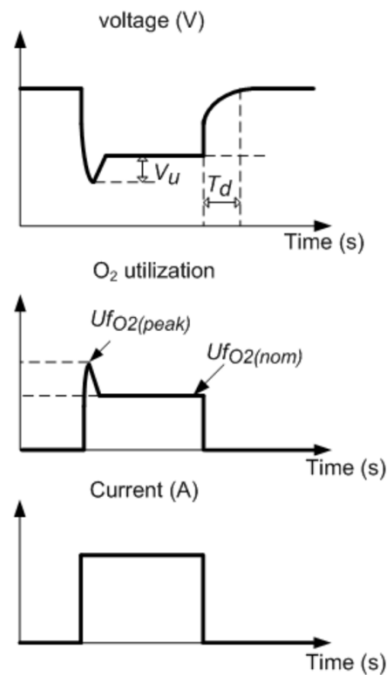
$$E_n = \begin{cases} E_n - K(U_{fO_2} - U_{fO_2(nom)}) , & U_{fO_2} > U_{fO_2(nom)} \\ E_n , & U_{fO_2} \leq U_{fO_2(nom)} \end{cases} \quad (2.11)$$

Dimana, K = Tegangan undershoot constant
 $U_{fO_2(nom)}$ = nominal oxygen utilization

K dapat dirumuskan:

$$K = \frac{V_n}{K_c(U_{fO_2(peak)} - U_{fO_2(nom)})} \quad (2.12)$$

Langkah pada tes interupsi ini harus dilakukan pada tumpukan nyata untuk mewakili dinamikanya dengan akurat. Gambar 2.5 menunjukkan respons Fuel Cell dari pengujian ini dan parameter yang diperlukan yaitu T_d , $U_{fO_2}(\text{puncak})$ dan V_u .



Gambar 2.5 Fuel Cell respon terhadap T_d , $U_{fO_2(puncak)}$ dan V_u .

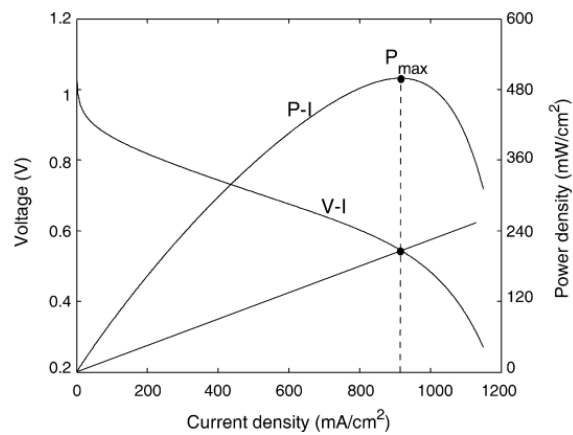
Pada Blok sistem Fuel cell ini diasumsikan bahwa:

1. Semua gas ideal
2. Fuel Cell diisi atau diberimasukan dengan hidrogen dan udara
3. Fuel Cell dilengkapi dengan sistem pendingin yang menjaga suhu katoda dan anoda sehingga keluaran stabil sama dengan suhu Fuel Cell
4. Fuel Cell dilengkapi dengan sistem pengelolaan air untuk menjaga kelembapan di dalam sel pada tingkat yang sesuai pada beban apa pun
5. Penurunan tegangan sel disebabkan oleh kinetika reaksi dan transportasi muatan karena sebagian besar sel bahan bakar tidak beroperasi di wilayah transportasi massal
6. Penurunan tekanan yang melintasi saluran aliran dapat diabaikan
7. Resistansi bernilai konstan pada kondisi operasi apa pun

Adapun batasan ya ditentukan pada sistem blok Fuel Cell ini adalah:

1. Dinamika reaksi kimia yang disebabkan oleh perubahan tekanan parsial spesies kimia di dalam sel tidak dipertimbangkan
2. Daya keluaran Fuel Cell dibatasi oleh laju aliran bahan bakar dan udara yang dipasok
3. Pengaruh suhu dan kelembaban membran pada resistansi internal tidak dipertimbangkan
4. Aliran gas atau air melalui membran tidak dianggap

2.1.2 Kurva Karakteristik Fuel Cell



Gambar 2.6 Kurva karakteristik *Fuel cell*.

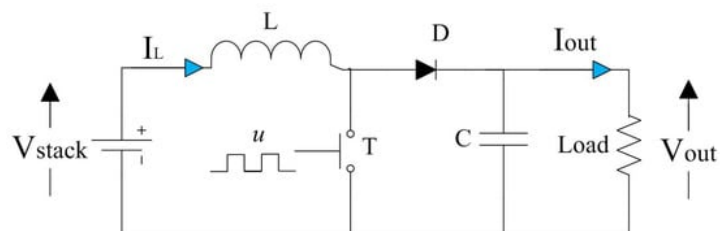
Kurva ini menunjukkan arus pada sumbu horizontal yang dan tegangan pada sumbu vertikal. Titik daya maksimum atau Maximum Power Point (MPP) berada di sekitar lengkungan kurva I-V saat hasil perkalian nilai I dan V mencapai nilai maksimum.

2.2 Konverter DC/DC

Konverter DC/DC merupakan peralatan yang digunakan untuk mengubah level tegangan DC. Dalam mengubah level tegangannya dibagi menjadi beberapa jenis yaitu *Buck*, *Boost* dan *Buck Boost* dimana *Buck* konverter berfungsi untuk menurunkan level tegangan, *Boost* berfungsi untuk menaikkan level tegangan dan *Buck Boost* berfungsi untuk menaikkan dan menurunkan level tegangan. Dalam pemilihan konverter DC-DC harus mempertimbangkan beberapa faktor diantara lain adalah aliran daya input dan output, biaya, fleksibilitas, serta respon terhadap karakteristik turbin angin. Pada konverter ini akan menggunakan *Boost Converter*.

2.2.1 Konverter Boost

Boost Konverter mampu menyediakan tegangan luaran yang lebih tinggi dibanding dengan tegangan masukannya. Dalam penggunaannya konverter menggunakan sistem pensaklaran untuk mengatur duty cycle dengan memberikan sinyal PWM (pulse width modulation).



Gambar 2.7 Rangkaian *Boost Konverter*

Berdasarkan cara kerjanya, konverter boost dibagi menjadi dua bagian, yaitu kondisi pada saat switch 'on' dan pada saat saata switch 'off' Pengaktifan switch transistor bergantung pada duty cycle pulsa PWM yang diberikan, yang dapat dinyatakan dengan persamaan:

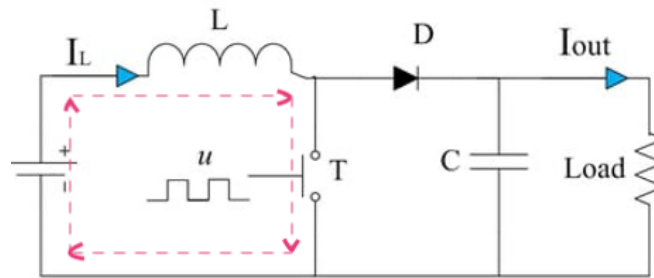
$$D = \frac{t_{on}}{T_s} \quad (2.13)$$

$$t_{off} = T_s - t_{on} \quad (2.14)$$

$$t_{off} = T_s(1 - D) \quad (2.15)$$

Dimana: t_{on} = waktu pulsa ON
 t_{off} = waktu pulsa OFF
 D = duty cycle
 T_s = periode switching

Saat kondisi saklar ON, induktor L pada rangkaian akan terhubung langsung dengan sumber V_{stack} dan induktor L akan mengalami proses charging. Gambar 2.8 merupakan ilustrasi pada saat konverter dalam kondisi switch 'ON'.



Gambar 2.8 Rangkaian Boost Konverter switch ON

Persamaannya, dapat ditulis:

$$V_s = V_L \quad (2.16)$$

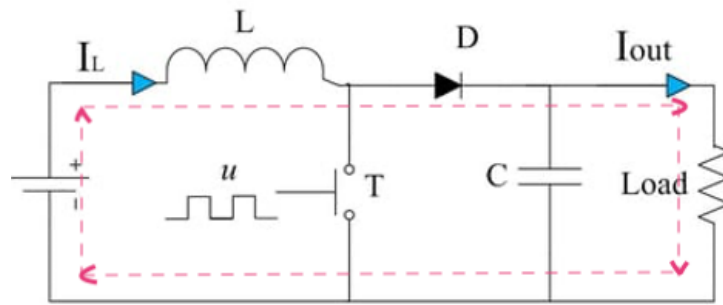
$$V_s = L \frac{di}{dt} \quad (2.17)$$

$$V_s = L \frac{di}{t_{on}} \quad (2.18)$$

$$L_{di} = V_s \cdot t_{on} \quad (2.19)$$

Dimana: V_s = Tegangan sumber
 V_L = Tegangan induktor L

Saat kondisi saklar OFF, Tegangan sumber akan terhubung seri dengan induktor L dan resistor R. pada kondisi ini induktor L akan melakukan proses discharging, sehingga induktor L bekerja sebagai sumber. Resistor R akan menjadi beban yang disuplai oleh dua sumber, yaitu sumber V_s dan induktor L. Gambar 2.7 merupakan ilustrasi pada saat konverter dalam kondisi switch 'OFF'.



Gambar 2.9 Rangkaian Boost Konverter switch OFF

Persamaannya, dapat ditulis:

$$V_o = V_s + V_s \left(\frac{t_{on}}{t_{off}} \right) \quad (2.20)$$

$$V_o = V_s \left(1 + \frac{t_{on}}{t_{off}} \right) \quad (2.21)$$

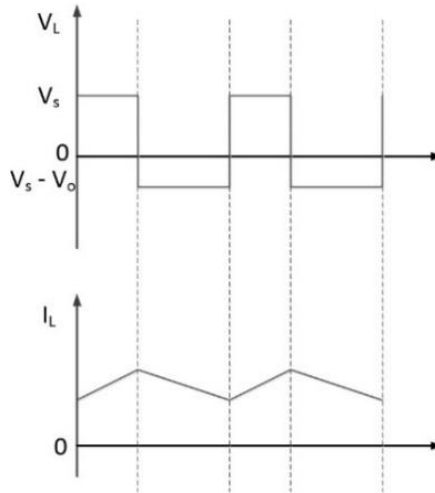
$$V_o = V_s \left(\frac{t_{on} + t_{off}}{t_{off}} \right) \quad (2.22)$$

$$V_o = V_s \left(\frac{T_s}{T_s(1 - D)} \right) \quad (2.23)$$

$$V_o = V_s \left(\frac{1}{1 - D} \right) \quad (2.24)$$

Persamaan berikut menunjukkan bahwa jika saklar OFF maka nilai D akan nol, sehingga tegangan *output* sama dengan tegangan *input*. Ketika rasio D diperbesar, maka nilai *denominator* menjadi lebih kecil sehingga menghasilkan tegangan *output* lebih besar. Oleh karena itu konverter *boost* pasti akan menghasilkan tegangan *output* lebih besar dan atau sama dengan tegangan *input*.

Boost Konverter merupakan sebuah rangkaian yang terdiri dari Induktor (L), kapasitor (C), Dioda (D), Resistor (R), dan Saklar berupa mosfet (T). Saat rangkaian keadaan *steady state* yaitu pada kondisi CCM (*Continous Conduction Mode*) terdapat dua mode yaitu ketika saklar dalam kondisi ON dimana induktor berada pada fase *charging* dan saklar saat kondisi OFF dimana induktor berada pada fase *discharging*.



Gambar 2.10 Bentuk gelombang arus dan tegangan saat kondisi CCM

Daya luarannya dapat dibuktikan dengan rumus:

$$P_o = \frac{V_o^2}{R} = V_o I_o \quad (2.25)$$

$$V_s I_s = V_s I_L \quad (2.26)$$

$$V_s I_L = \frac{V_o^2}{R} = \frac{\left(\frac{V_s}{1-D}\right)^2}{R} \quad (2.27)$$

$$V_s I_L = \frac{V_s^2}{(1-D)^2} R \quad (2.28)$$

Sehingga, I_L dapat dinyatakan sebagai berikut:

$$I_L = \frac{V_s^2}{(1-D)^2} R = \frac{V_o^2}{V_s R} \quad (2.29)$$

$$I_L = \frac{V_o I_o}{V_s} \quad (2.30)$$

Arus maksimum dan minimum induktor dapat ditentukan dengan menggunakan nilai rata-rata dan perubahan arus dari persamaan

$$I_{max} = I_L + \frac{\Delta I_L}{2} = \frac{V_s^2}{(1-D)^2} R + \frac{V_s D T}{2L} \quad (2.31)$$

$$I_{min} = I_L - \frac{\Delta I_L}{2} = \frac{V_s^2}{(1-D)^2} R - \frac{V_s D T}{2L} \quad (2.32)$$

Dari persamaan diatas bisa dicari batas antara arus induktor kontinu dan tidak kontinu. Dimana ketika arus induktor kontinu maka memiliki nilai arus positif. Sehingga dapat ditentukan melalui persamaan,

$$I_{min} = 0 = \frac{V_s^2}{(1-D)^2} R - \frac{V_s D T}{2L} \quad (2.33)$$

Atau

$$\frac{V_s^2}{(1-D)^2}R = \frac{V_sDT}{2L} = \frac{V_sD}{2Lf} \quad (2.34)$$

Sehingga

$$(Lf)_{min} = \frac{D(1-D)^2R}{2} = \frac{V_sD}{2Lf} \quad (2.35)$$

Atau

$$L_{min} = \frac{D(1-D)^2R}{2f} \quad (2.36)$$

Dalam pembuatan desain konverter *boost* pada arus kontinyu maka nilai induktor harus lebih besar dari L_{min} . Oleh karena itu dengan menyatakan nilai L sesuai dengan nilai ΔI_L yang diinginkan maka didapatkan persamaan,

$$L = \frac{V_sDT}{\Delta I_L} \quad (2.37)$$

$$L = \frac{V_sD}{\Delta I_L f} \quad (2.38)$$

Dalam prakteknya kapasitansi kapasitor yang sangat besar akan menghasilkan fluktuasi pada tegangan luaran atau biasa disebut *ripple*. *Ripple* tegangan luaran *peak-to-peak* dapat dihitung melalui bentuk gelombang arus kapasitor sesuai yang ditunjukkan pada persamaan,

$$|\Delta Q| = \frac{V_o}{R}DT = C\Delta V_o \quad (2.39)$$

Selanjutnya untuk persamaan ripple tegangan luaran adalah,

$$\Delta V_o = \frac{V_oDT}{RC} = \frac{V_oD}{RCf} \quad (2.40)$$

Atau,

$$\frac{\Delta V_o}{V_o} = \frac{D}{RCf} \quad (2.41)$$

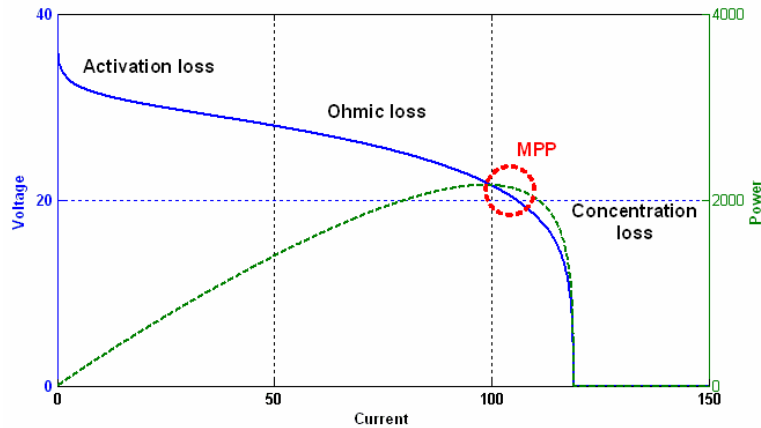
Sehingga, kita bisa mendapatkan nilai kapasitansi sesuai desain yang diinginkan dimana f merupakan frekuensi *switching*.

$$C = \frac{D}{R \left(\frac{\Delta V_o}{V_o}\right) f} \quad (2.42)$$

2.3 Maximum Power Point Tracking (MPPT)

Maximum Power Point Tracking atau yang sering disebut dengan MPPT adalah metode pelacakan nilai daya maksimum dari suatu sistem. Pada suatu titik tertentu sistem tersebut memiliki nilai daya maksimum. Titik yang menghasilkan daya maksimum disebut Maximum Power Point (MPP). Untuk mencapai titik ini, dibutuhkan metode perhitungan dan algoritma tracking daya keluaran yang maksimal yang akan menghasilkan efisiensi yang tinggi.

Karakteristik keluaran fuel cell menunjukkan perilaku nonlinier dan dipengaruhi oleh beberapa faktor, termasuk suhu operasi, dan kadar air membran. Namun, kurva daya arus keluaran PEM fuel cell ini memiliki titik daya maksimum (MPP) yang unik untuk setiap kondisi operasi tertentu. Sehingga penting untuk menemukan titik operasi optimal dari tegangan dan/atau arus fuel cell untuk memaksimalkan pemanfaatan energi dan efisiensi.



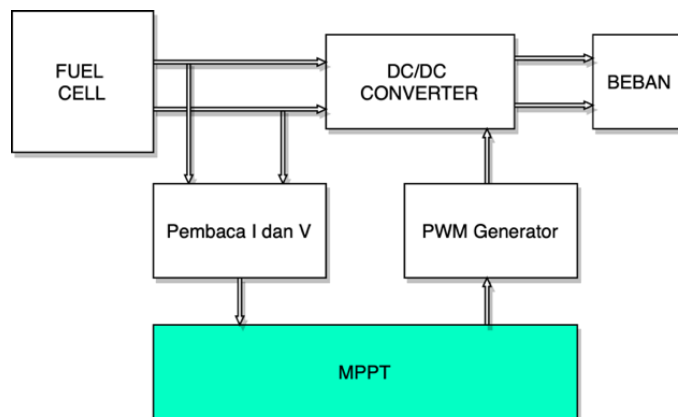
Gambar 2.11 Kurva Penentuan MPPT

Prinsip kerja dari MPPT adalah dengan menaikkan dan menurunkan tegangan kerja. Hal tersebut dapat dilakukan dengan mengatur duty cycle pada konverter. Sebaliknya, saat tegangan kerja turbin angin lebih besar dari V_{mpp} , maka tegangan kerja diturunkan hingga mendekati V_{mpp}

2.3.1 Skema Konverter Menggunakan MPPT

Daya keluaran dari Fuel Cell yang akan masuk ke MPPT akan bekerja memposisikan tegangan kerja atau V_{ref} pada titik MPP dan akan menjaga operasi sistem Fuel Cell agar tetap menghasilkan daya paling maksimal meskipun daya keluarannya dalam kondisi yang berbeda-beda.

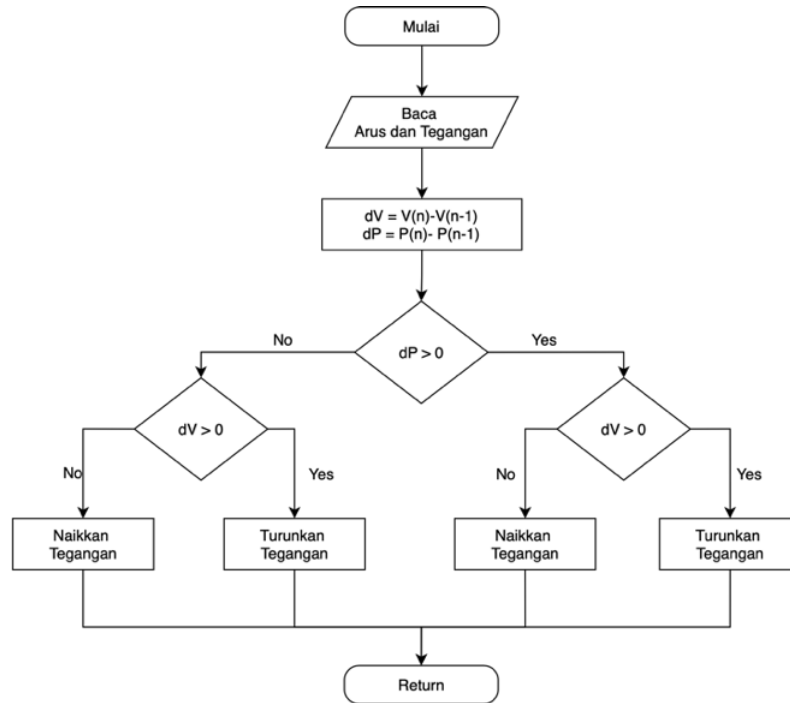
Dalam langkah operasi atau skema kerja dari MPPT, akan dilakukan pengukuran arus dan tegangan dari Fuel Cell. Arus dan tegangan hasil keluaran Fuel Cell ini akan diolah pada algoritma MPPT dan akan dihasilkan suatu duty cycle yang dapat menghasilkan daya pada titik MPP dan kemudian Duty Cycle akan mengatur penyaklaran pada multi-input konverter.



Gambar 2.12 Block Diagram Konverter dengan MPPT

2.3.2 Algoritma Perturb and Observe (P&O)

Algoritma Perturb and Observe (P&O) merupakan metode yang sudah sering digunakan sehingga sering disebut sebagai metode konvensional. Penggunaan metode ini digunakan untuk mencari titik Maximum Power Point (MPP) pada Fuel Cell. Namun, metode P&O memiliki kekurangan yaitu pada kondisi steady state terdapat osilasi yang disebabkan karena tidak ada perubahan pada duty cycle.

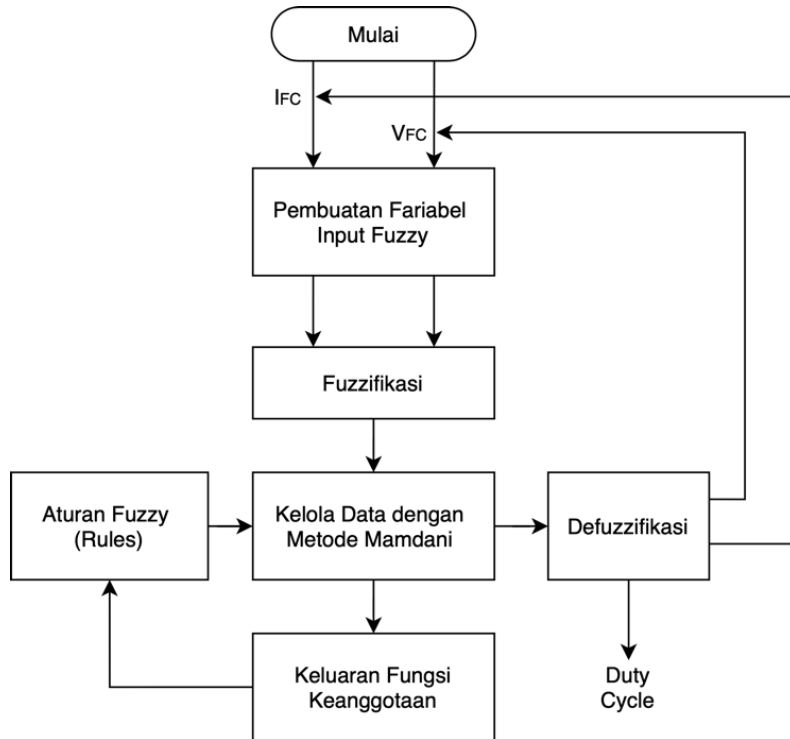


Gambar 2.13 Algoritma *Perturb and Observe* (P&O)

Algoritma Perturb and Observe (P&O), diawali dengan pembacaan data awal oleh sensor berupa tegangan $V(n)$ dan arus $I(n)$. Didapatkan besaran daya yang dihitung melalui perkalian data awal tersebut. Kemudian algoritma selanjutnya adalah perturb pada sisi tegangan output Fuel Cell dan observe nilai perubahan daya (dP). Jika nilai tegangan dinaikkan didapatkan daya yang semakin naik, maka perturb akan dilanjutkan dengan menaikkan nilai Tegangan referensinya. Sebaliknya, apabila pada saat nilai tegangan dinaikkan dan didapatkan daya yang semakin turun, maka nilai Tegangan referensinya akan diturunkan. Algoritma ini berlanjut sampai didapatkan nilai daya paling tinggi.

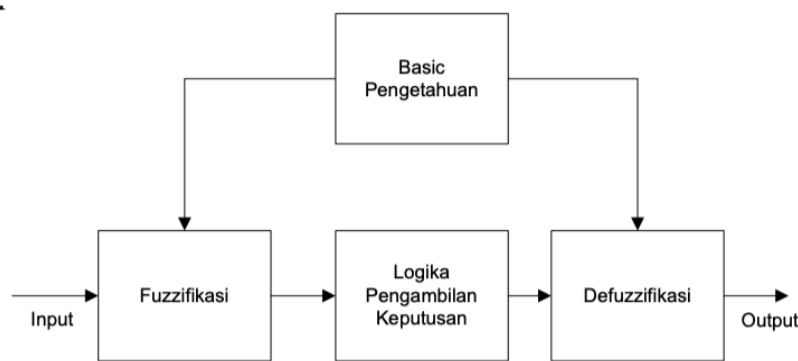
2.4 Fuzzy Logic

himpunan fuzzy dalam perancangannya. Terdapat tiga tahapan dalam FLC, yaitu fuzzifikasi, mekanisme inferensi dan defuzzifikasi. Fuzzifikasi merupakan tahap awal yang bekerja dengan cara mengubah nilai tegas (crisp) dari suatu variabel menjadi nilai fuzzy. Nilai yang telah berbentuk fuzzy ini selanjutnya digunakan sebagai masukan dari mekanisme inferensi. Pada tahap ini, akan dilakukan pengambilan keputusan dari masukan yang ada berdasarkan basis aturan logika yang dirancang. Terakhir, nilai keluaran dari mekanisme inferensi yang berbentuk fuzzy selanjutnya diubah kembali kedalam bentuk tegas melalui proses defuzzifikasi.



Gambar 2.14 Arsitektur dasar Fuzzy Logic Controller

Skema Fuzzy Logic control terdiri dari 4 bagian yaitu fuzzifikasi, basic pengetahuan, logika pengambil keputusan, defuzzifikasi.



Gambar 2.15 Skema FLC

2.4.1 Fuzzifikasi

Pada tahap fuzzifikasi, variabel input crisp diubah menjadi label linguistik sesuai dengan membership functions (MFs) input yang telah ditentukan. Label linguistik yang dikonversi pada tahap pertama digunakan sebagai input fuzzy untuk menghasilkan keputusan verbal. Input fuzzy digunakan oleh mesin inferensi fuzzy berdasarkan konsep aturan jika-maka (if-then) untuk menghasilkan output fuzzy. Pada tahap ketiga, output fuzzy yang dihasilkan diubah menjadi nilai crisp. Untuk aplikasi MPPT sistem FLC, dua input digunakan untuk menghasilkan satu output untuk mengoperasikan sistem pada MPP. Variabel input dapat didefinisikan sebagai berikut:

$$E(k) = \frac{dP_{FC}}{dV_{FC}} = \frac{P_{FC}(k) - P_{FC}(k-1)}{V_{FC}(k) - V_{FC}(k-1)} \quad (2.43)$$

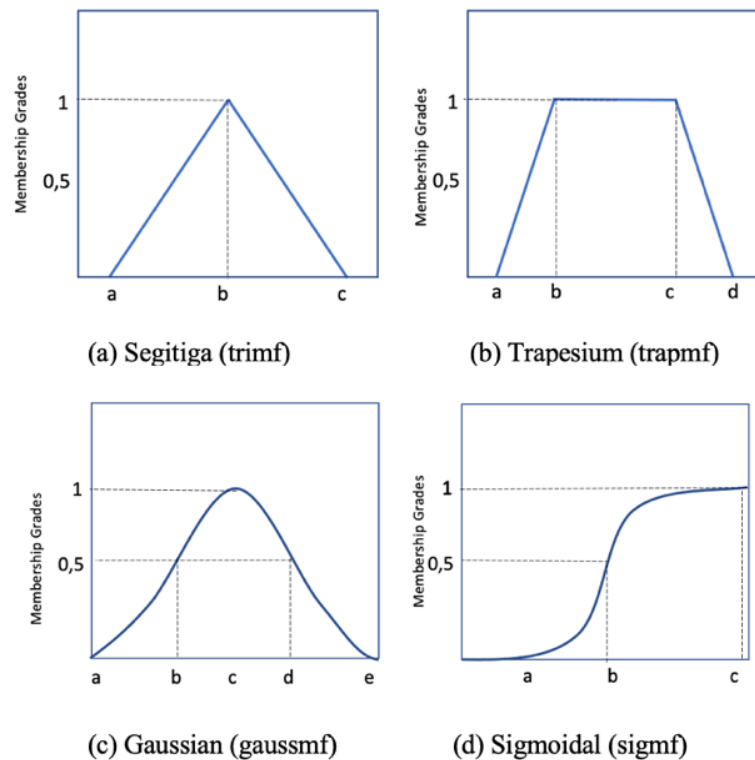
$$\Delta E(k) = E(k) - E(k-1) \quad (2.44)$$

Nilai $E(k)$ mewakili sinyal kesalahan dari perubahan kemiringan kurva PFC-VFC saat konstan. $\Delta E(k)$ menunjukkan perubahan sinyal kesalahan antara (k) th dan $(k+1)$ th detik kesekian. Nilai $P_{FC}(k)$ dan $V_{FC}(k)$ mewakili sinyal daya dan tegangan FC sampel pada saat waktu tertentu (k) , dan $P_{FC}(k-1)$ dan $V_{FC}(k-1)$ mewakili sinyal sampel mereka pada saat waktu tertentu $(k-1)$.

Sedangkan variabel keluarannya adalah siklus duty cycle $\Delta D(k)$, yang digunakan dengan duty cycle dari langkah waktu sebelumnya untuk menghasilkan duty cycle operasi saat ini. duty cycle keluaran untuk MPPT, yang diterapkan pada konverter dc/dc dapat dinyatakan sebagai berikut:

$$D(k) = \Delta D(k) + D(k-1) \quad (2.45)$$

Didalam proses *fuzzification* variabel masukan yang berupa nilai numerik (*crisp*) akan diubah menjadi variabel linguistic berdasarkan fungsi keanggotaan yang dimana sering disebut dengan membership function atau fungsi keanggotaan yang menunjukkan pemetaan titik-titik input/ output data ke dalam nilai keanggotaannya. Salah satu cara yang dapat digunakan untuk mendapatkan nilai keanggotaan dengan melalui pendekatan fungsi. Fungsi keanggotaan memiliki peranan yang sangat penting untuk merepresentasikan masalah dan menghasilkan keputusan yang tepat dan akurat. Dalam jenisnya, terdapat beberapa jenis fungsi keanggotaan, diantaranya seperti gambar:



Gambar 2.16 Tipe Fungsi keanggotaan

2.4.2 Logika Pengambil Keputusan

Logika ini merupakan menerima hasil dari proses perhitungan pada proses fuzzifikasi. Fungsi keanggotaan (membership function) yang akan kita gunakan dalam proses MPPT terdiri dari lima anggota yaitu PB (*positive big*), PS (*positive small*), Z (*zero*), NS (*negative small*), dan NB (*negative big*). Setelah dikonversi menjadi variabel linguistik, fungsi keanggotaan dari output akan ditentukan berdasarkan aturan fuzzy (*rule based fuzzy*). Metode yang digunakan untuk merumuskan aturan fuzzy didapatkan dari logika.

Tabel 2.1 Logika Aturan Fuzzy

E(k)/CE(k)	NB	NS	Z	PS	PB
NB	NB	NB	NB	NS	Z
NS	NB	NB	NS	Z	PS
Z	NB	NS	Z	PS	PB
PS	NS	Z	PS	PB	PB
PB	Z	PS	PB	PB	PB

Pembacaan tabel tersebut menggunakan logika **IF-THEN**, sebagai contoh apabila E(k) bernilai NB dan CE(k) bernilai NB maka output yang dihasilkan adalah NB (**IF E(k) adalah NB dan CE(k) adalah NB THEN output adalah NB**).

2.4.3 Defuzzifikasi

Defuzzifikasi merupakan hasil keluaran setelah melewati proses pengambilan keputusan yang berbentuk variabel linguistik akan dikonversi kembali menjadi nilai numerik (*crisp*). Pada umumnya defuzzification terdiri dari dua algoritma yaitu Center of Area (COA) dan Max Criterion Area (MCA). Namun hampir kebanyakan metode yang digunakan pada proses defuzzification adalah COA yang merupakan gabungan dari total keseluruhan set fuzzy. Pusat gravitasi (ΔD) dapat dicari dengan persamaan sebagai berikut,

$$\Delta D = \frac{\sum_{j=1}^n \mu(\Delta D_j) \cdot \Delta D_j}{\sum_{j=1}^n \mu(\Delta D_j)} \quad (2.46)$$

Hasil luaran logika fuzzy yangmana perubahan duty cycle $\Delta D(k)$ yang telah dihitung melalui persamaan diatas dan diskalakan dengan penambahan $S\Delta D$ sehingga menghasilkan nilai aktual dari duty cycle $D(k)$ melalui persamaan,

$$D(k) = D(k - 1) - S\Delta D \cdot \Delta D(k) \quad (2.47)$$

Sehingga output dari crisp inilah yang akan digunakan input pada mosfet pada MPPT.

2.4.4 Rules

Rule Based System atau Aturan sistem merupakan cara untuk menyimpan dan memanipulasi pengetahuan yang sudah dibentuk pada Fungsi keadnggotaan untuk diwujudkan dalam suatu yang dapat membantu dalam menyelesaikan berbagai permasalahan atau dapat juga didefinisikan sebagai suatu “Sistem Pakar” yang menggunakan aturan-aturan untuk menyajikan pengetahuannya.

Cara untuk menunjukkan bentuk pengetahuan dalam bahasa semi natural pada *Fuzzy Rule-Based System* adalah dengan memakai aturan atau rules.

--Halaman ini sengaja dikosongkan--

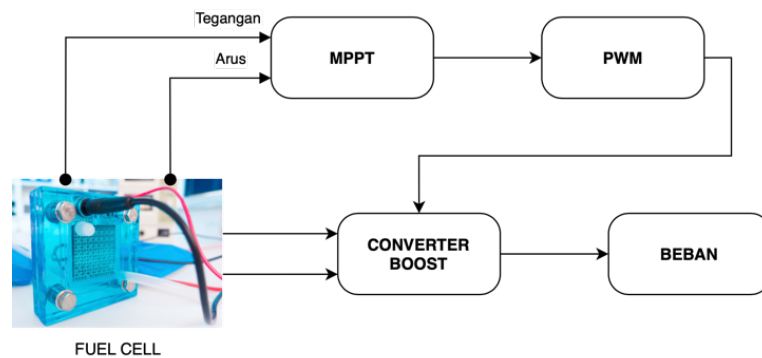
BAB 3 DESAIN DAN SIMULASI

Pada bab ini akan dilakukan pembahasan mengenai proses desain dan simulasi dari sistem MPPT pada Fuel Cell dengan metode Fuzzy Logic Controller dan juga metode pembandingnya yaitu Perturb and Observe (P&O). Pada pembahasan Fuel Cell blok akan dibahas mengenai uji karakteristik dengan sistem *close loop* dan juga pada pembahasan desain konverter akan dibahas mengenai perhitungan nilai-nilai komponen yang digunakan dalam implementasi konverter. Kemudian akan dilanjutkan proses simulasi menggunakan software Simulink pada MATLAB.

3.1 Permodelan Sistem

Keseluruhan sistem pada penelitian ini terdiri dari beberapa blok, diantaranya Fuel Cell yang terhubung dengan konverter boost dan dikontrol oleh MPPT dengan algoritma *Fuzzy Logic Controller* (FLC) dan algoritma *Perturb and Observe* (P&O). Keseluruhan sistem menggunakan aplikasi SIMULINK yang ada pada *software* MATLAB 2020b.

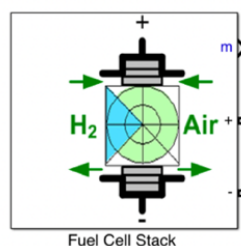
Pada penelitian ini, simulasi dari sistem *MPPT* Simulasi sistem secara keseluruhan meliputi Fuel Cell, konverter *boost*, dan sistem kontrol seperti ditunjukkan pada gambar:



Gambar 3.1 Skema permodelan sistem Fuel Cell dengan MPPT

3.2 Desain Fuel Cell

Pada penelitian ini menggunakan sumber daya listrik berupa Fuel Cell (FC). Modul Fuel Cell pada penelitian ini menggunakan diagram blok pada program *Library* Simulink pada MATLAB. Jenis Fuel Cell Stack yang digunakan pada simulasi penelitian ini adalah dengan menggunakan Fuel Cell jenis *Proton exchange membrane* Fuel Cell (PEMFC). Pada *Library* SIMULINK Fuel Cell Stack digambarkan dengan simbol seperti pada gambar 3.2.



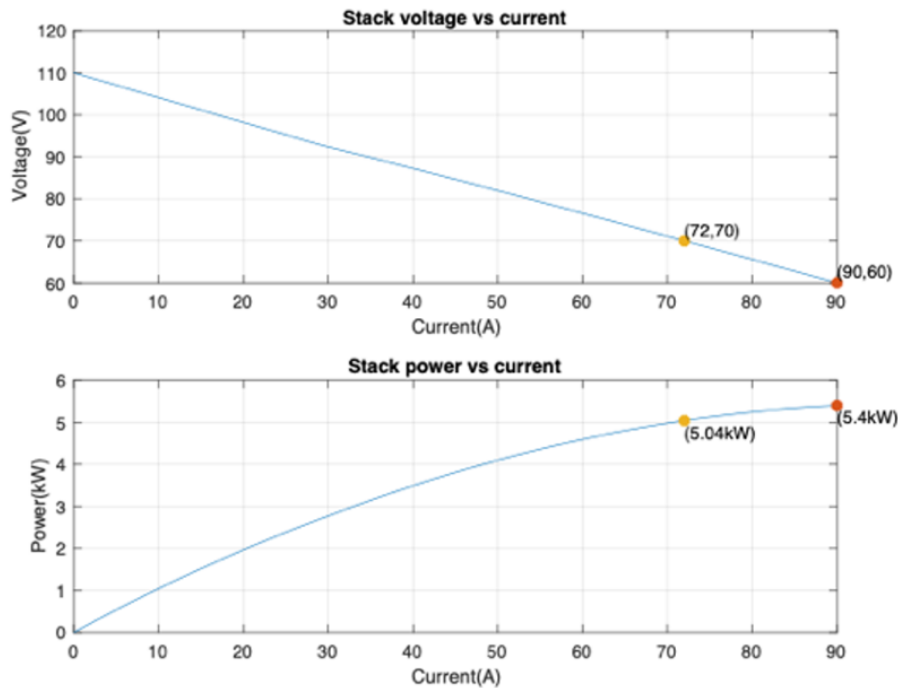
Gambar 3.2 Blok FC Stack

Parameter Blok Fuel Cell yang digunakan adalah Model Preset *user defined* dimana, Fuel Cell diatur untuk beroperasi pada nominal kapasitas 5000W. Datasheet modul Fuel Cell stack ditunjukkan pada Tabel 3.1.

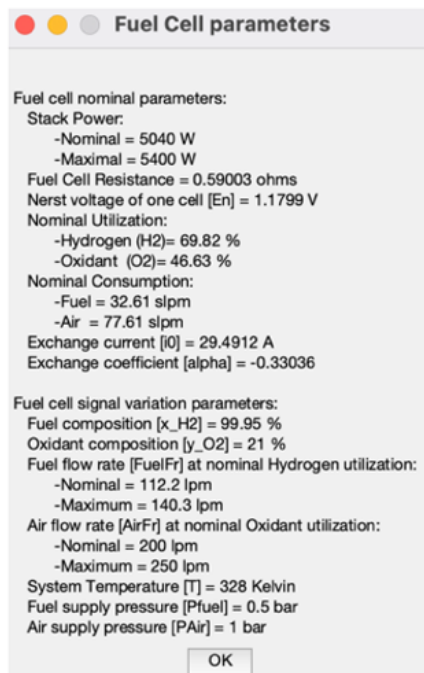
Tabel 3.1 Parameter Fuel Cell (*User-defined*)

Parameter	Nilai	
Voltage	0 A	110 V
	1 A	100 V
Nominal operating point	72 A	70 V
Maximum operating point	90 A	60 V
Number of cells	65 Cell	
Nominal stack efficiency	60%	
Operating temperature	55	
Nominal Air flow rate	200 lpm	
Nominal supply pressure	Fuel	0.5 bar
	Air	1 bar
Nominal composition (%)	H ₂	99.95
	O ₂	21
	H ₂ O(Air)	1

Seperti yang terlihat pada tabel Blok Fuel Cell ini memiliki daya nominal 5000 W, dan maksimal daya 5400W. *Setting* pada blocks simulator Fuel Cell Stack pada *Simulink* didapatkan kurva karakteristik dan juga parameter yang ditunjukkan pada gambar



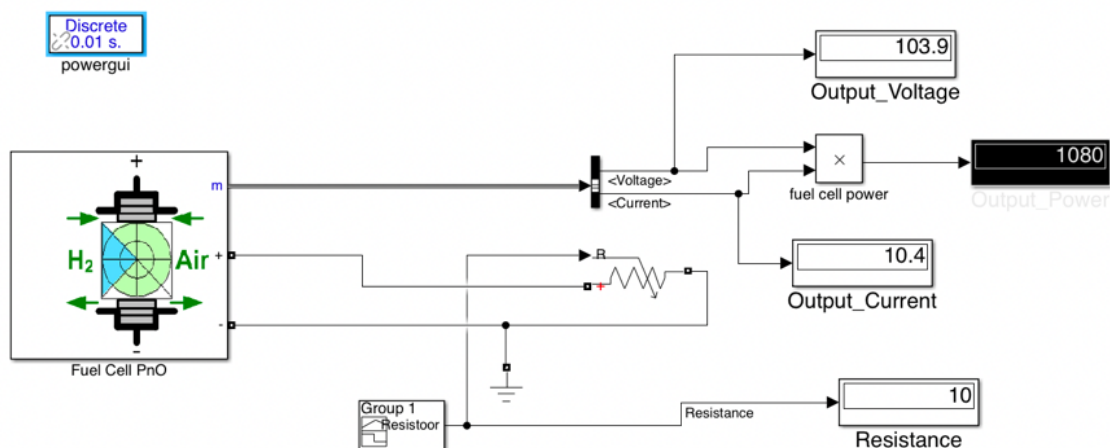
Gambar 3.3 Karakteristik dan Parameter Fuel Cell



Gambar 3.4 Fuel Cell Parameters

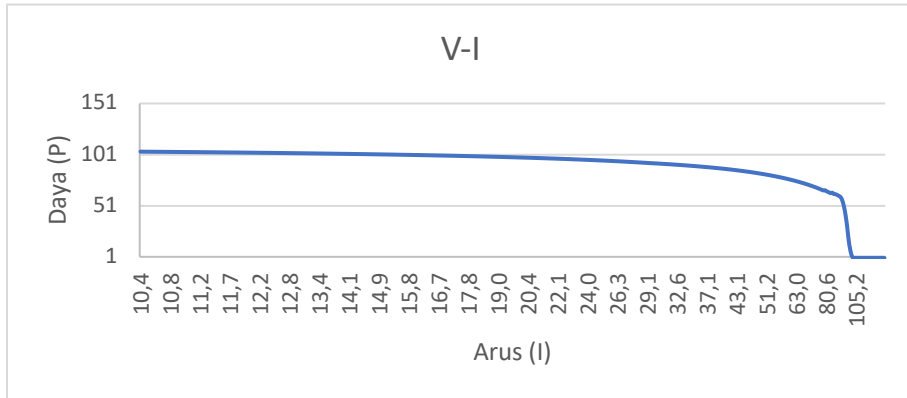
3.2.1 Parameter dan Karakteristik Fuel Cell

Dari hasil parameter yang sudah ditentukan sesuai dengan Tabel 3.1 diatas, Blok Fuel Cell diuji secara closeloop dengan variabel beban mulai 0-10 Ω seperti yang tertera pada Gambar 3.4 untuk mendapatkan kurva karakteristiknya setelah Blok Fuel Cell dinyalakan secara langsung.

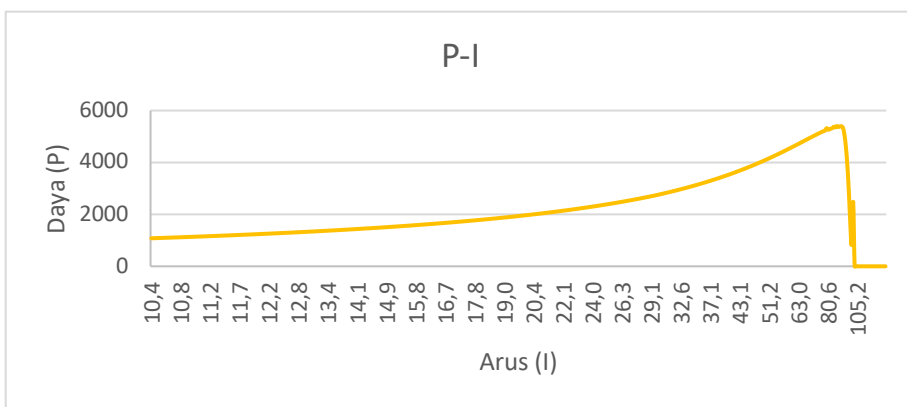


Gambar 3.5 Rangkaian uji Karakteristik Fuel Cell

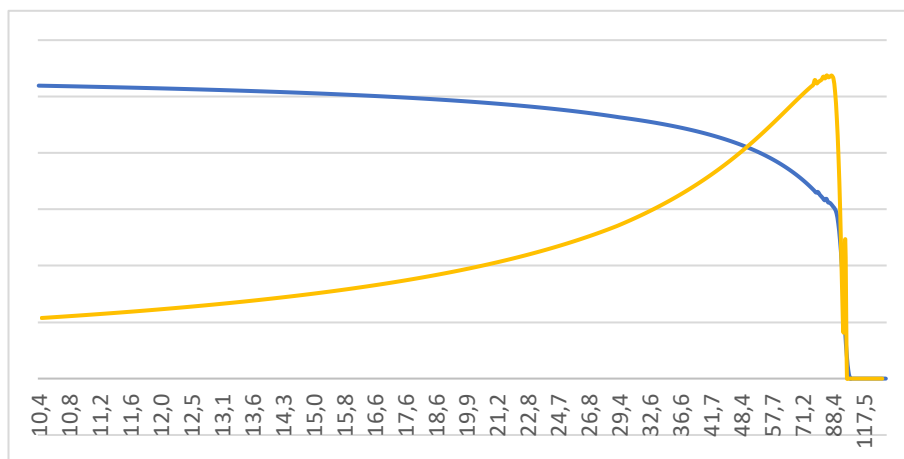
Saat simulasi dilakukan, didapatkan kurva karakteristik aslinya, dimana terdapat kurva pembanding tegangan-arus, dan juga kurva daya-arus yang ditampilkan pada gambar 3.5 dan data secara rinci terdapat pada Lampiran 1.



Gambar 3.6 Kurva V-I Fuel Cell



Gambar 3.7 Kurva P-I Fuel Cell



Gambar 3.8 Kurva Karakteristik Blok Fuel Cell

3.3 Desain Konverter Boost

Konverter boost digunakan sebagai sumber tegangan atau penyalur tegangan yang nantinya akan digunakan sebagai supkai ke beban. Desain konverter dimulai dengan penentuan perhitungan *duty cycle*, penentuan beban resistif, nilai kapasitor dan induktor dari sistem yang akan digunakan sehingga mendapatkan desain yang baik.

3.3.1 Perhitungan Duty Cycle

Penentuan nilai *duty cycle* digunakan untuk menentukan *duty cycle* keluaran dari MPPT yang didapat dari nilai tegangan input dan tegangan output sesuai dengan rumus:

$$V_o = V_s \left(\frac{1}{1 - D} \right)$$

Sesuai dengan parameter yang sudah ditentukan, V_o bernilai 90 V dan V_s bernilai 72, maka didapatkan nilai *duty cycle* sebesar:

$$D = \frac{V_s - V_o}{-V_o}$$

$$D = \frac{72 - 90}{-72}$$

$$D = \frac{18}{72}$$

$$D = 0,25$$

3.3.2 Perhitungan Nilai Resistor

Setelah mengetahui nilai *duty cycle*, kita mencari nilai resistor bayangan untuk rangkaian konverter *boost*, dimana penentuan nilainya didapatkan dari rumus:

$$R = \frac{V_o^2}{P}$$

Dengan nilai tegangan output adalah 90 Volt, dan daya maksimumnya 5400 Watt, sehingga nilai resistornya adalah:

$$R = \frac{90^2}{5400}$$

$$R = \frac{8100}{5400}$$

$$R = 1,5 \Omega$$

3.3.3 Perhitungan Nilai Capasitor

Selanjutnya, setelah menemukan nilai *duty cycle* dan nilai beban, kita dapat menentukan nilai kapasitornya dengan rumus:

$$C = \frac{D}{R \left(\frac{\Delta V_o}{V_o} \right) f}$$

Dari rumus tersebut, nilai ΔV_o diperoleh dari %5 dari nilai V_o , sehingga nilai Kapasitornya adalah:

$$C = \frac{2,5}{1,5 \left(\frac{90 \times 4,5}{90} \right) 2000}$$

$$C = \frac{2,5}{1,5 \times 0,05 \times 2000}$$

$$C \approx 0,00166667 \text{ F}$$

3.3.4 Perhitungan Nilai Induktor

Penentuan nilai induktor pada desain didapatkan dengan menggunakan persamaan (2.25) konverter berada dalam operasi CCM (*Continuous Conduction Mode*), nilai ripple yang digunakan adalah sebesar 30%.

$$\Delta I_L = I \times 30\%$$

$$\Delta I_L \approx 60 \times 0,3$$

$$\Delta I_L \approx 18 \text{ A}$$

Sehingga, nilai Induktornya dapat dihitung dengan,

$$L = \frac{V_s D}{\Delta I_L f}$$

$$L = \frac{72 \times 0,25}{18 \times 2000}$$

$$L \approx 0,000428571 \text{ H}$$

Untuk nilai MOSFET dan Dioda digunakan MOSFET dan Dioda ideal, dengan artian tidak mengubah *setting* dari *Library* SIMULINK.

Dari seluruh perhitungan untuk mendapatkan nilai duty cycle, resistor, kapasitor dan juga induktornya, dapat disimpulkan seperti pada Tabel

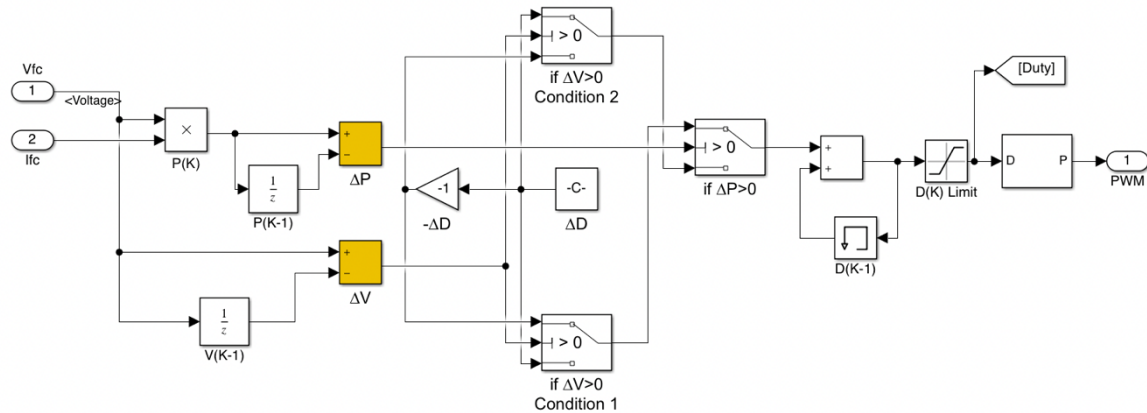
Tabel 3.2 Tabel Data Konverter Boost

Parameter	Nilai
Daya Maksimum	5400 Watt
Tegangan maksimum (Vo)	90 Volt
Arus maksimum (Io)	60 Ampere
Duty cycle	0.25
Resistor	1.5 Ω
Induktor	0.00042857 H
Kapasitor (min)	0.00166667 F

3.4 Perancangan MPPT Algoritma Perturb and Observation

MPPT digunakan untuk mendapatkan nilai tegangan dan arus yang optimal sehingga didapatkan daya luaran yang maksimum dari suatu siste, dimana sistem pada penelitian ini merupakan sistem Fuel Cell. Prinsip dari MPPT adalah menaikkan dan atau menurunkan tegangan kerja dari Fuel Cell. Dalam penerapannya MPPT dipakai dengan menggunakan

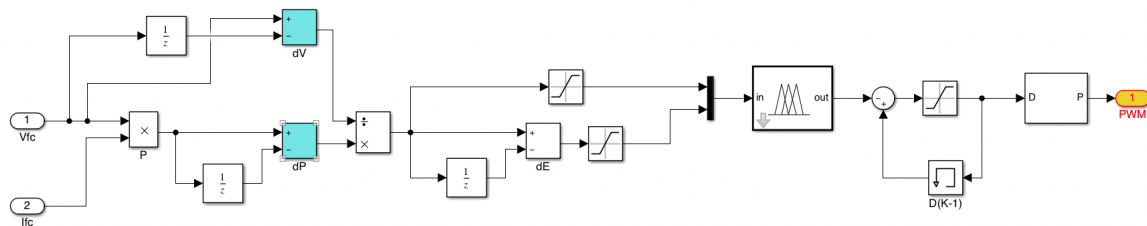
sebuah metode, dalam penelitian kali ini metode utama yang digunakan adalah Fuzzy Logic sebagai metode yang berbasis *Artificial Intellegnt* dan metode *Perturb and Observation* sebagai metode konvensionalnya. Pada Algoritma *Perturb and Observation* dengan menggunakan konsep MPPT seperti, dirangkailah sebuah sistem pada blok simulink seperti pada gambar 3.8



Gambar 3.9 Sistem Blok *Perturb and Observation*

3.5 Perancangan MPPT Algoritma Fuzzy Logic

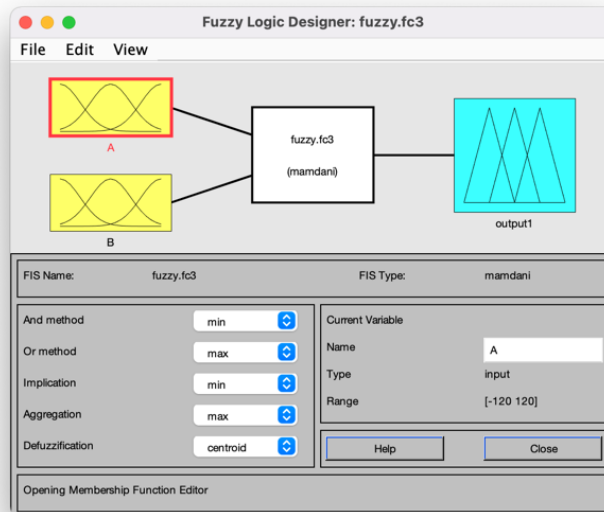
Parameter Algoritma Fuzzy Logic Controller untuk MPPT memiliki 2 input, dimana pada penelitian kali ini input yang digunakan untuk FLC adalah perbedaan tegangan (dV) dan perbedaan daya (dP).



Gambar 3.10 Sistem Blok Algoritma Fuzzy Logic

3.5.1 Input Fuzzy Logic

Pada penelitian ini Fuzzy Logic membutuhkan 2 variabel masukan yaitu Tegangan dan Arus yang dimana pada logika Fuzzy pada satu varabel dikasifikasikan menjadi 5 macam fungsi keanggotaan untuk dP , dV dan juga Keluarannya.



Gambar 3.11 Fuzzy Logic Application.

Range dari fungsi keanggotaannya untuk input dP dan dV mulai -120 hingga 120 sehingga pembagiannya sebagai berikut:

Negative Big (NB) : [-180 -120 -60]

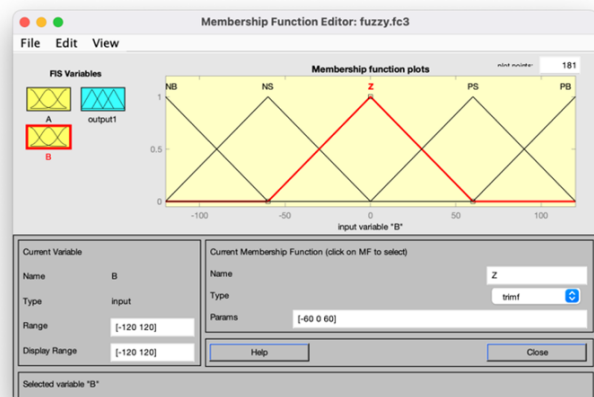
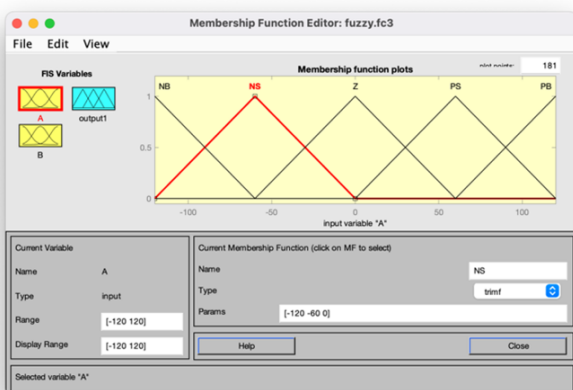
Negative Small (NS) : [-120 -60 0]

Zero (Z) : [-60 0 60]

Positive Small (PS) : [0 60 120]

Positive Big (PB) : [60 120 180]

Pada input dP dan dV seluruh fungsi keanggotaannya menggunakan model segitiga (trimf), sehingga secara keseluruhan bentuk dari fuzzy logic untuk input dP dan dV ditunjukkan pada gambar 3.11



Gambar 3.12 Membership function input

Pada bagian output, terdapat 2 jenis membership function yang digunakan antara lain segitiga (trimf) dan trapesium (trapmf). Range output ini berada antara -1 dan 1 dimana terapat 5 membership function:

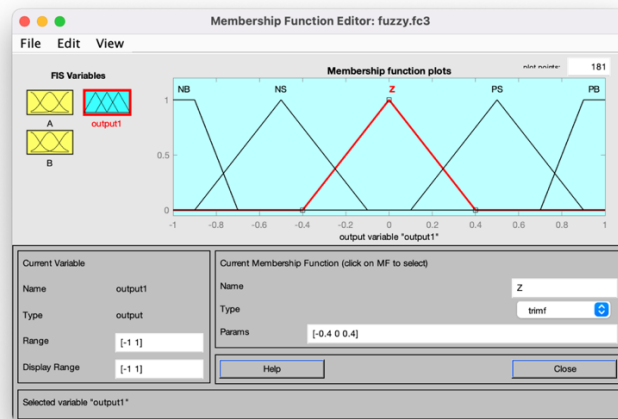
Negative Big (NB) : [-2.8 -1.2 -0.9 -0.7]

Negative Small (NS) : [-0.9 -0.5 -0.1]

Zero (Z) : [-4 0 4]

Positive Small (PS) : [0.1 0.5 0.9]

Positive Big (PB) : [0.7 0.9 1.2 2.8]



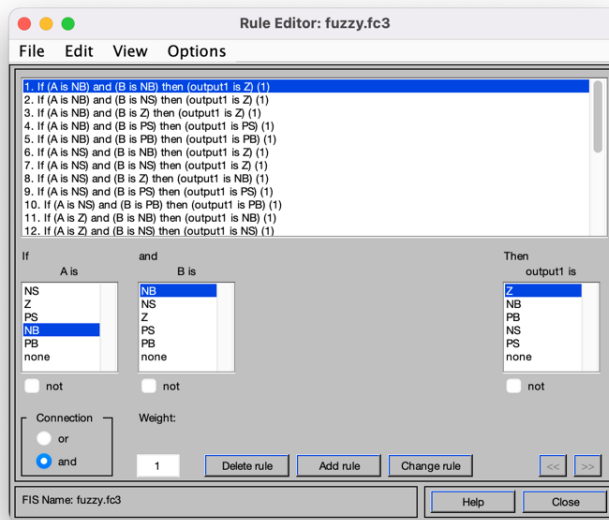
Gambar 3.13 Membership function Output

Setelah proses *Fuzzyfikasi* selesai, nilai fuzzy tersebut akan dikaitkan melalui sebuah aturan fuzzy (rule based system). Metode fuzzy yang digunakan adalah metode Mamdani karena keluaran dari proses fuzzy berupa sebuah angka bukan dalam bentuk persamaan. Rule ini berisi sebuah aturan yang menjelaskan kondisi dari input.

Tabel 3.3 Logika aturan Fuzzy Logic

dP \ dV	NB	NS	Z	PS	PB
NB	NB	NB	NB	NS	Z
NS	NB	NB	NS	Z	PS
Z	NB	NS	Z	PS	PB
PS	NS	Z	PS	PB	PB
PB	Z	PS	PB	PB	PB

Logika yang telah ditentukan pada Tabel 3.3 dimasukkan kedalam aplikasi Fuzzy Logic pada MATLAB seperti pada Gambar 3.13.



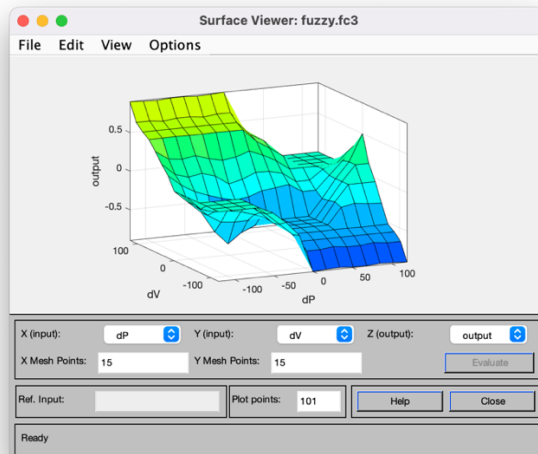
Gambar 3.14 Memasukkan rules Fuzzy

Hasil yang didapat dari aturan fuzzy ini adalah nilai perubahan rasio *duty cycle* dimana sebagai masukan kedalam DC/DC konverter. Proses dengan menggunakan logika fuzzy dapat disimulasikan dengan sebagai contoh simulink seperti Gambar 3.14 dimana apabila nilai masukan dP 3.29 dan dV 12.5 maka nilai output fuzzy akan bernilai -0.214



Gambar 3.15 Simulasi Fuzzy Logic

Dari rules tersebut kita juga mendapatkan surface sesuai dengan masukan rules yang telah dibuat, dalam penelitian ini surfacenya ditunjukkan pada Gambar 3.15

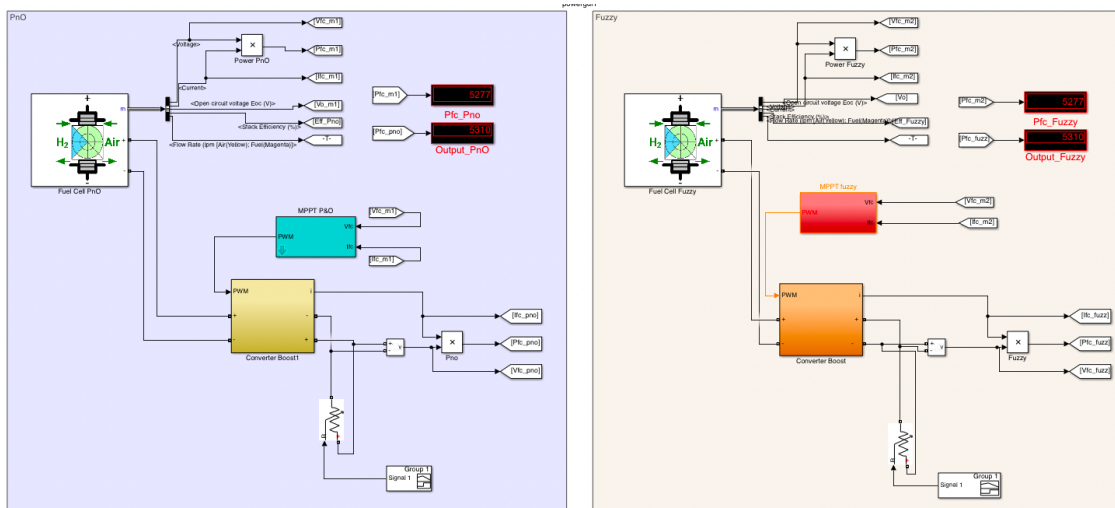


Gambar 3.16 Surface Fuzzy Logic

3.6 Simulasi Sistem

Dari desain rangkaian yang sudah dibahas pada sub bab sebelumnya, simulasi dilakukan software Simulink (Matlab 2020b) untuk menguji rangkaian dan algoritma apakah sudah sesuai yang diinginkan. Terdapat tiga komponen utama yang digunakan dalam pembuatan MPPT yaitu konverter, Fuel Cell, dan algoritma MPPT.

Fuel Cell yang digunakan menggunakan block Fuel Cell yang sudah disediakan oleh matlab dengan *signal variation* sesuai dengan parameter. Parameter pada blok Fuel Cell dapat kita atur sesuai dengan Tabel 3.1 Parameter Fuel Cell Dengan rule dan parameter yang telah dihitung. Input dari Fuel Cell diasumsikan konstan, sesuai dengan parameter sesuai dengan gambar 3.3. Untuk perbandingan akan disimulasikan dua buah algoritma yaitu *Perturb and Observe (P&O)* dengan *Fuzzy Logic Controller (FLC)*. Rangkaian simulasi dari sistem dapat dilihat pada Gambar 3.16

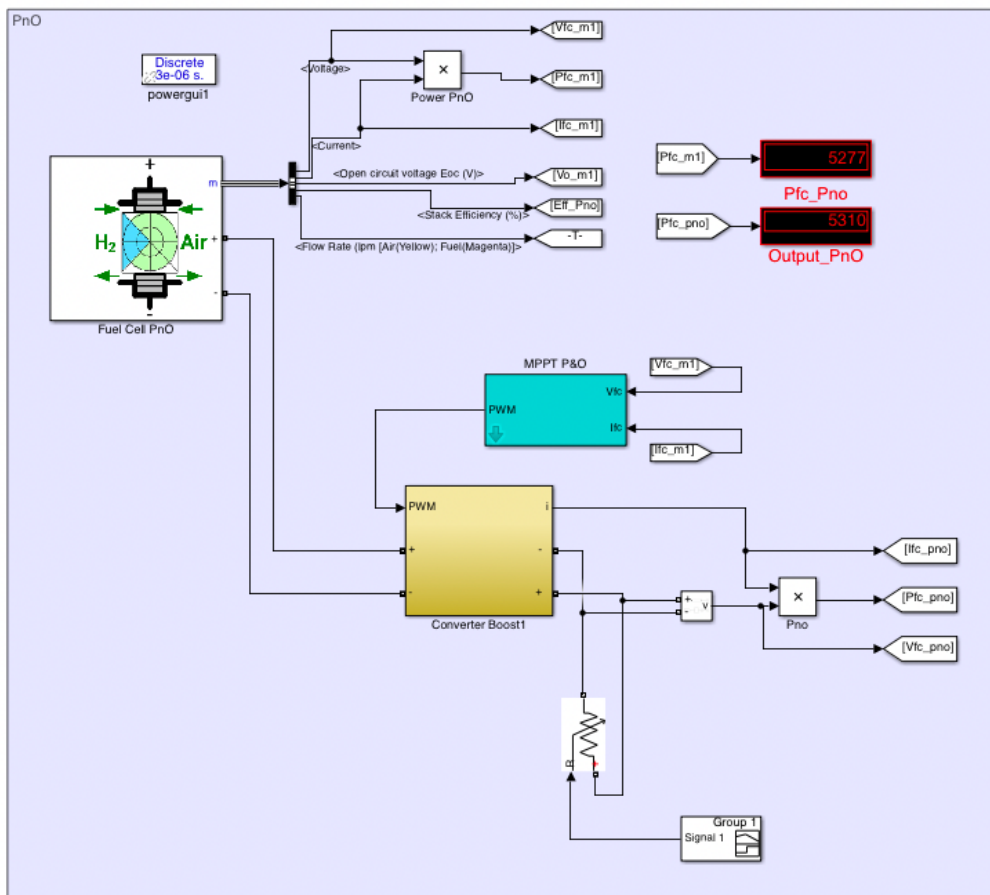


Gambar 3.17 Simulasi sistem

Rangkaian kontrol dari MPPT *Fuzzy Logic Controller* dapat dilihat pada gambar 3.9 dan MPPT untuk *Perturb and Observation* dapat dilihat pada gambar 3.8.

3.6.1 Simulasi dengan Algoritma *Perturb and Observation*

Pada penelitian dengan metode *perturb and observe* (P&O) akan digunakan sebagai pembanding dengan metode alternatif yang diteliti, yaitu metode *Fuzzy Logic Controller* (FLC). Metode *perturb and observe* (P&O) dipilih sebagai pembanding, karena secara implementasi MPPT yang sering digunakan adalah metode *perturb and observe* (P&O). Dengan demikian untuk menguji efektifitas metode alternatif terbaru orientasi arus riak, dibutuhkan validasi dengan membandingkan metode yang umum digunakan, yaitu P&O.



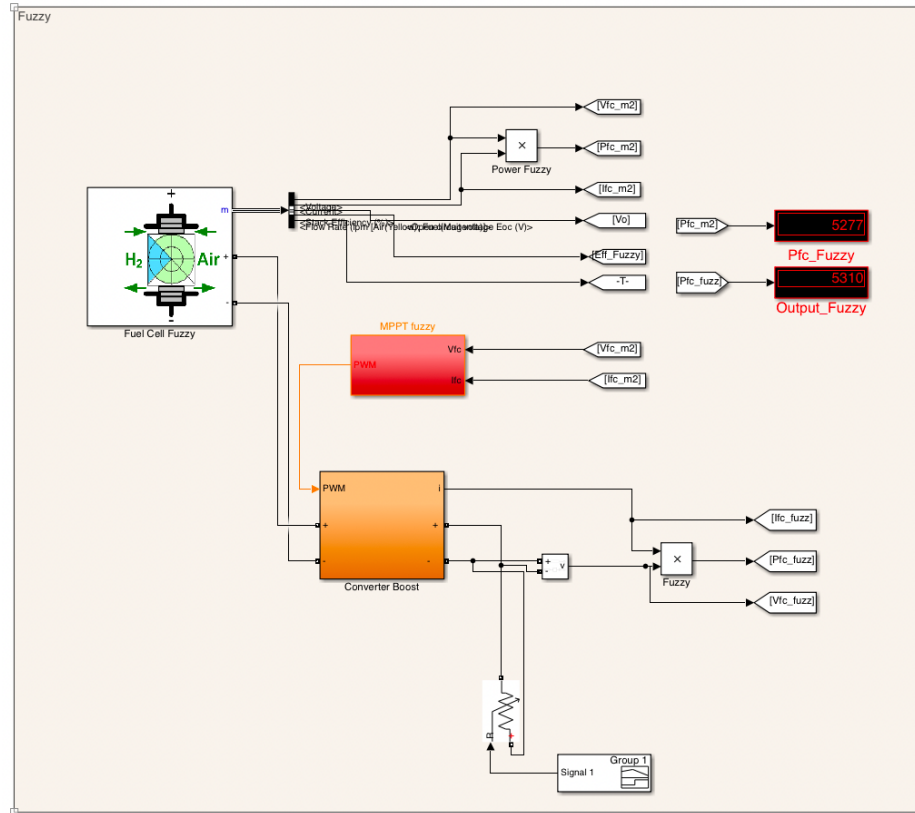
Gambar 3.18 Simulasi sistem dengan algoritma *perturb and observe*

Pada perancangan metode P&O, didapatkan input dari tegangan dan arus keluaran Fuel Cell, dan selanjutnya akan dikalikan yang hasilnya akan menjadi nilai daya. Di dalam algoritma P&O akan dibandingkan daya saat ini dengan daya satu step sebelumnya, sesuai dengan prinsip kerja metode P&O sehingga bisa didapatkan titik daya maksimumnya.

Keluaran dari algoritma P&O yang telah dirancang tersebut, yaitu duty cycle yang akan menjadi masukan PWM dan akan menjadi sinyal masukan ke boost converter. Dalam desain algoritma tersebut dapat diatur besaran perubahan duty cycle juga yang berdampak pada osilasi pada output sistem.

3.6.2 Simulasi dengan Algoritma *Fuzzy Logic Controller*.

Pada penelitian ini metode utama yang diteliti adalah dengan metode *Fuzzy Logic Controller* yang dimana metode ini merupakan metode berbasis *Artificial Intellegent (AI)*. Metode berbasis AI ini akan dibandingkan dengan metode konvensional *perturb and observe (P&O)*.



Gambar 3.19 Simulasi sistem engan algoritma *Fuzzy Logic Controller*

Secara langkah awal metode konvensional dan metode AI ini memiliki basis logika yang sama dimana dibutuhkan nilai perbedaan tegangan (dV) dan daya (dP) untuk menjadi pertimbangan dalam kontroller dengan Fuzzy.

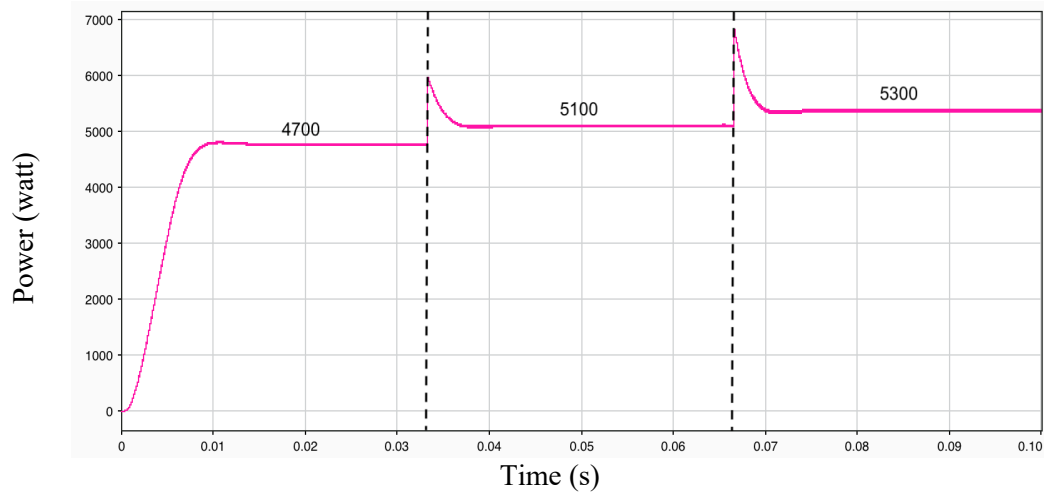
--Halaman ini sengaja dikosongkan--

BAB 4 HASIL DAN PEMBAHASAN

Bab ini membahas mengenai simulasi dan analisa dari perancangan sistem MPPT dengan Metode Fuzzy Logic pada Fuel Cell. Simulasi dilakukan menggunakan MATLAB 2020b.

4.1 Simulasi MPPT pada Fuel Cell ketika beban meningkat

Pada simulasi dengan pembebanan bertingkat yang semula mula 4700Watt selama 0.0033s lalu naik menjadi 5100Watt selama 0.0033s dan naik lagi menjadi 5300Watt selama 0.0033s. Berikut merupakan data peningkatan beban pada kondisi ini:

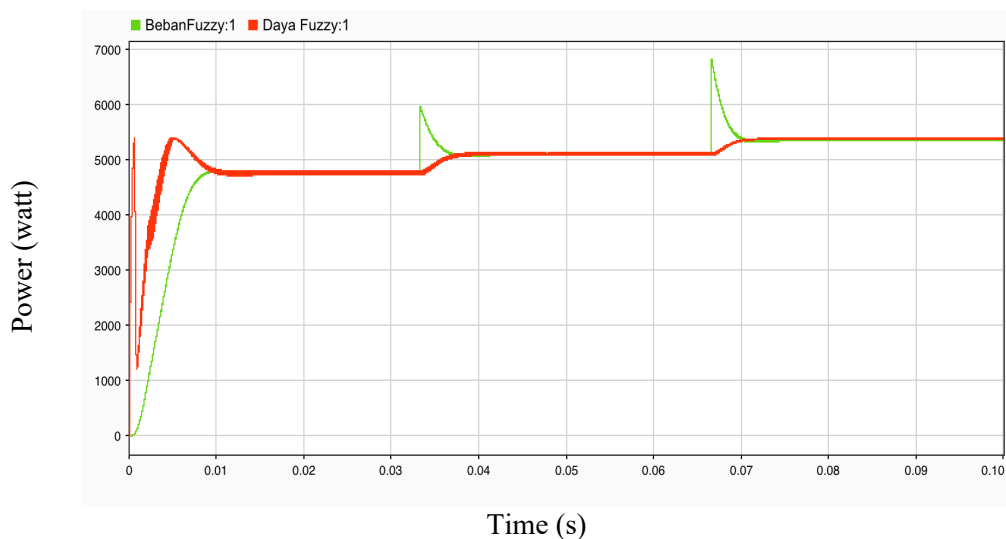


Gambar 4.1 Data Variasi beban meningkat

Terlihat pada data di atas bahwa beban konstan pada 4700Watt lalu mulai naik perlahan pada detik 0,003 ke beban 5100Watt dan setelah 0.003 detik beban naik lagi ke 5300Watt

4.1.1 Hasil Simulasi MPPT Metode Fuzzy Logic beban meningkat

Pada simulasi dengan sistem beban meningkat ini dan digunakan dengan metode ini hasil scope daya didapatkan seperti pada gambar 4.2

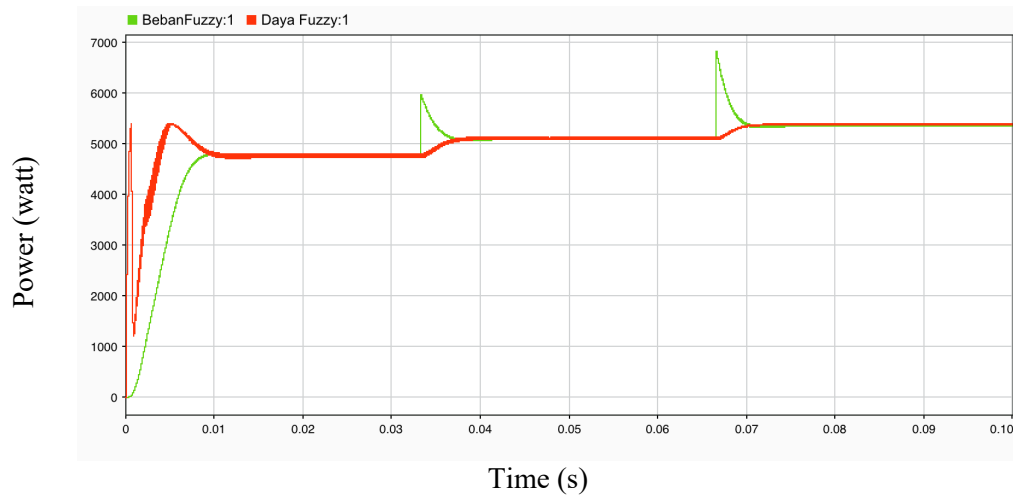


Gambar 4.2 Scope Daya output saat beban meningkat MPPT Metode Fuzzy Logic

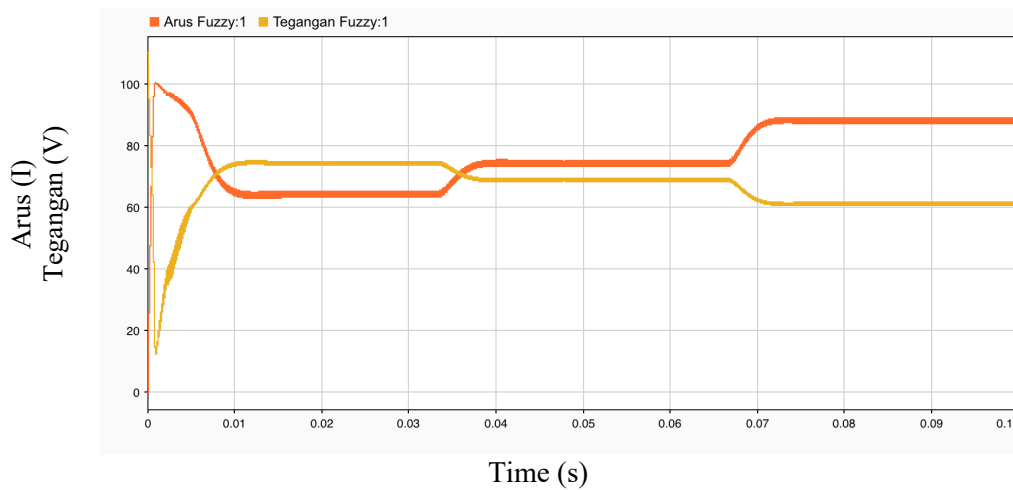
Tabel 4.1 Tabel Daya Metode Fuzzy Logic beban meningkat

Metode Fuzzy Logic beban meningkat	Beban (W)	Output Fuel Cell dengan Fuzzy (W)
	4700	4805,368864
	5100	5079,327697
	5300	5366,663039

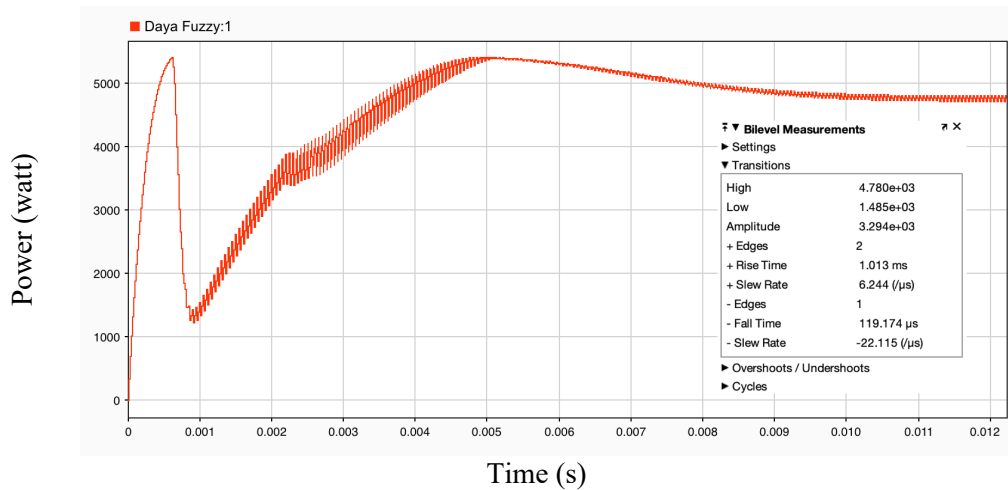
Jika dihitung selama berjalannya simulasi selama 0,1 detik, dengan pembebanan rata-rata 4639,76887Watt menghasilkan daya maksimum di daya 4805,3688Watt dan pada detik 0,003 saat terbebani 5114,44Watt Fuel Cell mampu mempertahankan daya keluaranya pada output 5079,32Watt sedangkan pada saat terbebani paling besar di simulasi ini pada 5391,653037Watt Fuel Cell dengan Metodologi Fuzzy Logic mampu menghasilkan output pada 5366,66Watt.



Gambar 4.3 Daya Output – Beban beban naik dengan metode Fuzzy Logic



Gambar 4.4 Sinyal tegangan dan arus beban naik pada MPPT Metode Fuzzy Logic

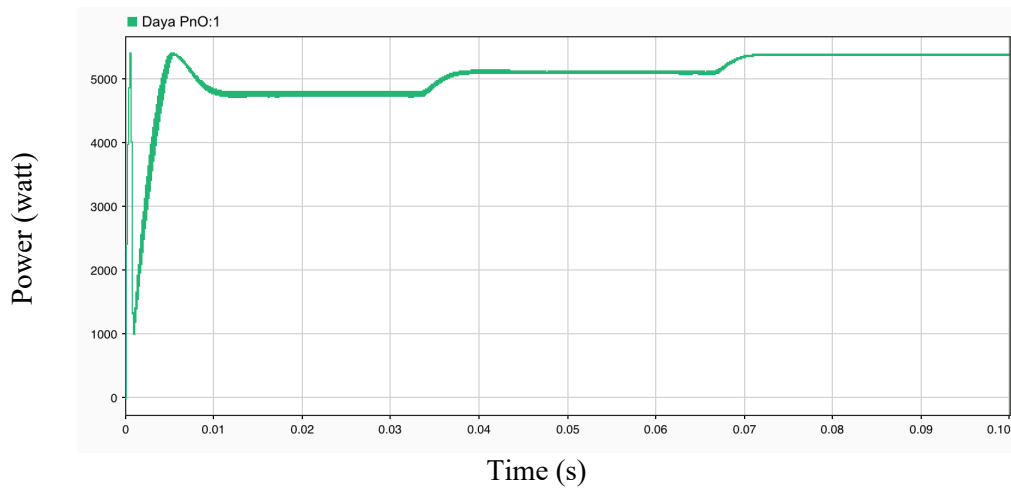


Gambar 4.5 Risetime output daya beban meningkat pada MPPT Metode Fuzzy Logic

Pada Gambar 4.5 Terlihat bahwa dalam kinerjanya sistem Fuel Cell mampu mencapai nilai risetime di 1.013ms

4.1.2 Hasil Simulasi MPPT Metode P&O beban meningkat

Pada simulasi dengan sistem beban meningkat ini dan digunakan dengan metode ini hasil scope daya didapatkan seperti pada gambar 4.5:



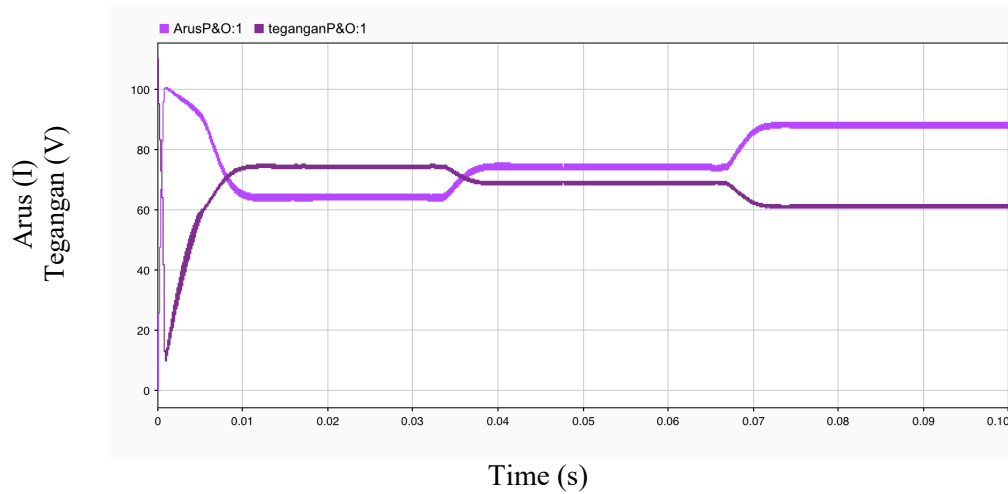
Gambar 4.6 Scope Daya output saat simulasi beban meningkat pada MPPT Metode P&O

Tabel 4.2 Tabel Daya Metode P&O beban meningkat

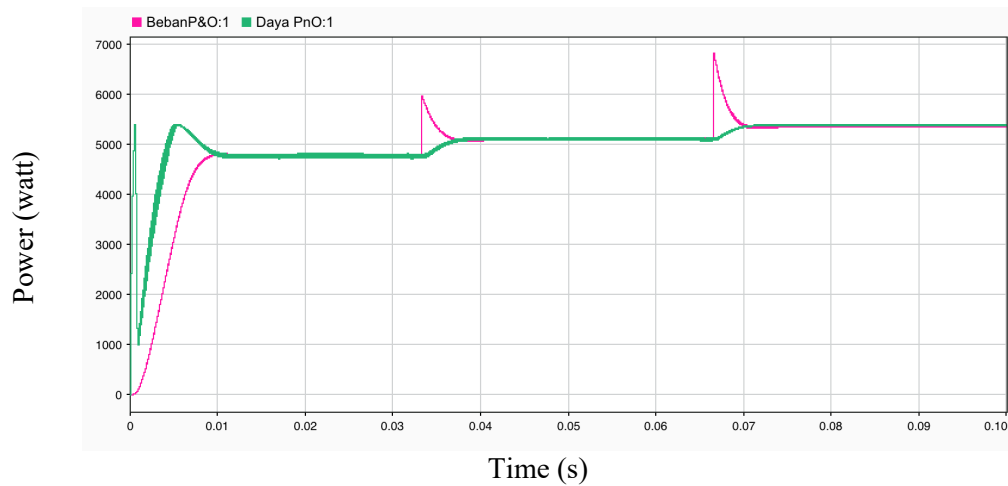
	Beban (W)	Output Fuel Cell dengan P&O (W)
Metode P&O beban meningkat	4700	4754,589933
	5100	5056,755563
	5300	5353,802327

Jika dihitung selama berjalannya simulasi selama 0,1 detik, dengan pembebanan 133Watt menghasilkan daya maksimum di daya 4754,5899Watt dan pada detik 0,003 saat

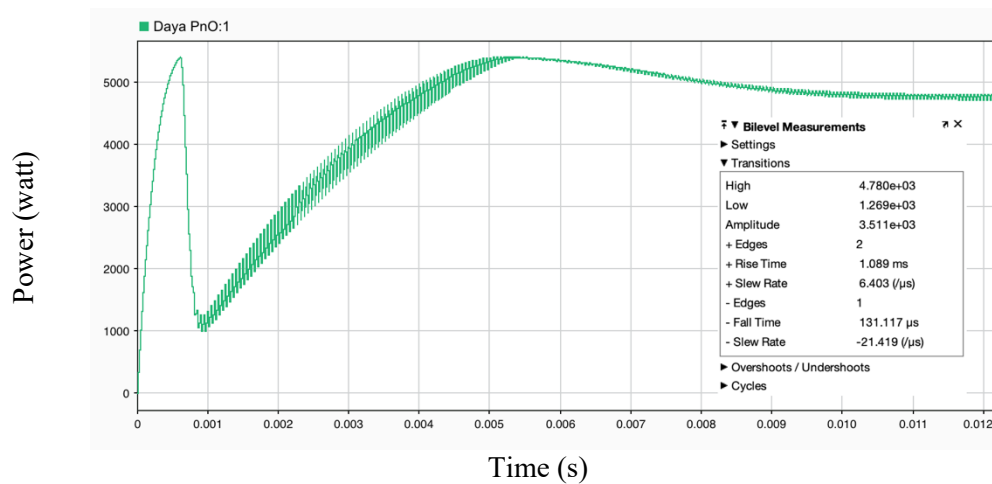
terbebani 192Watt Fuel Cell mampu mempertahankan daya keluaranya pada output 5056,7555Watt sedangkan pada saat terbebani paling besar di simulasi ini pada 5300W Fuel Cell dengan P&O mampu menghasilkan output pada 5353,8023Watt.



Gambar 4.7 Sinyal tegangan dan arus simulasi beban meningkat pada MPPT Metode P&O



Gambar 4.8 Daya Output – Beban beban naik dengan metode P&O

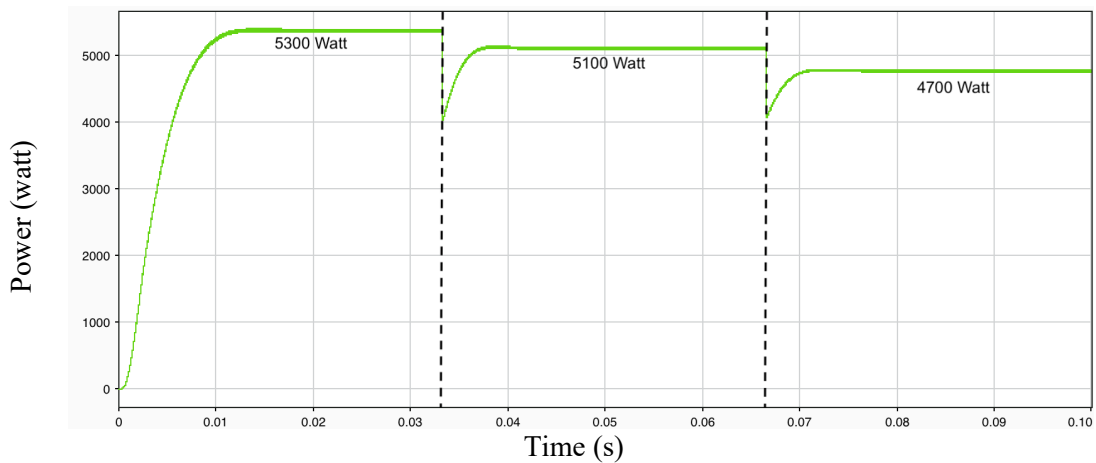


Gambar 4.9 Risetime output daya beban meningkat pada MPPT dengan Metode P&O

Pada Gambar 4.9 Terlihat bahwa dalam kinerjanya sistem Fuel Cell mampu menghasilkan daya maksimum pada saat detik ke 1,089ms dan juga terdapat ripple sebelum mendapatkan output daya maksimumnya.

4.2 Hasil Simulasi MPPT pada Fuel Cell ketika beban menurun

Pada simulasi dengan pembebanan menurun yang semula mula 5300Watt selama 0.0033s lalu naik menjadi 5100Watt selama 0.0033s dan naik lagi menjadi 4700Watt selama 0.0033s. Berikut merupakan data penurunan beban pada kondisi ini

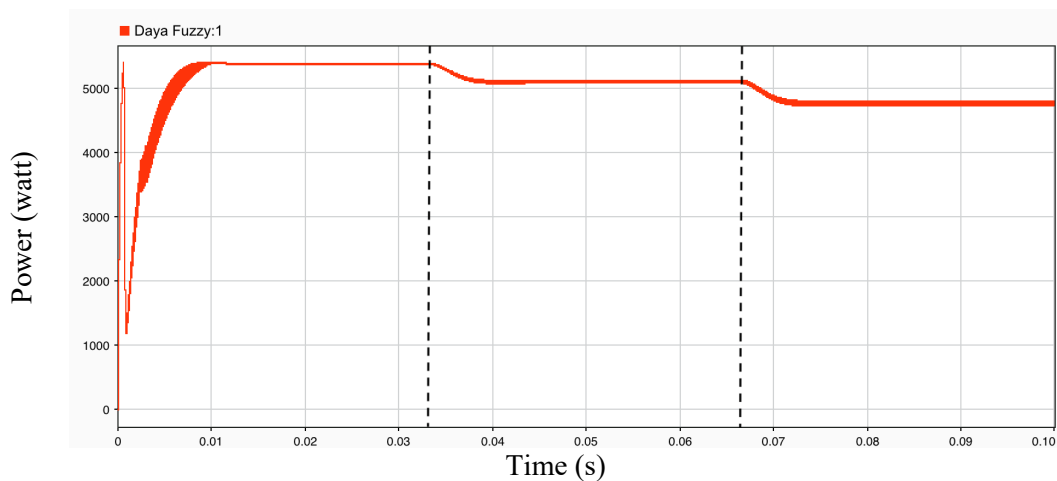


Gambar 4.10 Data Variasi beban meningkat menurun

Terlihat pada data di atas bahwa beban konstan pada 5300Watt lalu mulai turun perlahan pada detik 0,003 ke beban 5100Watt dan setelah 0.003 detik beban turun lagi ke 4700Watt

4.2.1 Hasil Simulasi MPPT Metode Fuzzy Logic beban menurun

Pada simulasi dengan sistem beban meningkat ini dan digunakan dengan metode ini hasil scope daya didapatkan seperti pada gambar 4.9:

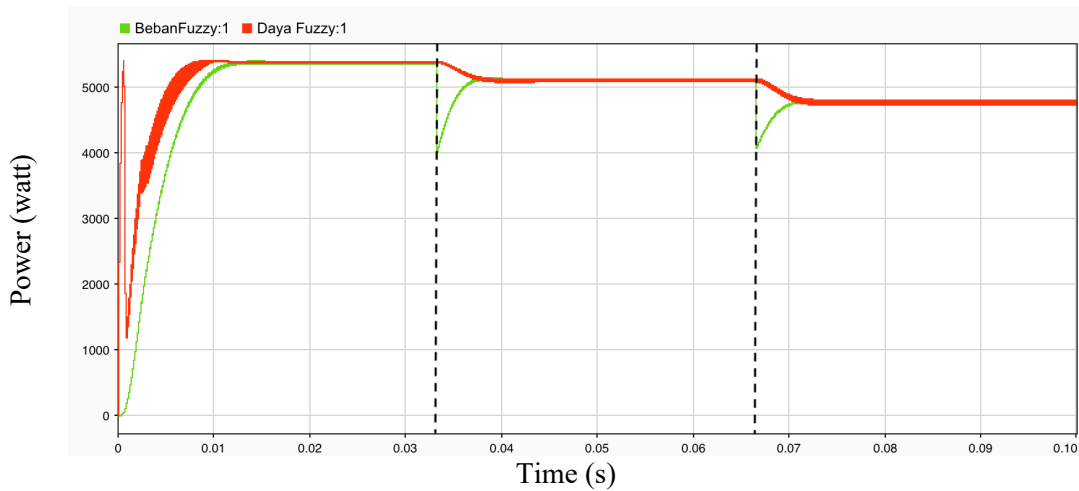


Gambar 4.11 Daya output saat simulasi beban menurun pada MPPT dengan Metode Fuzzy

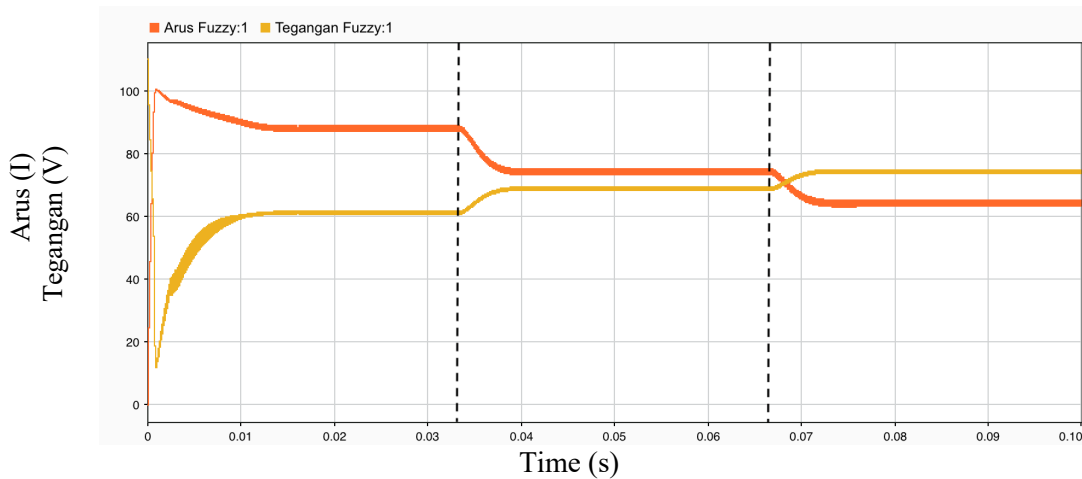
Tabel 4.3 Tabel Daya Metode Fuzzy Logic beban menurun

Metode Fuzzy Logic beban menurun	Beban (W)	Output Fuel Cell dengan Fuzzy (W)
	5300	5370,679037
	5100	5101,073819
	4700	4752,851197

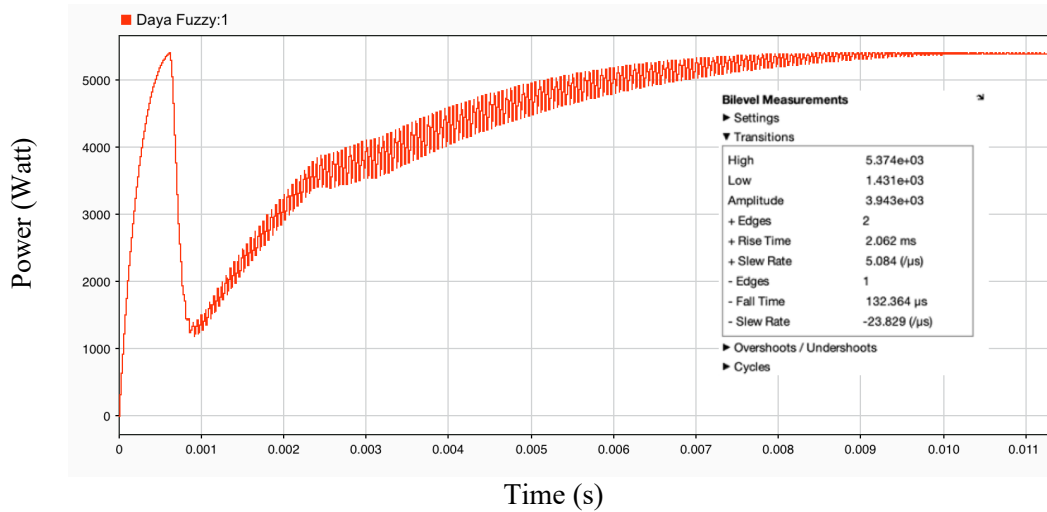
Jika dihitung selama berjalannya simulasi selama 0,1 detik, dengan pembebanan paling besar 5398,5707Watt menghasilkan daya maksimum di daya 5370,679037Watt dan pada detik 0,003 saat terbebani 5139,6927Watt Fuel Cell mampu mengeluarkan daya keluarannya pada output 5101,073819Watt sedangkan pada saat terbebani paling kecil di 4791,4529Watt Fuel Cell dengan Fuzzy Logic mampu menghasilkan output pada 4752,8511Watt.



Gambar 4.12 Daya Output – Beban beban turun dengan metode Fuzzy Logic



Gambar 4.13 Sinyal tegangan dan arus beban menurun pada MPPT Metode Fuzzy Logic

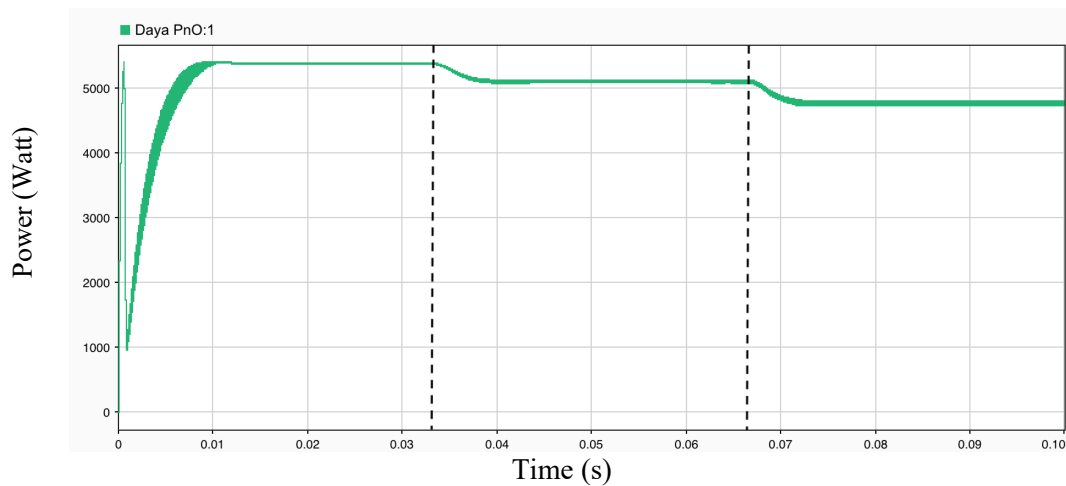


Gambar 4.14 Risetime output daya beban menurun pada MPPT Metode Fuzzy Logic

Pada Gambar 4.14 terlihat bahwa dalam kinerjanya sistem Fuel Cell memiliki risetime sebesar 2,062 ms

4.2.2 Hasil Simulasi MPPT Metode P&O beban menurun

Pada simulasi dengan sistem beban meningkat ini dan digunakan dengan metode ini hasil scope daya didapatkan seperti pada gambar 4.12:



Gambar 4.15 Daya output saat simulasi beban menurun pada MPPT dengan Metode P&O

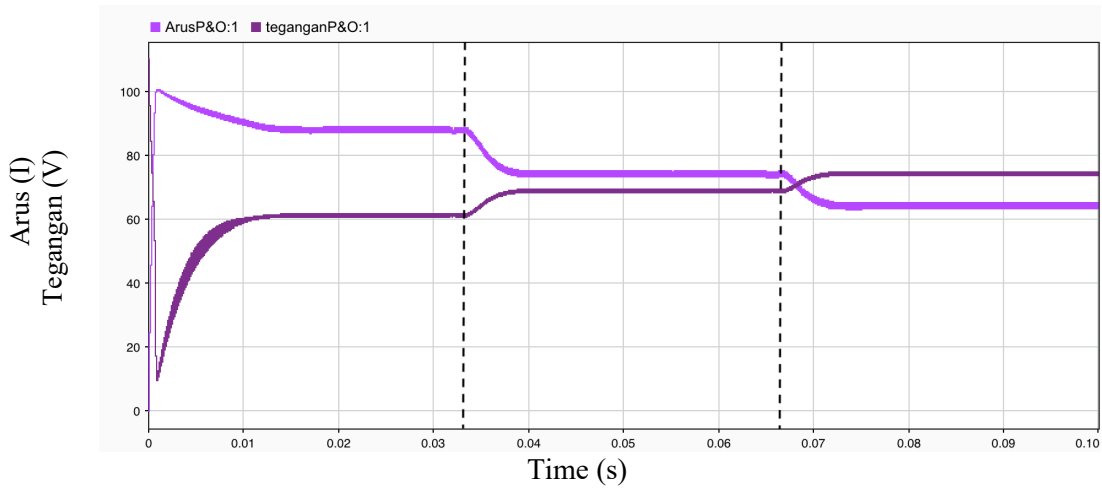
Berdasarkan hasil percobaan terlihat bahwa dengan metode P&O MPPT maka daya output yang dihasilkan oleh Fuel Cell hampir mendekati maksimum, hanya selisih beberapa watt dari daya maksimalnya dengan nilai efisiensinya dapat dilihat pada tabel 4.4

Tabel 4.4 Tabel Daya Metode P&O beban menurun

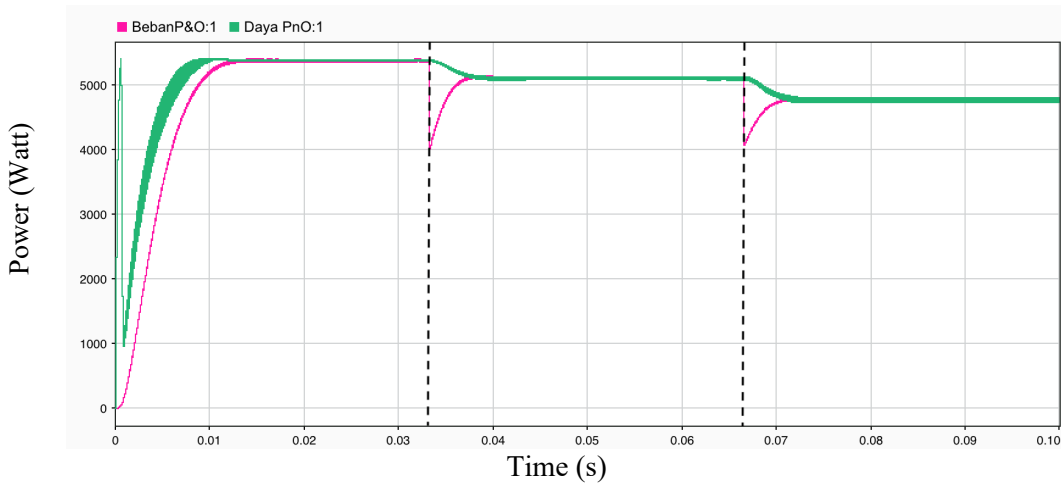
Metode P&O beban menurun	Beban (W)	Output Fuel Cell dengan P&O (W)
	5300	5368,833388
	5100	5100,292979

	4700	4752,465651
--	------	-------------

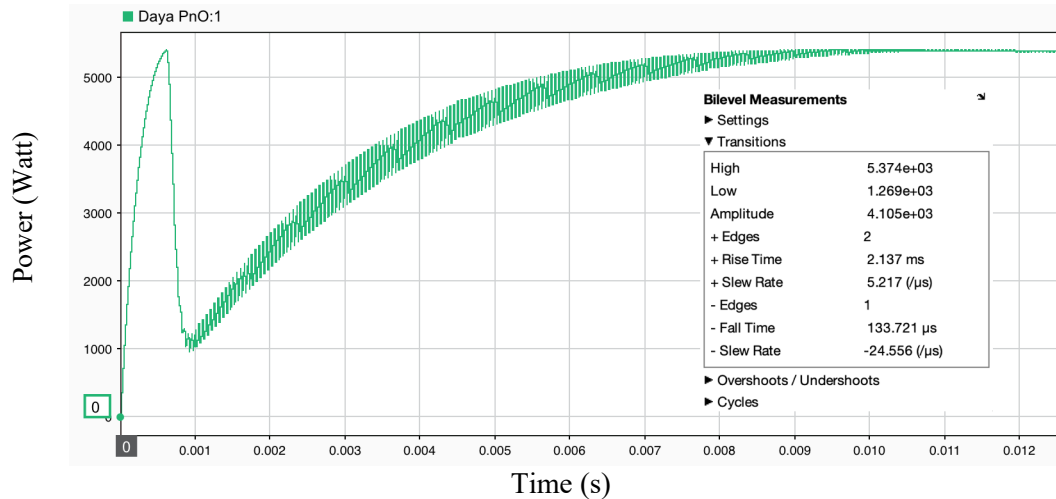
Jika dihitung selama berjalannya simulasi selama 0,1 detik, dengan pembebanan paling besar 5300Watt menghasilkan daya maksimum di daya 5368,833Watt dan pada detik 0,003 saat terbebani 5100Watt Fuel Cell mampu mengeluarkan output 5100,2929Watt sedangkan pada saat terbebani paling kecil pada 4700Watt di simulasi ini Fuel Cell dengan P&O mampu menghasilkan output pada 4752,46Watt



Gambar 4.16 Sinyal tegangan dan arus beban menurun pada MPPT Metode P&O



Gambar 4.17 Daya Output – Beban beban turun dengan metode P&O



Gambar 4.18 Risetime output daya beban menurun pada MPPT Metode P&O

Pada Gambar 4.19 Terlihat bahwa dalam kinerjanya sistem Fuel Cell mampu menghasilkan daya maksimum pada saat detik ke 2,137ms dan juga terdapat ripple sebelum mendapatkan output daya maksimumnya.

4.3 Perbandingan Hasil Simulasi dan Pembahasan

Pada subbab ini akan dilakukan perbandingan dari hasil-hasil simulasi yang telah dilakukan.

Tabel 4.5 Perbandingan Hasil Simulasi MPPT Fuzzy Logic dengan P&O beban naik

Beban (W)	Daya dengan metode P&O (W)	Daya dengan metode Fuzzy (W)
4700	4754,589933	4805,368864
5100	5056,755563	5079,327697
5300	5353,802327	5366,663039
Rata-rata	5055,049274	5083,786533

Tabel 4.6 Perbandingan Hasil Simulasi MPPT Fuzzy Logic dengan P&O beban turun

Beban (W)	Daya dengan metode P&O (W)	Daya dengan metode Fuzzy (W)
5300	5368,833388	5370,679037
5100	5100,292979	5101,073819
4700	4752,465651	4752,851197
Rata-rata	5073,864006	5074,868018

Tabel 4.7 Rata-rata hasil simulasi MPPT beban naik dan turun

Beban (W)	Daya dengan metode P&O (W)	Daya dengan metode Fuzzy (W)
Naik	5055,049274	5083,786533
Turun	5073,864006	5074,868018
Rata-rata	5064,45664	5079,327276

Tabel 4.8 Perbandingan Waktu Rise Time simulasi MPPT Fuzzy Logic dengan P&O

Beban	Risetime (ms)		Selisih	Keterangan
	Fuzzy Logic	P&O		
Naik	1,013	1,089	0,076	Lebih cepat Fuzzy
Turun	2,062	2,137	0,075	Lebih cepat Fuzzy

4.3.1 Pembahasan

Berdasarkan tabel yang disajikan pada subbab 4.3.1 pada tabel 4.5 hingga 4.8 dapat terlihat perbandingan simulasi daya dan rise time simulasi Fuel Cell dengan metode Fuzzy Logic dan metode pembandingnya yaitu *Perturb and Observation* dimana pada tabel 4.5 merupakan hasil data daya simulasi apabila Fuel Cell dibebani meningkat dengan 3 variasi beban mulai dari beban sebesar rata-rata 4700Watt kemudian naik dengan beban 5100Watt dan terakhir dengan beban 5300Watt dimana hasilnya memperlihatkan bahwa daya yang dikeluarkan Fuel Cell lebih baik dengan menggunakan metode Fuzzy Logic dari pada menggunakan metode pembandingnya dimana daya yang dikeluarkan apabila menggunakan Fuzzy Logic sebesar 4805,368864 Watt pada beban paling kecil dan menggunakan metode pembanding sebesar 4754,589933 Watt dengan selisih daya sebesar 50,778931Watt lebih besar menggunakan metode Fuzzy Logic pada beban 4700W, pada beban 5100 Watt dengan metode Fuzzy Logic Fuel Cell juga mampu menghasilkan daya lebih besar dari metode pembandingnya dengan selisih daya akeliaran sebesar 22,572134 Watt dan juga pada beban terbesar pada simulasi beban meningkat pada beban 5300Watt, Fuel Cell dengan Metode Fuzzy juga menghasilkan daya keluaran yang lebih besar dengan selisih daya sebesar 12,860712Watt.

Tabel 4.6 merupakan hasil data daya simulasi apabila Fuel Cell dibebani menurun dengan 3 variasi beban mulai dari beban sebesar rata-rata 5300Watt kemudian turun dengan beban 5100Watt dan terakhir dengan beban 4700Watt dimana hasilnya memperlihatkan bahwa daya yang dikeluarkan Fuel Cell lebih baik dengan menggunakan metode Fuzzy Logic dari pada menggunakan metode pembandingnya dimana daya yang dikeluarkan apabila menggunakan Fuzzy Logic pada besaran beban 5300Watt adalah 5370,679037 Watt sedangkan apabila menggunakan metode P&O daya yang dihasilkan adalah 5368,833388 dimana apabila menggunakan metode Fuzzy lebih besar senilai 1,845649 Watt. Pada pembebanan sebesar 5100Watt Fuel Cell dengan metode Fuzzy Logic juga mampu menghasilkan daya yang lebih

besar senilai 0,78Watt dibandingkan dengan metode P&O. pada beban palibg kecil di simulasi beban menurun yaitu 4700W Fuel Cell dengan metode Fuzzy Logic juga mampu menghasilkan daya yang lebih besar dibanding metode poembandingnya denagn selisih nilai daya keluarannya adalah 0,38Watt.

Pada tabel 4.7 merupakan data Fuel Cell dibebani dengan beban meningkat dan dengan beban menurun dengan jangkauan beban rata-rata antara 4700Watt hingga 5300Watt. Pada data terlihat bahwa Fuel Cell mampu menghaiikan daya keluaran yang lebih baik dengan metode Fuzzy logic dibandingkan dengan metode konvensionalnya yaitu *Purturb and Obsevation*. Pada beban naik metode Fuzzy Logic mampu menghasilkan daya keluaran lebih baik senilai 28,737259Watt dan pada beban menurun selisih kemampuannya dengan metode konvensional adalah senilai 1,00401Watt. Hal ini menunjukkan bahwa Fuel Cell dengan metode Fuzzy Logic mampu mempertahankan kemampuannya apabila dibebani naik ataupun menurun sedangkan metode Konvensional tidak menghasilkan daya keluaran yang maksimal dibandingkan dengan metode Fuzzy Logic.

Tabel 4.8 terdapat data mengenai *risetime*, yaitu ukuran waktu yang di ukur mulai dari respon $t=0$ sampai dengan respon memotong sumbu steady state yang pertama. Dimana hasil yang diperoleh bahwa Fuel Cell dengan metode Fuzzy logic mampu mencapai waktu *risetime*-nya pada detik ke 1,013 ms pada beban naik dan 1,089 ms dengan metode *Purturb and Obsevation*, dimana Fuzzy lebih cepat 0,076 ms. Apabila Fuel Cell dibebani dengan beban menurun metode Fuzzy Logic juga mampu mencapai waktu *risetime* lebih cepat 0,75ms dibandingkan dengan metode konvensionalnya.

--Halaman ini sengaja dikosongkan--

BAB 5

KESIMPULAN DAN SARAN

Bab ini membahas kesimpulan yang didapatkan berdasarkan hasil simulasi dan analisa dari perbandingan hasil MPPT dengan Metode Fuzzy Logic Controller dan MPPT dengan *Perturb and Observe* (P&O) pada aplikasi Fuel Cell.

5.1 Kesimpulan

Dari hasil simulasi MPPT dengan Metode Fuzzy Logic Controller dan MPPT dengan *Perturb and Observe* (P&O) pada aplikasi Fuel Cell dengan variasi beban, dapat diambil beberapa kesimpulan sebagai berikut:

- a. Fuel Cell dengan menggunakan metode Fuzzy Logic mampu menghasilkan daya keluaran 5083,786533Watt saat beban naik dan 5074,868018Watt saat beban turun dengan rata-rata keluaran daya 5079,327276Watt
- b. Fuel Cell dengan menggunakan metode *Perturb and Observe* (P&O) mampu menghasilkan daya keluaran 5055,049274Watt saat beban naik dan 5073,864006Watt saat beban turun dengan rata-rata keluaran daya 5064,45664Watt
- c. Fuel Cell lebih stabil mengeluarkan daya dengan menggunakan metode Fuzzy Logic daripada metode *Perturb and Observe* (P&O) untuk jenis beban yang bervariasi.
- d. Fuel Cell menggunakan MPPT Metode Fuzzy Logic mempunyai waktu *risetime* lebih cepat 0,76ms dibandingkan dengan metode *Perturb and Observe* (P&O)
- e. MPPT dengan metode Fuzzy Logic merupakan metode alternatif MPPT yang dapat digunakan untuk membuat sistem controller dengan Fuel Cell dengan hasil yang lebih baik

5.2 Saran

Saran yang diberikan penulis untuk penelitian ini yang diharapkan dapat memperbaiki dan mengembangkan penelitian selanjutnya, yaitu:

- a. Menggunakan besaran beban real yang seperti besarnya beban saat implementasi.
- b. Sistem MPPT dengan Fuzzy Logic pada Fuel Cell di tugas akhir ini hanya disimulasikan menggunakan software MATLAB/SIMULINK. Sehingga untuk kedepannya dapat dibuat prototipe atau diimplementasikan dengan kemampuan komponen yang sesuai.

--Halaman ini sengaja dikosongkan--

DAFTAR PUSTAKA

- Aly, M., & Rezk, H. (2020). A differential evolution-based optimized fuzzy logic MPPT method for enhancing the maximum power extraction of proton exchange membrane fuel cells. *IEEE Access*, 8, 172219–172232.
- Ashari, M. (2017.). *Desain Konverter Elektronika Daya*.
- Azar, A. T., & Kamal, N. A. (Eds.). (2021). *Renewable energy systems: Modelling, optimization and control*. Academic Press.
- Choudhury, S. D., Bhardwaj, V. M., Nandikesan, P., Mohanty, S., Shaneeth, M., & Kamalakaran, K. P. (2012). Control strategy for PEM fuel cell power plant. In " *in2012 1st International Conference on Power and Energy in NERIST (ICPEN)*.
- Guenounou, O., Dahhou, B., & Chabour, F. (2014). 'Adaptive fuzzy controller based MPPT for photovoltaic systems,. *Energy Convers. Manage*, 78, 843–850.
- Karthikeyan, V., Das, P. V., Blaabjerg ; Karthikeyan, F., Das, P. V., & Blaabjerg, F. (2018). Implementation of MPPT control in fuel cell fed high step-up ratio DC-DC converter. In *2018 2nd IEEE International Conference on Power Electronics, Intelligent Control and Energy Systems (ICPEICES)*.
- Kumar, A. S., Cermak, T., Misak, S., & Horak, B. (2015). Modeling and simulation for 1.2 kW PEM fuel cell power generation of isolated load conditions. In *2015 International Conference on Electrical Drives and Power Electronics (EDPE)*.
- Kumar Dan, D., & Chatterjee, K. (2016). A review of conventional and advanced MPPT algorithms for wind energy systems, " *Renew. Sustain. Energy Rev*, 55.
- Lalouni, S., Rekioua, D., Rekioua, T., & Matagne, E. (2009). Fuzzy logic control of stand-alone photovoltaic system with battery storage. *Journal of Power Sources*, 193(2), 899–907. <https://doi.org/10.1016/j.jpowsour.2009.04.016>
- Lin, S.-L., Wu, G.-B., Liu, W.-C., & Moo, C.-S. (2012). Ripple current effect on output power of solar-cell panel. *2012 International Conference on Renewable Energy Research and Applications (ICRERA)*.
- PEM Fuel Cell System - MATLAB & Simulink - MathWorks América Latina*. (n.d). Mathworks.com. Retrieved April 22, 2022, from <https://la.mathworks.com/help/physmod/simscape/ug/pem-fuel-cell-system.html>
- Power Electronics Handbook*. (2018). Elsevier.
- Saleh, A., Azmi, K. S., Hardianto, T., & Hadi, W. (2018). Comparison of MPPT fuzzy logic controller based on perturb and observe (P&O) and incremental conductance (InC) algorithm on buck-boost converter. In *2018 2nd International Conference on Electrical Engineering and Informatics (ICon EEI)*.
- STATISTIK PLN*. (n.d.). Pln.Co.Id. Retrieved April 22, 2022, from <https://web.pln.co.id/statics/uploads/2021/07/Statistik-PLN-2020.pdf>
- Wang, C., Nehrir, M. H., & Shaw, S. R. (2005). Dynamic models and model validation for PEM fuel cells using electrical circuits. *IEEE Trans. Energy Convers*, 20(2), 442–451.

--Halaman ini sengaja dikosongkan--

LAMPIRAN

1. Data Karakteristik

R	P	I	V
0,02	0,00	191,97	0,00
0,04	0,00	140,37	0,00
0,06	0,00	102,65	0,00
0,08	0,00	164,45	0,00
0,1	0,00	120,25	0,00
0,12	5402,65	86,67	62,33
0,14	0,00	130,97	0,00
0,16	5381,07	84,41	63,75
0,18	0,00	117,55	0,00
0,2	0,00	145,95	0,00
0,22	5322,23	80,40	66,20
0,24	836,12	100,95	8,28
0,26	0,00	135,03	0,00
0,28	0,00	126,11	0,00
0,3	0,00	129,59	0,00
0,32	0,00	126,80	0,00
0,34	0,00	123,97	0,00
0,36	0,00	121,27	0,00
0,38	0,00	118,68	0,00
0,4	0,00	116,20	0,00
0,42	0,00	113,81	0,00
0,44	0,00	111,53	0,00
0,46	0,00	109,33	0,00
0,48	0,00	107,21	0,00
0,5	0,00	105,18	0,00
0,52	0,00	103,22	0,00
0,54	2485,60	101,33	2,45
0,56	1723,93	99,50	17,33
0,58	2971,49	97,74	30,40
0,6	3936,34	96,04	40,98
0,62	4637,44	94,40	49,12
0,64	5098,09	92,82	54,93
0,66	5342,84	91,28	58,53
0,68	5398,32	89,80	60,12
0,7	5384,48	88,36	60,94
0,72	5367,22	86,96	61,72
0,74	5348,33	85,61	62,47

R	P	I	V
0,76	5328,00	84,30	63,20
0,78	5306,40	83,03	63,91
0,8	5283,66	81,80	64,60
0,82	5259,91	80,60	65,26
0,84	5235,27	79,43	65,91
0,86	5209,83	78,30	66,53
0,88	5183,69	77,20	67,14
0,9	5156,94	76,13	67,74
0,92	5129,65	75,09	68,31
0,94	5101,91	74,08	68,87
0,96	5073,76	73,09	69,42
0,98	5045,28	72,13	69,95
1	5016,52	71,19	70,46
1,02	4987,52	70,28	70,96
1,04	4958,33	69,39	71,45
1,06	4929,00	68,52	71,93
1,08	4899,55	67,68	72,40
1,1	4870,03	66,85	72,85
1,12	4840,46	66,04	73,29
1,14	4810,87	65,26	73,72
1,16	4781,29	64,49	74,14
1,18	4751,74	63,74	74,55
1,2	4722,24	63,00	74,95
1,22	4692,82	62,28	75,35
1,24	4663,48	61,58	75,73
1,26	4634,25	60,90	76,10
1,28	4605,14	60,22	76,47
1,3	4576,17	59,57	76,82
1,32	4547,33	58,92	77,17
1,34	4518,65	58,29	77,51
1,36	4490,14	57,68	77,85
1,38	4461,79	57,07	78,18
1,4	4433,63	56,48	78,49
1,42	4405,66	55,90	78,81
1,44	4377,87	55,34	79,11
1,46	4350,29	54,78	79,41
1,48	4322,91	54,23	79,71

R	P	I	V
1,5	4295,74	53,70	80,00
1,52	4268,77	53,17	80,28
1,54	4242,02	52,66	80,55
1,56	4215,49	52,16	80,83
1,58	4189,18	51,66	81,09
1,6	4163,08	51,17	81,35
1,62	4137,21	50,70	81,61
1,64	4111,56	50,23	81,86
1,66	4086,14	49,77	82,10
1,68	4060,94	49,32	82,34
1,7	4035,96	48,87	82,58
1,72	4011,21	48,44	82,81
1,74	3986,68	48,01	83,04
1,76	3962,38	47,59	83,26
1,78	3938,30	47,17	83,48
1,8	3914,44	46,77	83,70
1,82	3890,81	46,37	83,91
1,84	3867,39	45,97	84,12
1,86	3844,20	45,59	84,32
1,88	3821,23	45,21	84,53
1,9	3798,47	44,83	84,72
1,92	3775,93	44,47	84,92
1,94	3753,60	44,10	85,11
1,96	3731,49	43,75	85,30
1,98	3709,59	43,40	85,48
2	3687,89	43,05	85,66
2,02	3666,41	42,71	85,84
2,04	3645,13	42,38	86,01
2,06	3624,06	42,05	86,19
2,08	3603,19	41,72	86,36
2,1	3582,53	41,40	86,52
2,12	3562,06	41,09	86,69
2,14	3541,78	40,78	86,85
2,16	3521,71	40,48	87,01
2,18	3501,82	40,17	87,17
2,2	3482,13	39,88	87,32
2,22	3462,63	39,59	87,47
2,24	3443,31	39,30	87,62
2,26	3424,19	39,01	87,77
2,28	3405,24	38,73	87,91

R	P	I	V
2,3	3386,47	38,46	88,06
2,32	3367,89	38,19	88,20
2,34	3349,48	37,92	88,34
2,36	3331,25	37,65	88,47
2,38	3313,19	37,39	88,61
2,4	3295,31	37,13	88,74
2,42	3277,59	36,88	88,87
2,44	3260,04	36,63	89,00
2,46	3242,66	36,38	89,13
2,48	3225,44	36,14	89,25
2,5	3208,38	35,90	89,38
2,52	3191,48	35,66	89,50
2,54	3174,75	35,43	89,62
2,56	3158,16	35,19	89,74
2,58	3141,74	34,97	89,85
2,6	3125,46	34,74	89,97
2,62	3109,34	34,52	90,08
2,64	3093,37	34,30	90,19
2,66	3077,54	34,08	90,30
2,68	3061,86	33,87	90,41
2,7	3046,32	33,65	90,52
2,72	3030,93	33,44	90,63
2,74	3015,68	33,24	90,73
2,76	3000,56	33,03	90,83
2,78	2985,59	32,83	90,94
2,8	2970,75	32,63	91,04
2,82	2956,04	32,44	91,14
2,84	2941,46	32,24	91,23
2,86	2927,02	32,05	91,33
2,88	2912,71	31,86	91,43
2,9	2898,52	31,67	91,52
2,92	2884,46	31,49	91,61
2,94	2870,52	31,30	91,70
2,96	2856,71	31,12	91,80
2,98	2843,02	30,94	91,89
3	2829,45	30,76	91,97
3,02	2816,00	30,59	92,06
3,04	2802,67	30,41	92,15
3,06	2789,45	30,24	92,23
3,08	2776,35	30,07	92,32

R	P	I	V
3,1	2763,36	29,91	92,40
3,12	2750,49	29,74	92,48
3,14	2737,72	29,58	92,56
3,16	2725,07	29,41	92,65
3,18	2713,10	29,26	92,74
3,2	2701,40	29,10	92,83
3,22	2689,80	28,95	92,92
3,24	2678,29	28,80	93,01
3,26	2666,88	28,65	93,10
3,28	2655,56	28,50	93,19
3,3	2644,33	28,35	93,27
3,32	2633,18	28,21	93,36
3,34	2622,13	28,06	93,44
3,36	2611,17	27,92	93,53
3,38	2600,29	27,78	93,61
3,4	2589,50	27,64	93,69
3,42	2578,80	27,50	93,77
3,44	2568,18	27,36	93,85
3,46	2557,64	27,23	93,93
3,48	2547,18	27,09	94,01
3,5	2536,81	26,96	94,09
3,52	2526,52	26,83	94,17
3,54	2516,30	26,70	94,25
3,56	2506,17	26,57	94,32
3,58	2496,11	26,44	94,40
3,6	2486,13	26,32	94,47
3,62	2476,23	26,19	94,55
3,64	2466,41	26,07	94,62
3,66	2456,65	25,94	94,69
3,68	2446,98	25,82	94,76
3,7	2437,37	25,70	94,84
3,72	2427,84	25,58	94,91
3,74	2418,38	25,46	94,98
3,76	2408,99	25,35	95,05
3,78	2399,67	25,23	95,11
3,8	2390,42	25,11	95,18
3,82	2381,24	25,00	95,25
3,84	2372,12	24,89	95,32
3,86	2363,08	24,77	95,38
3,88	2354,10	24,66	95,45

R	P	I	V
3,9	2345,18	24,55	95,51
3,92	2336,33	24,44	95,58
3,94	2327,55	24,34	95,64
3,96	2318,83	24,23	95,70
3,98	2310,17	24,12	95,77
4	2301,57	24,02	95,83
4,02	2293,04	23,91	95,89
4,04	2284,57	23,81	95,95
4,06	2276,16	23,71	96,01
4,08	2267,80	23,61	96,07
4,1	2259,51	23,50	96,13
4,12	2251,28	23,40	96,19
4,14	2243,10	23,31	96,25
4,16	2234,98	23,21	96,31
4,18	2226,92	23,11	96,36
4,2	2218,92	23,01	96,42
4,22	2210,97	22,92	96,48
4,24	2203,08	22,82	96,53
4,26	2195,24	22,73	96,59
4,28	2187,45	22,63	96,65
4,3	2179,72	22,54	96,70
4,32	2172,04	22,45	96,75
4,34	2164,42	22,36	96,81
4,36	2156,84	22,27	96,86
4,38	2149,32	22,18	96,91
4,4	2141,85	22,09	96,97
4,42	2134,43	22,00	97,02
4,44	2127,06	21,91	97,07
4,46	2119,74	21,83	97,12
4,48	2112,47	21,74	97,17
4,5	2105,24	21,65	97,22
4,52	2098,07	21,57	97,27
4,54	2090,94	21,48	97,32
4,56	2083,86	21,40	97,37
4,58	2076,83	21,32	97,42
4,6	2069,84	21,24	97,47
4,62	2062,90	21,15	97,52
4,64	2056,00	21,07	97,57
4,66	2049,15	20,99	97,61
4,68	2042,34	20,91	97,66

R	P	I	V
4,7	2035,58	20,83	97,71
4,72	2028,86	20,75	97,75
4,74	2022,19	20,68	97,80
4,76	2015,55	20,60	97,85
4,78	2008,96	20,52	97,89
4,8	2002,42	20,45	97,94
4,82	1995,91	20,37	97,98
4,84	1989,45	20,30	98,03
4,86	1983,02	20,22	98,07
4,88	1976,64	20,15	98,11
4,9	1970,30	20,07	98,16
4,92	1963,99	20,00	98,20
4,94	1957,73	19,93	98,24
4,96	1951,50	19,86	98,28
4,98	1945,32	19,78	98,33
5	1939,17	19,71	98,37
5,02	1933,06	19,64	98,41
5,04	1926,99	19,57	98,45
5,06	1920,95	19,50	98,49
5,08	1914,96	19,43	98,53
5,1	1908,99	19,37	98,57
5,12	1903,07	19,30	98,61
5,14	1897,18	19,23	98,65
5,16	1891,33	19,16	98,69
5,18	1885,51	19,10	98,73
5,2	1879,73	19,03	98,77
5,22	1873,98	18,97	98,81
5,24	1868,27	18,90	98,85
5,26	1862,59	18,84	98,89
5,28	1856,95	18,77	98,92
5,3	1851,33	18,71	98,96
5,32	1845,76	18,64	99,00
5,34	1840,21	18,58	99,04
5,36	1834,70	18,52	99,07
5,38	1829,22	18,46	99,11
5,4	1823,77	18,39	99,15
5,42	1818,35	18,33	99,18
5,44	1812,97	18,27	99,22
5,46	1807,62	18,21	99,25
5,48	1802,29	18,15	99,29

R	P	I	V
5,5	1797,00	18,09	99,33
5,52	1791,74	18,03	99,36
5,54	1786,51	17,97	99,39
5,56	1781,31	17,92	99,43
5,58	1776,14	17,86	99,46
5,6	1771,00	17,80	99,50
5,62	1765,89	17,74	99,53
5,64	1760,81	17,68	99,57
5,66	1755,75	17,63	99,60
5,68	1750,73	17,57	99,63
5,7	1745,73	17,52	99,67
5,72	1740,76	17,46	99,70
5,74	1735,82	17,41	99,73
5,76	1730,90	17,35	99,76
5,78	1726,02	17,30	99,80
5,8	1721,16	17,24	99,83
5,82	1716,33	17,19	99,86
5,84	1711,52	17,13	99,89
5,86	1706,74	17,08	99,92
5,88	1701,99	17,03	99,95
5,9	1697,26	16,98	99,98
5,92	1692,56	16,92	100,01
5,94	1687,89	16,87	100,05
5,96	1683,24	16,82	100,08
5,98	1678,61	16,77	100,11
6	1674,01	16,72	100,14
6,02	1669,44	16,67	100,17
6,04	1664,89	16,62	100,20
6,06	1660,36	16,57	100,23
6,08	1655,86	16,52	100,25
6,1	1651,38	16,47	100,28
6,12	1646,93	16,42	100,31
6,14	1642,50	16,37	100,34
6,16	1638,10	16,32	100,37
6,18	1633,71	16,27	100,40
6,2	1629,35	16,22	100,43
6,22	1625,02	16,18	100,46
6,24	1620,70	16,13	100,48
6,26	1616,41	16,08	100,51
6,28	1612,14	16,04	100,54

R	P	I	V
6,3	1607,90	15,99	100,57
6,32	1603,67	15,94	100,59
6,34	1599,47	15,90	100,62
6,36	1595,29	15,85	100,65
6,38	1591,13	15,80	100,67
6,4	1586,99	15,76	100,70
6,42	1582,87	15,71	100,73
6,44	1578,78	15,67	100,75
6,46	1574,70	15,63	100,78
6,48	1570,65	15,58	100,81
6,5	1566,61	15,54	100,83
6,52	1562,60	15,49	100,86
6,54	1558,61	15,45	100,88
6,56	1554,64	15,41	100,91
6,58	1550,68	15,36	100,94
6,6	1546,75	15,32	100,96
6,62	1542,84	15,28	100,99
6,64	1538,95	15,24	101,01
6,66	1535,07	15,19	101,04
6,68	1531,22	15,15	101,06
6,7	1527,38	15,11	101,08
6,72	1523,56	15,07	101,11
6,74	1519,77	15,03	101,13
6,76	1515,99	14,99	101,16
6,78	1512,23	14,95	101,18
6,8	1508,49	14,91	101,21
6,82	1504,76	14,86	101,23
6,84	1501,06	14,82	101,25
6,86	1497,37	14,78	101,28
6,88	1493,70	14,75	101,30
6,9	1490,05	14,71	101,32
6,92	1486,41	14,67	101,35
6,94	1482,80	14,63	101,37
6,96	1479,20	14,59	101,39
6,98	1475,62	14,55	101,41
7	1472,05	14,51	101,44
7,02	1468,50	14,47	101,46
7,04	1464,97	14,44	101,48
7,06	1461,46	14,40	101,50
7,08	1457,96	14,36	101,53

R	P	I	V
7,1	1454,48	14,32	101,55
7,12	1451,02	14,29	101,57
7,14	1447,57	14,25	101,59
7,16	1444,14	14,21	101,61
7,18	1440,72	14,18	101,64
7,2	1437,32	14,14	101,66
7,22	1433,94	14,10	101,68
7,24	1430,57	14,07	101,70
7,26	1427,22	14,03	101,72
7,28	1423,88	13,99	101,74
7,3	1420,56	13,96	101,76
7,32	1417,25	13,92	101,78
7,34	1413,96	13,89	101,81
7,36	1410,69	13,85	101,83
7,38	1407,43	13,82	101,85
7,4	1404,18	13,78	101,87
7,42	1400,95	13,75	101,89
7,44	1397,73	13,72	101,91
7,46	1394,53	13,68	101,93
7,48	1391,34	13,65	101,95
7,5	1388,17	13,61	101,97
7,52	1385,01	13,58	101,99
7,54	1381,87	13,55	102,01
7,56	1378,74	13,51	102,03
7,58	1375,62	13,48	102,05
7,6	1372,52	13,45	102,07
7,62	1369,43	13,41	102,08
7,64	1366,36	13,38	102,10
7,66	1363,30	13,35	102,12
7,68	1360,25	13,32	102,14
7,7	1357,22	13,29	102,16
7,72	1354,20	13,25	102,18
7,74	1351,19	13,22	102,20
7,76	1348,20	13,19	102,22
7,78	1345,22	13,16	102,24
7,8	1342,25	13,13	102,26
7,82	1339,30	13,10	102,27
7,84	1336,35	13,06	102,29
7,86	1333,43	13,03	102,31
7,88	1330,51	13,00	102,33

R	P	I	V
7,9	1327,61	12,97	102,35
7,92	1324,72	12,94	102,36
7,94	1321,84	12,91	102,38
7,96	1318,97	12,88	102,40
7,98	1316,12	12,85	102,42
8	1313,28	12,82	102,44
8,02	1310,45	12,79	102,45
8,04	1307,63	12,76	102,47
8,06	1304,83	12,73	102,49
8,08	1302,03	12,70	102,51
8,1	1299,25	12,67	102,52
8,12	1296,48	12,64	102,54
8,14	1293,72	12,61	102,56
8,16	1290,98	12,59	102,57
8,18	1288,24	12,56	102,59
8,2	1285,52	12,53	102,61
8,22	1282,81	12,50	102,62
8,24	1280,11	12,47	102,64
8,26	1277,42	12,44	102,66
8,28	1274,74	12,42	102,67
8,3	1272,08	12,39	102,69
8,32	1269,42	12,36	102,71
8,34	1266,78	12,33	102,72
8,36	1264,14	12,30	102,74
8,38	1261,52	12,28	102,76
8,4	1258,91	12,25	102,77
8,42	1256,31	12,22	102,79
8,44	1253,72	12,20	102,80
8,46	1251,14	12,17	102,82
8,48	1248,57	12,14	102,84
8,5	1246,01	12,11	102,85
8,52	1243,46	12,09	102,87
8,54	1240,92	12,06	102,88
8,56	1238,39	12,04	102,90
8,58	1235,87	12,01	102,91
8,6	1233,37	11,98	102,93
8,62	1230,87	11,96	102,95
8,64	1228,38	11,93	102,96
8,66	1225,90	11,90	102,98
8,68	1223,44	11,88	102,99

R	P	I	V
8,7	1220,98	11,85	103,01
8,72	1218,53	11,83	103,02
8,74	1216,09	11,80	103,04
8,76	1213,66	11,78	103,05
8,78	1211,25	11,75	103,07
8,8	1208,84	11,73	103,08
8,82	1206,44	11,70	103,10
8,84	1204,05	11,68	103,11
8,86	1201,67	11,65	103,12
8,88	1199,29	11,63	103,14
8,9	1196,93	11,60	103,15
8,92	1194,58	11,58	103,17
8,94	1192,24	11,55	103,18
8,96	1189,90	11,53	103,20
8,98	1187,58	11,51	103,21
9	1185,26	11,48	103,23
9,02	1182,95	11,46	103,24
9,04	1180,65	11,43	103,25
9,06	1178,36	11,41	103,27
9,08	1176,08	11,39	103,28
9,1	1173,81	11,36	103,30
9,12	1171,55	11,34	103,31
9,14	1169,29	11,32	103,32
9,16	1167,05	11,29	103,34
9,18	1164,81	11,27	103,35
9,2	1162,58	11,25	103,36
9,22	1160,36	11,22	103,38
9,24	1158,15	11,20	103,39
9,26	1155,94	11,18	103,40
9,28	1153,75	11,16	103,42
9,3	1151,56	11,13	103,43
9,32	1149,38	11,11	103,44
9,34	1147,21	11,09	103,46
9,36	1145,05	11,07	103,47
9,38	1142,89	11,04	103,48
9,4	1140,75	11,02	103,50
9,42	1138,61	11,00	103,51
9,44	1136,48	10,98	103,52
9,46	1134,35	10,96	103,54
9,48	1132,24	10,93	103,55

R	P	I	V
9,5	1130,13	10,91	103,56
9,52	1128,03	10,89	103,57
9,54	1125,94	10,87	103,59
9,56	1123,86	10,85	103,60
9,58	1121,78	10,83	103,61
9,6	1119,72	10,81	103,62
9,62	1117,65	10,78	103,64
9,64	1115,60	10,76	103,65
9,66	1113,56	10,74	103,66
9,68	1111,52	10,72	103,67
9,7	1109,49	10,70	103,69
9,72	1107,46	10,68	103,70
9,74	1105,45	10,66	103,71
9,76	1103,44	10,64	103,72
9,78	1101,44	10,62	103,74
9,8	1099,44	10,60	103,75
9,82	1097,46	10,58	103,76
9,84	1095,48	10,56	103,77
9,86	1093,50	10,54	103,78
9,88	1091,54	10,52	103,80
9,9	1089,58	10,50	103,81
9,92	1087,63	10,48	103,82
9,94	1085,68	10,46	103,83
9,96	1083,74	10,44	103,84
9,98	1081,81	10,42	103,85
10	1079,89	10,40	103,87

1. Data Pembebanan Naik dengan Fuzzy Logic

Fuzzy - beban Naik

Time	Arus (I)	Tegangan (V)	Daya (W)	Beban (W)
0,0005	78,012	66,672	5201,205	15,566
0,0010	99,961	15,407	1540,104	158,741
0,0015	98,484	26,450	2604,855	456,333
0,0020	96,947	36,508	3539,321	857,716
0,0025	95,982	41,998	4031,077	1297,149
0,0030	95,118	46,344	4408,149	1716,610
0,0035	93,962	51,274	4817,800	2142,384
0,0040	92,715	55,410	5137,342	2566,090
0,0045	91,279	58,602	5349,148	2977,952
0,0050	89,352	60,364	5393,652	3368,293
0,0055	86,235	62,105	5355,600	3723,068
0,0060	82,283	64,306	5291,305	4026,141
0,0065	78,248	66,547	5207,202	4270,520
0,0070	74,559	68,590	5113,991	4457,600
0,0075	71,417	70,324	5022,336	4593,817
0,0080	68,881	71,720	4940,132	4687,939
0,0085	66,925	72,794	4871,726	4749,163
0,0090	65,479	73,586	4818,375	4785,969
0,0095	64,457	74,146	4779,199	4805,545
0,0100	63,768	74,522	4752,139	4813,619
0,0105	63,331	74,761	4734,701	4814,515
0,0110	63,077	74,900	4724,440	4811,344
0,0115	62,948	74,970	4719,227	4806,231
0,0120	62,902	74,995	4717,347	4800,543

Time	Arus (I)	Tegangan (V)	Daya (W)	Beban (W)
0,0505	73,338	69,264	5079,682	5116,398
0,0510	73,338	69,264	5079,686	5116,392
0,0515	73,338	69,264	5079,689	5116,389
0,0520	73,338	69,264	5079,691	5116,387
0,0525	73,338	69,264	5079,693	5116,386
0,0530	73,338	69,264	5079,694	5116,385
0,0535	73,338	69,264	5079,695	5116,385
0,0540	73,338	69,264	5079,695	5116,386
0,0545	73,338	69,264	5079,695	5116,386
0,0550	73,338	69,264	5079,695	5116,386
0,0555	73,338	69,264	5079,695	5116,387
0,0560	73,338	69,264	5079,695	5116,387
0,0565	73,338	69,264	5079,695	5116,387
0,0570	73,338	69,264	5079,695	5116,387
0,0575	73,338	69,264	5079,695	5116,388
0,0580	73,338	69,264	5079,695	5116,388
0,0585	73,338	69,264	5079,695	5116,388
0,0590	73,338	69,264	5079,695	5116,388
0,0595	73,338	69,264	5079,695	5116,388
0,0600	73,338	69,264	5079,695	5116,388
0,0605	73,338	69,264	5079,695	5116,388
0,0610	73,338	69,264	5079,695	5116,388
0,0615	73,338	69,264	5079,695	5116,388
0,0620	73,338	69,264	5079,695	5116,388

0,0125	62,906	74,993	4717,507	4795,095
0,0130	62,937	74,976	4718,782	4790,312
0,0135	62,981	74,952	4720,548	4786,366
0,0140	63,027	74,927	4722,413	4783,269
0,0145	63,070	74,904	4724,149	4780,947
0,0150	63,107	74,884	4725,644	4779,280
0,0155	63,137	74,867	4726,858	4778,139
0,0160	63,160	74,854	4727,799	4777,402
0,0165	63,177	74,845	4728,496	4776,960
0,0170	63,189	74,838	4728,990	4776,726
0,0175	63,198	74,834	4729,322	4776,629
0,0180	63,203	74,831	4729,534	4776,617
0,0185	63,206	74,829	4729,657	4776,655
0,0190	63,207	74,828	4729,719	4776,716
0,0195	63,208	74,828	4729,742	4776,783
0,0200	63,208	74,828	4729,740	4776,848
0,0205	63,208	74,828	4729,725	4776,906
0,0210	63,207	74,829	4729,704	4776,953
0,0215	63,207	74,829	4729,682	4776,990
0,0220	63,206	74,829	4729,661	4777,018
0,0225	63,206	74,829	4729,643	4777,038
0,0230	63,205	74,830	4729,629	4777,051
0,0235	63,205	74,830	4729,618	4777,060
0,0240	63,205	74,830	4729,609	4777,065
0,0245	63,205	74,830	4729,603	4777,068
0,0250	63,205	74,830	4729,599	4777,069
0,0255	63,204	74,830	4729,597	4777,070
0,0260	63,204	74,830	4729,595	4777,069
0,0265	63,204	74,830	4729,595	4777,068

0,0625	73,338	69,264	5079,695	5116,388
0,0630	73,338	69,264	5079,695	5116,388
0,0635	73,338	69,264	5079,695	5116,388
0,0640	73,338	69,264	5079,695	5116,388
0,0645	73,338	69,264	5079,695	5116,388
0,0650	73,338	69,264	5079,695	5116,388
0,0655	73,338	69,264	5079,695	5116,388
0,0660	73,338	69,264	5079,695	5116,388
0,0665	73,338	69,264	5079,695	5116,388
0,0670	73,949	68,926	5097,035	6473,511
0,0675	75,781	67,913	5146,537	6120,169
0,0680	78,058	66,652	5202,718	5855,061
0,0685	80,301	65,407	5252,272	5665,747
0,0690	82,265	64,315	5290,934	5536,989
0,0695	83,856	63,430	5319,000	5454,073
0,0700	85,067	62,755	5338,428	5404,261
0,0705	85,941	62,268	5351,392	5377,255
0,0710	86,537	61,936	5359,742	5365,152
0,0715	86,921	61,722	5364,895	5362,166
0,0720	87,149	61,594	5367,884	5364,252
0,0725	87,270	61,527	5369,448	5368,729
0,0730	87,322	61,498	5370,111	5373,930
0,0735	87,332	61,492	5370,234	5378,903
0,0740	87,319	61,500	5370,065	5383,182
0,0745	87,295	61,513	5369,762	5386,605
0,0750	87,269	61,528	5369,425	5389,186
0,0755	87,244	61,541	5369,109	5391,030
0,0760	87,223	61,553	5368,841	5392,278
0,0765	87,207	61,562	5368,628	5393,072

0,0270	63,204	74,830	4729,594	4777,068	0,0770	87,194	61,569	5368,469	5393,538
0,0275	63,204	74,830	4729,594	4777,067	0,0775	87,185	61,574	5368,356	5393,780
0,0280	63,204	74,830	4729,595	4777,066	0,0780	87,180	61,577	5368,280	5393,878
0,0285	63,204	74,830	4729,595	4777,066	0,0785	87,176	61,579	5368,232	5393,889
0,0290	63,204	74,830	4729,595	4777,065	0,0790	87,174	61,581	5368,205	5393,854
0,0295	63,204	74,830	4729,595	4777,065	0,0795	87,173	61,581	5368,191	5393,800
0,0300	63,204	74,830	4729,596	4777,065	0,0800	87,172	61,581	5368,186	5393,741
0,0305	63,204	74,830	4729,596	4777,064	0,0805	87,172	61,581	5368,185	5393,687
0,0310	63,204	74,830	4729,596	4777,064	0,0810	87,172	61,581	5368,188	5393,642
0,0315	63,204	74,830	4729,596	4777,064	0,0815	87,173	61,581	5368,192	5393,607
0,0320	63,204	74,830	4729,596	4777,064	0,0820	87,173	61,581	5368,195	5393,580
0,0325	63,204	74,830	4729,596	4777,064	0,0825	87,173	61,581	5368,199	5393,562
0,0330	63,204	74,830	4729,596	4777,064	0,0830	87,173	61,581	5368,202	5393,550
0,0335	63,316	74,769	4734,085	5875,293	0,0835	87,174	61,581	5368,204	5393,542
0,0340	64,274	74,245	4772,073	5661,425	0,0840	87,174	61,581	5368,206	5393,538
0,0345	65,744	73,441	4828,292	5489,596	0,0845	87,174	61,580	5368,207	5393,536
0,0350	67,336	72,568	4886,433	5358,399	0,0850	87,174	61,580	5368,207	5393,535
0,0355	68,827	71,749	4938,268	5262,686	0,0855	87,174	61,580	5368,208	5393,535
0,0360	70,106	71,046	4980,730	5195,968	0,0860	87,174	61,580	5368,208	5393,536
0,0365	71,137	70,478	5013,572	5151,759	0,0865	87,174	61,580	5368,208	5393,536
0,0370	71,924	70,044	5037,859	5124,251	0,0870	87,174	61,580	5368,208	5393,537
0,0375	72,498	69,728	5055,104	5108,599	0,0875	87,174	61,580	5368,208	5393,537
0,0380	72,896	69,508	5066,845	5100,970	0,0880	87,174	61,580	5368,208	5393,538
0,0385	73,157	69,364	5074,456	5098,464	0,0885	87,174	61,580	5368,208	5393,538
0,0390	73,317	69,275	5079,081	5098,986	0,0890	87,174	61,580	5368,208	5393,539
0,0395	73,406	69,227	5081,631	5101,088	0,0895	87,174	61,580	5368,208	5393,539
0,0400	73,447	69,204	5082,802	5103,825	0,0900	87,174	61,580	5368,208	5393,539
0,0405	73,457	69,198	5083,109	5106,618	0,0905	87,174	61,580	5368,208	5393,539
0,0410	73,451	69,202	5082,918	5109,149	0,0910	87,174	61,580	5368,208	5393,539

0,0415	73,435	69,210	5082,478	5111,273	0,0915	87,174	61,580	5368,208	5393,539
0,0420	73,417	69,220	5081,950	5112,956	0,0920	87,174	61,580	5368,208	5393,539
0,0425	73,399	69,230	5081,428	5114,225	0,0925	87,174	61,580	5368,208	5393,539
0,0430	73,383	69,239	5080,965	5115,136	0,0930	87,174	61,580	5368,208	5393,539
0,0435	73,369	69,247	5080,582	5115,759	0,0935	87,174	61,580	5368,208	5393,539
0,0440	73,359	69,252	5080,282	5116,162	0,0940	87,174	61,580	5368,208	5393,539
0,0445	73,351	69,257	5080,058	5116,402	0,0945	87,174	61,580	5368,208	5393,539
0,0450	73,346	69,260	5079,900	5116,531	0,0950	87,174	61,580	5368,208	5393,539
0,0455	73,342	69,262	5079,792	5116,586	0,0955	87,174	61,580	5368,208	5393,539
0,0460	73,339	69,263	5079,724	5116,594	0,0960	87,174	61,580	5368,208	5393,539
0,0465	73,338	69,264	5079,684	5116,577	0,0965	87,174	61,580	5368,208	5393,539
0,0470	73,337	69,264	5079,664	5116,548	0,0970	87,174	61,580	5368,208	5393,539
0,0475	73,337	69,264	5079,656	5116,516	0,0975	87,174	61,580	5368,208	5393,539
0,0480	73,337	69,264	5079,656	5116,485	0,0980	87,174	61,580	5368,208	5393,539
0,0485	73,337	69,264	5079,660	5116,458	0,0985	87,174	61,580	5368,208	5393,539
0,0490	73,337	69,264	5079,666	5116,436	0,0990	87,174	61,580	5368,208	5393,539
0,0495	73,338	69,264	5079,672	5116,419	0,0995	87,174	61,580	5368,208	5393,539
0,0500	73,338	69,264	5079,677	5116,407	0,1	87,174	61,580	5368,208	5393,539

2. Data Pembebanan Naik dengan P&O

P&O - beban Naik

Time	Arus (I)	Tegangan (V)	Daya (W)	Beban (W)	Time	Arus (I)	Tegangan (V)	Daya (W)	Beban (W)
0,0005	78,109	66,618	5203,457	14,580	0,0505	73,338	69,264	5079,682	5116,397
0,0010	100,252	13,087	1312,041	137,684	0,0510	73,338	69,264	5079,686	5116,392
0,0015	99,135	21,736	2154,786	375,715	0,0515	73,338	69,264	5079,689	5116,388
0,0020	98,010	29,712	2912,080	692,297	0,0520	73,338	69,264	5079,692	5116,386
0,0025	96,901	36,784	3564,420	1062,795	0,0525	73,338	69,264	5079,693	5116,385

0,0030	95,791	43,009	4119,847	1466,988
0,0035	94,659	48,427	4584,001	1888,692
0,0040	93,471	53,051	4958,723	2314,897
0,0045	92,036	57,131	5258,083	2737,352
0,0050	90,568	59,549	5393,229	3141,241
0,0055	88,231	60,990	5381,256	3519,044
0,0060	84,662	62,982	5332,154	3854,112
0,0065	80,607	65,238	5258,638	4133,396
0,0070	76,679	67,417	5169,444	4353,759
0,0075	73,200	69,341	5075,716	4519,033
0,0080	70,127	71,034	4981,453	4638,763
0,0085	67,902	72,258	4906,432	4716,529
0,0090	66,212	73,185	4845,720	4765,785
0,0095	64,853	73,929	4794,519	4794,621
0,0100	64,053	74,367	4763,391	4807,536
0,0105	63,526	74,654	4742,522	4811,715
0,0110	63,203	74,831	4729,552	4810,639
0,0115	63,024	74,929	4722,315	4806,755
0,0120	62,943	74,973	4719,003	4801,697
0,0125	62,923	74,984	4718,204	4796,484
0,0130	62,940	74,975	4718,878	4791,695
0,0135	62,975	74,956	4720,303	4787,611
0,0140	63,017	74,933	4722,003	4784,316
0,0145	63,058	74,910	4723,688	4781,781
0,0150	63,096	74,890	4725,200	4779,915
0,0155	63,127	74,872	4726,467	4778,602
0,0160	63,152	74,859	4727,476	4777,724
0,0165	63,028	74,927	4722,445	4777,754
0,0170	62,903	74,995	4717,386	4778,178

0,0530	73,338	69,264	5079,694	5116,385
0,0535	73,338	69,264	5079,695	5116,385
0,0540	73,338	69,264	5079,695	5116,386
0,0545	73,338	69,264	5079,695	5116,386
0,0550	73,338	69,264	5079,695	5116,386
0,0555	73,338	69,264	5079,695	5116,387
0,0560	73,338	69,264	5079,695	5116,387
0,0565	73,338	69,264	5079,695	5116,387
0,0570	73,338	69,264	5079,695	5116,387
0,0575	73,338	69,264	5079,695	5116,388
0,0580	73,338	69,264	5079,695	5116,388
0,0585	73,338	69,264	5079,695	5116,388
0,0590	73,338	69,264	5079,695	5116,388
0,0595	73,338	69,264	5079,695	5116,388
0,0600	73,338	69,264	5079,695	5116,388
0,0605	73,338	69,264	5079,695	5116,388
0,0610	73,338	69,264	5079,695	5116,388
0,0615	73,338	69,264	5079,695	5116,388
0,0620	73,338	69,264	5079,695	5116,388
0,0625	73,338	69,264	5079,695	5116,388
0,0630	73,204	69,338	5075,816	5117,554
0,0635	73,257	69,309	5077,337	5116,011
0,0640	73,294	69,288	5078,404	5115,217
0,0645	73,318	69,275	5079,115	5114,910
0,0650	73,180	69,351	5075,121	5116,724
0,0655	72,971	69,467	5069,032	5117,634
0,0660	73,001	69,450	5069,920	5114,438
0,0665	73,155	69,365	5074,408	5111,216
0,0670	73,868	68,971	5094,761	6465,440

0,0175	63,026	74,928	4722,385	4775,323
0,0180	63,112	74,881	4725,854	4773,911
0,0185	63,168	74,850	4728,139	4773,436
0,0190	63,203	74,831	4729,547	4773,528
0,0195	63,223	74,820	4730,332	4773,924
0,0200	63,232	74,815	4730,695	4774,451
0,0205	63,234	74,814	4730,788	4774,998
0,0210	63,232	74,815	4730,724	4775,504
0,0215	63,229	74,817	4730,578	4775,936
0,0220	63,224	74,819	4730,401	4776,286
0,0225	63,220	74,822	4730,224	4776,557
0,0230	63,216	74,824	4730,065	4776,756
0,0235	63,213	74,826	4729,931	4776,897
0,0240	63,210	74,827	4729,824	4776,991
0,0245	63,208	74,828	4729,742	4777,050
0,0250	63,207	74,829	4729,683	4777,085
0,0255	63,206	74,830	4729,641	4777,102
0,0260	63,205	74,830	4729,614	4777,108
0,0265	63,204	74,830	4729,597	4777,107
0,0270	63,204	74,830	4729,587	4777,102
0,0275	63,204	74,830	4729,583	4777,096
0,0280	63,204	74,830	4729,582	4777,089
0,0285	63,204	74,830	4729,583	4777,083
0,0290	63,204	74,830	4729,584	4777,078
0,0295	63,204	74,830	4729,586	4777,074
0,0300	63,204	74,830	4729,589	4777,070
0,0305	63,204	74,830	4729,590	4777,068
0,0310	63,204	74,830	4729,592	4777,066
0,0315	63,204	74,830	4729,593	4777,065

0,0675	75,763	67,923	5146,065	6112,568
0,0680	78,074	66,643	5203,107	5848,614
0,0685	80,043	65,551	5246,863	5666,142
0,0690	81,988	64,470	5285,747	5536,267
0,0695	83,702	63,516	5316,402	5450,129
0,0700	84,995	62,796	5337,309	5399,123
0,0705	85,919	62,281	5351,078	5372,096
0,0710	86,544	61,932	5359,839	5360,579
0,0715	86,942	61,710	5365,177	5358,425
0,0720	87,058	61,645	5366,705	5363,277
0,0725	87,223	61,553	5368,836	5366,829
0,0730	87,302	61,509	5369,858	5371,769
0,0735	87,329	61,494	5370,195	5376,858
0,0740	87,325	61,496	5370,141	5381,434
0,0745	87,305	61,507	5369,890	5385,213
0,0750	87,279	61,522	5369,565	5388,141
0,0755	87,254	61,536	5369,239	5390,286
0,0760	87,232	61,548	5368,951	5391,777
0,0765	87,213	61,558	5368,714	5392,755
0,0770	87,199	61,566	5368,533	5393,354
0,0775	87,189	61,572	5368,401	5393,686
0,0780	87,182	61,576	5368,310	5393,841
0,0785	87,177	61,579	5368,251	5393,886
0,0790	87,175	61,580	5368,216	5393,870
0,0795	87,173	61,581	5368,196	5393,823
0,0800	87,172	61,581	5368,187	5393,765
0,0805	87,172	61,581	5368,185	5393,709
0,0810	87,172	61,581	5368,187	5393,660
0,0815	87,173	61,581	5368,190	5393,621

0,0320	63,040	74,920	4722,932	4778,234
0,0325	62,974	74,956	4720,267	4776,845
0,0330	63,074	74,902	4724,316	4774,785
0,0335	63,058	74,910	4723,681	5873,969
0,0340	63,978	74,407	4760,418	5658,676
0,0345	65,586	73,527	4822,378	5484,071
0,0350	67,270	72,604	4884,094	5352,002
0,0355	68,675	71,833	4933,116	5257,654
0,0360	70,042	71,081	4978,660	5190,059
0,0365	71,127	70,483	5013,276	5146,000
0,0370	71,945	70,033	5038,491	5119,177
0,0375	72,533	69,708	5056,144	5104,424
0,0380	72,935	69,487	5067,986	5097,715
0,0385	73,194	69,343	5075,530	5096,047
0,0390	73,349	69,258	5080,007	5097,273
0,0395	73,432	69,212	5082,380	5099,935
0,0400	73,467	69,193	5083,378	5103,095
0,0405	73,472	69,190	5083,532	5106,192
0,0410	73,461	69,196	5083,215	5108,933
0,0415	73,442	69,206	5082,675	5111,193
0,0420	73,421	69,218	5082,072	5112,958
0,0425	73,401	69,229	5081,498	5114,270
0,0430	73,384	69,239	5080,999	5115,200
0,0435	73,370	69,247	5080,592	5115,827
0,0440	73,359	69,253	5080,279	5116,224
0,0445	73,351	69,257	5080,049	5116,456
0,0450	73,345	69,260	5079,887	5116,574
0,0455	73,341	69,262	5079,780	5116,618
0,0460	73,339	69,263	5079,713	5116,618

0,0820	87,173	61,581	5368,194	5393,591
0,0825	87,173	61,581	5368,197	5393,569
0,0830	87,173	61,581	5368,201	5393,555
0,0835	87,174	61,581	5368,203	5393,545
0,0840	87,174	61,581	5368,205	5393,540
0,0845	87,174	61,580	5368,206	5393,537
0,0850	87,174	61,580	5368,207	5393,535
0,0855	87,174	61,580	5368,208	5393,535
0,0860	87,174	61,580	5368,208	5393,535
0,0865	87,174	61,580	5368,208	5393,536
0,0870	87,174	61,580	5368,208	5393,537
0,0875	87,174	61,580	5368,208	5393,537
0,0880	87,174	61,580	5368,208	5393,538
0,0885	87,174	61,580	5368,208	5393,538
0,0890	87,174	61,580	5368,208	5393,538
0,0895	87,174	61,580	5368,208	5393,539
0,0900	87,174	61,580	5368,208	5393,539
0,0905	87,174	61,580	5368,208	5393,539
0,0910	87,174	61,580	5368,208	5393,539
0,0915	87,174	61,580	5368,208	5393,539
0,0920	87,174	61,580	5368,208	5393,539
0,0925	87,174	61,580	5368,208	5393,539
0,0930	87,174	61,580	5368,208	5393,539
0,0935	87,174	61,580	5368,208	5393,539
0,0940	87,174	61,580	5368,208	5393,539
0,0945	87,174	61,580	5368,208	5393,539
0,0950	87,174	61,580	5368,208	5393,539
0,0955	87,174	61,580	5368,208	5393,539
0,0960	87,174	61,580	5368,208	5393,539

0,0465	73,338	69,264	5079,675	5116,594
0,0470	73,337	69,264	5079,656	5116,559
0,0475	73,337	69,265	5079,650	5116,522
0,0480	73,337	69,265	5079,652	5116,488
0,0485	73,337	69,264	5079,657	5116,460
0,0490	73,337	69,264	5079,664	5116,436
0,0495	73,338	69,264	5079,671	5116,419
0,0500	73,338	69,264	5079,677	5116,406

0,0965	87,174	61,580	5368,208	5393,539
0,0970	87,174	61,580	5368,208	5393,539
0,0975	87,174	61,580	5368,208	5393,539
0,0980	87,174	61,580	5368,208	5393,539
0,0985	87,174	61,580	5368,208	5393,539
0,0990	87,174	61,580	5368,208	5393,539
0,0995	87,174	61,580	5368,208	5393,539
0,1	87,174	61,580	5368,208	5393,539

3. Pembebanan Turun dengan Fuzzy Logic

Fuzzy - beban Turun

Time	Arus (I)	Tegangan (V)	Daya (W)	Beban (W)	Time	Arus (I)	Tegangan (V)	Daya (W)	Beban (W)
0,0005	78,031	66,661	5201,645	24,979	0,0505	73,339	69,263	5079,711	5116,373
0,0010	100,028	14,877	1488,140	244,989	0,0510	73,339	69,264	5079,706	5116,381
0,0015	98,691	24,981	2465,437	671,987	0,0515	73,339	69,264	5079,702	5116,386
0,0020	97,390	33,767	3288,531	1204,977	0,0520	73,339	69,264	5079,699	5116,389
0,0025	96,318	40,163	3868,440	1774,628	0,0525	73,339	69,264	5079,697	5116,390
0,0030	95,834	42,780	4099,818	2263,024	0,0530	73,338	69,264	5079,696	5116,391
0,0035	95,321	45,372	4324,886	2682,208	0,0535	73,338	69,264	5079,695	5116,391
0,0040	94,677	48,346	4577,304	3069,169	0,0540	73,338	69,264	5079,694	5116,390
0,0045	94,077	50,832	4782,073	3420,053	0,0545	73,338	69,264	5079,694	5116,390
0,0050	93,516	52,895	4946,580	3733,912	0,0550	73,338	69,264	5079,694	5116,389
0,0055	92,991	54,600	5077,349	4011,471	0,0555	73,338	69,264	5079,694	5116,389
0,0060	92,499	55,999	5179,806	4254,509	0,0560	73,338	69,264	5079,694	5116,389
0,0065	92,034	57,136	5258,445	4465,411	0,0565	73,338	69,264	5079,694	5116,388
0,0070	91,592	58,050	5316,958	4646,863	0,0570	73,338	69,264	5079,694	5116,388
0,0075	91,171	58,772	5358,336	4801,637	0,0575	73,338	69,264	5079,694	5116,388
0,0080	90,766	59,328	5384,927	4932,450	0,0580	73,338	69,264	5079,694	5116,388
0,0085	90,371	59,737	5398,450	5041,862	0,0585	73,338	69,264	5079,695	5116,388
0,0090	89,979	60,013	5399,939	5132,211	0,0590	73,338	69,264	5079,695	5116,388
0,0095	89,583	60,235	5396,010	5205,556	0,0595	73,338	69,264	5079,695	5116,388
0,0100	89,182	60,459	5391,845	5263,723	0,0600	73,338	69,264	5079,695	5116,388
0,0105	88,784	60,681	5387,529	5308,433	0,0605	73,338	69,264	5079,695	5116,388
0,0110	88,405	60,893	5383,252	5341,443	0,0610	73,338	69,264	5079,695	5116,388
0,0115	88,068	61,081	5379,301	5364,642	0,0615	73,338	69,264	5079,695	5116,388
0,0120	87,789	61,237	5375,939	5380,051	0,0620	73,338	69,264	5079,695	5116,388

0,0125	87,573	61,358	5373,273	5389,619	0,0625	73,338	69,264	5079,695	5116,388
0,0130	87,415	61,446	5371,285	5395,042	0,0630	73,338	69,264	5079,695	5116,388
0,0135	87,304	61,508	5369,886	5397,682	0,0635	73,338	69,264	5079,695	5116,388
0,0140	87,232	61,548	5368,960	5398,571	0,0640	73,338	69,264	5079,695	5116,388
0,0145	87,188	61,573	5368,389	5398,448	0,0645	73,338	69,264	5079,695	5116,388
0,0150	87,163	61,586	5368,072	5397,815	0,0650	73,338	69,264	5079,695	5116,388
0,0155	87,152	61,593	5367,922	5396,990	0,0655	73,338	69,264	5079,695	5116,388
0,0160	87,148	61,595	5367,878	5396,161	0,0660	73,338	69,264	5079,695	5116,388
0,0165	87,150	61,594	5367,893	5395,427	0,0665	73,338	69,264	5079,695	5116,388
0,0170	87,153	61,592	5367,938	5394,827	0,0670	72,966	69,469	5068,922	4223,980
0,0175	87,157	61,590	5367,992	5394,366	0,0675	71,821	70,101	5034,738	4369,848
0,0180	87,161	61,587	5368,046	5394,031	0,0680	70,347	70,913	4988,545	4490,962
0,0185	87,165	61,585	5368,092	5393,800	0,0685	68,835	71,745	4938,589	4586,469
0,0190	87,168	61,584	5368,130	5393,650	0,0690	67,450	72,506	4890,513	4658,330
0,0195	87,170	61,583	5368,158	5393,559	0,0695	66,269	73,154	4847,806	4709,948
0,0200	87,172	61,582	5368,179	5393,510	0,0700	65,316	73,676	4812,188	4745,219
0,0205	87,173	61,581	5368,193	5393,488	0,0705	64,582	74,077	4784,052	4767,930
0,0210	87,174	61,581	5368,202	5393,482	0,0710	64,041	74,373	4762,914	4781,432
0,0215	87,174	61,580	5368,207	5393,486	0,0715	63,659	74,582	4747,810	4788,495
0,0220	87,174	61,580	5368,210	5393,494	0,0720	63,403	74,722	4737,588	4791,293
0,0225	87,174	61,580	5368,211	5393,503	0,0725	63,242	74,810	4731,107	4791,453
0,0230	87,174	61,580	5368,212	5393,512	0,0730	63,149	74,860	4727,354	4790,134
0,0235	87,174	61,580	5368,211	5393,520	0,0735	63,103	74,886	4725,489	4788,124
0,0240	87,174	61,580	5368,211	5393,526	0,0740	63,087	74,894	4724,856	4785,929
0,0245	87,174	61,580	5368,210	5393,531	0,0745	63,090	74,893	4724,970	4783,845
0,0250	87,174	61,580	5368,210	5393,534	0,0750	63,103	74,886	4725,485	4782,027
0,0255	87,174	61,580	5368,209	5393,537	0,0755	63,120	74,876	4726,173	4780,534
0,0260	87,174	61,580	5368,209	5393,538	0,0760	63,137	74,867	4726,890	4779,368
0,0265	87,174	61,580	5368,209	5393,539	0,0765	63,154	74,858	4727,551	4778,496

0,0270	87,174	61,580	5368,208	5393,539	0,0770	63,168	74,850	4728,118	4777,873
0,0275	87,174	61,580	5368,208	5393,540	0,0775	63,179	74,844	4728,576	4777,448
0,0280	87,174	61,580	5368,208	5393,540	0,0780	63,188	74,839	4728,930	4777,175
0,0285	87,174	61,580	5368,208	5393,540	0,0785	63,194	74,836	4729,191	4777,013
0,0290	87,174	61,580	5368,208	5393,539	0,0790	63,199	74,833	4729,376	4776,928
0,0295	87,174	61,580	5368,208	5393,539	0,0795	63,202	74,831	4729,499	4776,895
0,0300	87,174	61,580	5368,208	5393,539	0,0800	63,204	74,830	4729,577	4776,892
0,0305	87,174	61,580	5368,208	5393,539	0,0805	63,205	74,830	4729,623	4776,908
0,0310	87,174	61,580	5368,208	5393,539	0,0810	63,206	74,829	4729,645	4776,932
0,0315	87,174	61,580	5368,208	5393,539	0,0815	63,206	74,829	4729,653	4776,958
0,0320	87,174	61,580	5368,208	5393,539	0,0820	63,206	74,829	4729,651	4776,983
0,0325	87,174	61,580	5368,208	5393,539	0,0825	63,206	74,829	4729,645	4777,005
0,0330	87,174	61,580	5368,208	5393,539	0,0830	63,205	74,830	4729,637	4777,023
0,0335	87,021	61,666	5366,226	4154,663	0,0835	63,205	74,830	4729,628	4777,037
0,0340	85,714	62,395	5348,126	4407,198	0,0840	63,205	74,830	4729,621	4777,047
0,0345	83,716	63,509	5316,669	4619,252	0,0845	63,205	74,830	4729,614	4777,055
0,0350	81,555	64,711	5277,496	4787,103	0,0850	63,205	74,830	4729,608	4777,060
0,0355	79,532	65,835	5235,971	4913,129	0,0855	63,205	74,830	4729,604	4777,063
0,0360	77,794	66,799	5196,554	5003,014	0,0860	63,205	74,830	4729,601	4777,065
0,0365	76,391	67,576	5162,207	5063,714	0,0865	63,204	74,830	4729,599	4777,066
0,0370	75,315	68,171	5134,335	5102,144	0,0870	63,204	74,830	4729,597	4777,066
0,0375	74,527	68,607	5113,099	5124,440	0,0875	63,204	74,830	4729,596	4777,066
0,0380	73,978	68,911	5097,861	5135,653	0,0880	63,204	74,830	4729,596	4777,066
0,0385	73,614	69,111	5087,589	5139,693	0,0885	63,204	74,830	4729,596	4777,066
0,0390	73,389	69,236	5081,151	5139,432	0,0890	63,204	74,830	4729,595	4777,066
0,0395	73,262	69,306	5077,497	5136,875	0,0895	63,204	74,830	4729,595	4777,065
0,0400	73,202	69,339	5075,747	5133,349	0,0900	63,204	74,830	4729,596	4777,065
0,0405	73,183	69,349	5075,215	5129,668	0,0905	63,204	74,830	4729,596	4777,065
0,0410	73,190	69,346	5075,398	5126,290	0,0910	63,204	74,830	4729,596	4777,065

0,0415	73,209	69,335	5075,948	5123,429	0,0915	63,204	74,830	4729,596	4777,064
0,0420	73,232	69,322	5076,638	5121,147	0,0920	63,204	74,830	4729,596	4777,064
0,0425	73,256	69,309	5077,331	5119,417	0,0925	63,204	74,830	4729,596	4777,064
0,0430	73,278	69,297	5077,952	5118,165	0,0930	63,204	74,830	4729,596	4777,064
0,0435	73,296	69,287	5078,470	5117,303	0,0935	63,204	74,830	4729,596	4777,064
0,0440	73,310	69,279	5078,878	5116,742	0,0940	63,204	74,830	4729,596	4777,064
0,0445	73,321	69,274	5079,184	5116,402	0,0945	63,204	74,830	4729,596	4777,064
0,0450	73,328	69,269	5079,402	5116,217	0,0950	63,204	74,830	4729,596	4777,064
0,0455	73,333	69,267	5079,551	5116,135	0,0955	63,204	74,830	4729,596	4777,064
0,0460	73,337	69,265	5079,646	5116,117	0,0960	63,204	74,830	4729,596	4777,064
0,0465	73,339	69,264	5079,703	5116,135	0,0965	63,204	74,830	4729,596	4777,064
0,0470	73,340	69,263	5079,732	5116,172	0,0970	63,204	74,830	4729,596	4777,064
0,0475	73,340	69,263	5079,744	5116,214	0,0975	63,204	74,830	4729,596	4777,064
0,0480	73,340	69,263	5079,746	5116,255	0,0980	63,204	74,830	4729,596	4777,064
0,0485	73,340	69,263	5079,741	5116,291	0,0985	63,204	74,830	4729,596	4777,064
0,0490	73,340	69,263	5079,734	5116,321	0,0990	63,204	74,830	4729,596	4777,064
0,0495	73,340	69,263	5079,726	5116,344	0,0995	63,204	74,830	4729,596	4777,064
0,0500	73,339	69,263	5079,718	5116,361	0,1	63,204	74,830	4729,596	4777,064

4. Pembebanan Turun dengn P&O

P&O - beban Turun

Time	Arus (I)	Tegangan (V)	Daya (W)	Beban (W)	Time	Arus (I)	Tegangan (V)	Daya (W)	Beban (W)
0,0005	78,126	66,609	5203,855	23,426	0,0505	73,339	69,263	5079,711	5116,372
0,0010	100,309	12,627	1266,598	212,115	0,0510	73,339	69,264	5079,706	5116,380
0,0015	99,302	20,489	2034,640	551,636	0,0515	73,339	69,264	5079,702	5116,385
0,0020	98,348	27,400	2694,740	969,140	0,0520	73,339	69,264	5079,699	5116,388
0,0025	97,473	33,242	3240,169	1421,152	0,0525	73,339	69,264	5079,697	5116,390

0,0030	96,667	38,169	3689,655	1877,862
0,0035	95,923	42,314	4058,900	2319,938
0,0040	95,234	45,793	4361,032	2735,480
0,0045	94,499	49,113	4641,156	3121,250
0,0050	93,994	51,153	4808,014	3466,660
0,0055	93,440	53,157	4966,980	3775,309
0,0060	92,920	54,815	5093,434	4047,864
0,0065	92,431	56,174	5192,272	4286,205
0,0070	91,970	57,278	5267,860	4492,778
0,0075	91,532	58,163	5323,785	4670,292
0,0080	91,016	59,001	5370,062	4825,143
0,0085	90,686	59,421	5388,638	4951,645
0,0090	90,304	59,793	5399,537	5057,695
0,0095	89,853	60,084	5398,711	5147,509
0,0100	89,488	60,288	5395,039	5217,336
0,0105	89,099	60,506	5390,955	5272,674
0,0110	88,708	60,724	5386,685	5315,025
0,0115	88,338	60,930	5382,478	5346,083
0,0120	88,012	61,112	5378,639	5367,732
0,0125	87,746	61,261	5375,412	5381,975
0,0130	87,541	61,375	5372,878	5390,714
0,0135	87,393	61,458	5371,006	5395,579
0,0140	87,290	61,516	5369,700	5397,867
0,0145	87,223	61,553	5368,845	5398,552
0,0150	87,183	61,575	5368,325	5398,325
0,0155	87,161	61,588	5368,041	5397,652
0,0160	87,151	61,593	5367,913	5396,826
0,0165	87,026	61,663	5366,286	5398,152
0,0170	86,911	61,727	5364,763	5399,725

0,0530	73,338	69,264	5079,696	5116,390
0,0535	73,338	69,264	5079,695	5116,391
0,0540	73,338	69,264	5079,694	5116,390
0,0545	73,338	69,264	5079,694	5116,390
0,0550	73,338	69,264	5079,694	5116,389
0,0555	73,338	69,264	5079,694	5116,389
0,0560	73,338	69,264	5079,694	5116,389
0,0565	73,338	69,264	5079,694	5116,388
0,0570	73,338	69,264	5079,694	5116,388
0,0575	73,338	69,264	5079,694	5116,388
0,0580	73,338	69,264	5079,694	5116,388
0,0585	73,338	69,264	5079,695	5116,388
0,0590	73,338	69,264	5079,695	5116,388
0,0595	73,338	69,264	5079,695	5116,388
0,0600	73,338	69,264	5079,695	5116,388
0,0605	73,338	69,264	5079,695	5116,388
0,0610	73,338	69,264	5079,695	5116,388
0,0615	73,338	69,264	5079,695	5116,388
0,0620	73,338	69,264	5079,695	5116,388
0,0625	73,338	69,264	5079,695	5116,388
0,0630	73,204	69,338	5075,816	5117,554
0,0635	73,257	69,309	5077,337	5116,011
0,0640	73,294	69,288	5078,404	5115,217
0,0645	73,318	69,275	5079,115	5114,910
0,0650	73,180	69,351	5075,121	5116,724
0,0655	72,971	69,467	5069,032	5117,634
0,0660	73,001	69,450	5069,920	5114,438
0,0665	73,155	69,365	5074,408	5111,216
0,0670	72,886	69,513	5066,573	4218,726

0,0175	87,002	61,677	5365,962	5395,555	0,0675	71,805	70,110	5034,256	4364,426
0,0180	87,069	61,639	5366,841	5393,158	0,0680	70,369	70,901	4989,230	4485,960
0,0185	87,116	61,613	5367,455	5391,959	0,0685	68,544	71,905	4928,645	4585,222
0,0190	87,147	61,595	5367,859	5391,520	0,0690	67,142	72,675	4879,535	4655,563
0,0195	87,166	61,585	5368,109	5391,527	0,0695	66,108	73,242	4841,874	4704,727
0,0200	87,177	61,579	5368,250	5391,764	0,0700	65,252	73,711	4809,775	4739,136
0,0205	87,183	61,576	5368,318	5392,092	0,0705	64,578	74,079	4783,911	4761,962
0,0210	87,184	61,575	5368,341	5392,431	0,0710	64,071	74,357	4764,092	4776,110
0,0215	87,184	61,575	5368,337	5392,735	0,0715	63,705	74,557	4749,624	4784,053
0,0220	87,183	61,576	5368,320	5392,986	0,0720	63,316	74,769	4734,098	4788,198
0,0225	87,181	61,576	5368,299	5393,181	0,0725	63,209	74,828	4729,772	4787,927
0,0230	87,179	61,577	5368,277	5393,323	0,0730	63,149	74,861	4727,351	4786,714
0,0235	87,178	61,578	5368,257	5393,422	0,0735	63,121	74,876	4726,227	4785,098
0,0240	87,177	61,579	5368,242	5393,487	0,0740	63,114	74,880	4725,933	4783,417
0,0245	87,176	61,579	5368,230	5393,527	0,0745	63,119	74,877	4726,129	4781,864
0,0250	87,175	61,580	5368,221	5393,549	0,0750	63,130	74,871	4726,577	4780,534
0,0255	87,175	61,580	5368,215	5393,559	0,0755	63,143	74,864	4727,120	4779,457
0,0260	87,174	61,580	5368,211	5393,562	0,0760	63,157	74,856	4727,664	4778,627
0,0265	87,174	61,580	5368,209	5393,561	0,0765	63,169	74,850	4728,154	4778,014
0,0270	87,174	61,580	5368,207	5393,558	0,0770	63,179	74,844	4728,566	4777,581
0,0275	87,174	61,580	5368,207	5393,554	0,0775	63,187	74,840	4728,896	4777,291
0,0280	87,174	61,580	5368,207	5393,550	0,0780	63,193	74,836	4729,147	4777,107
0,0285	87,174	61,580	5368,207	5393,547	0,0785	63,198	74,834	4729,330	4777,002
0,0290	87,174	61,580	5368,207	5393,544	0,0790	63,201	74,832	4729,457	4776,949
0,0295	87,174	61,580	5368,207	5393,542	0,0795	63,203	74,831	4729,542	4776,931
0,0300	87,174	61,580	5368,207	5393,541	0,0800	63,204	74,830	4729,594	4776,934
0,0305	87,174	61,580	5368,208	5393,540	0,0805	63,205	74,830	4729,623	4776,949
0,0310	87,174	61,580	5368,208	5393,539	0,0810	63,205	74,830	4729,636	4776,968
0,0315	87,174	61,580	5368,208	5393,539	0,0815	63,206	74,830	4729,640	4776,988

0,0320	87,035	61,658	5366,405	5396,438
0,0325	86,972	61,693	5365,578	5395,987
0,0330	87,051	61,649	5366,604	5393,169
0,0335	86,789	61,796	5363,147	4156,404
0,0340	85,437	62,550	5344,039	4408,584
0,0345	83,552	63,600	5313,890	4617,772
0,0350	81,469	64,758	5275,834	4784,168
0,0355	79,360	65,930	5232,213	4911,357
0,0360	77,705	66,848	5194,426	4999,706
0,0365	76,356	67,596	5161,305	5059,911
0,0370	75,312	68,173	5134,261	5098,469
0,0375	74,543	68,599	5113,516	5121,220
0,0380	74,001	68,898	5098,515	5133,017
0,0385	73,640	69,097	5088,308	5137,649
0,0390	73,413	69,223	5081,831	5137,922
0,0395	73,282	69,295	5078,084	5135,813
0,0400	73,218	69,330	5076,222	5132,639
0,0405	73,196	69,343	5075,579	5129,223
0,0410	73,199	69,341	5075,664	5126,034
0,0415	73,215	69,332	5076,133	5123,302
0,0420	73,237	69,320	5076,760	5121,103
0,0425	73,259	69,308	5077,405	5119,422
0,0430	73,279	69,296	5077,994	5118,197
0,0435	73,297	69,287	5078,490	5117,346
0,0440	73,310	69,279	5078,883	5116,786
0,0445	73,321	69,274	5079,181	5116,442
0,0450	73,328	69,269	5079,395	5116,250
0,0455	73,333	69,267	5079,542	5116,161
0,0460	73,336	69,265	5079,638	5116,137

0,0820	63,205	74,830	4729,638	4777,007
0,0825	63,205	74,830	4729,632	4777,023
0,0830	63,205	74,830	4729,626	4777,036
0,0835	63,205	74,830	4729,619	4777,046
0,0840	63,205	74,830	4729,613	4777,053
0,0845	63,205	74,830	4729,608	4777,058
0,0850	63,205	74,830	4729,604	4777,062
0,0855	63,205	74,830	4729,601	4777,064
0,0860	63,205	74,830	4729,599	4777,065
0,0865	63,204	74,830	4729,598	4777,066
0,0870	63,204	74,830	4729,597	4777,066
0,0875	63,204	74,830	4729,596	4777,066
0,0880	63,204	74,830	4729,596	4777,066
0,0885	63,204	74,830	4729,596	4777,065
0,0890	63,204	74,830	4729,596	4777,065
0,0895	63,204	74,830	4729,596	4777,065
0,0900	63,204	74,830	4729,596	4777,065
0,0905	63,204	74,830	4729,596	4777,065
0,0910	63,204	74,830	4729,596	4777,064
0,0915	63,204	74,830	4729,596	4777,064
0,0920	63,204	74,830	4729,596	4777,064
0,0925	63,204	74,830	4729,596	4777,064
0,0930	63,204	74,830	4729,596	4777,064
0,0935	63,204	74,830	4729,596	4777,064
0,0940	63,204	74,830	4729,596	4777,064
0,0945	63,204	74,830	4729,596	4777,064
0,0950	63,204	74,830	4729,596	4777,064
0,0955	63,204	74,830	4729,596	4777,064
0,0960	63,204	74,830	4729,596	4777,064

0,0465	73,338	69,264	5079,695	5116,150
0,0470	73,340	69,263	5079,726	5116,182
0,0475	73,340	69,263	5079,740	5116,221
0,0480	73,340	69,263	5079,742	5116,259
0,0485	73,340	69,263	5079,739	5116,293
0,0490	73,340	69,263	5079,732	5116,322
0,0495	73,339	69,263	5079,725	5116,344
0,0500	73,339	69,263	5079,717	5116,361

0,0965	63,204	74,830	4729,596	4777,064
0,0970	63,204	74,830	4729,596	4777,064
0,0975	63,204	74,830	4729,596	4777,064
0,0980	63,204	74,830	4729,596	4777,064
0,0985	63,204	74,830	4729,596	4777,064
0,0990	63,204	74,830	4729,596	4777,064
0,0995	63,204	74,830	4729,596	4777,064
0,1	63,204	74,830	4729,596	4777,064

BIODATA PENULIS



Penulis dilahirkan di Surabaya, 10 September 2000, merupakan anak pertama dari 2 bersaudara. Penulis telah menempuh pendidikan formal yaitu di TK Sepuluh Nopember pada tahun 2004 hingga 2006, SD Muhammadiyah 4 Pucang Surabaya pada tahun 2006-2012, SMPN 19 Surabaya 2012-2015 dan SMAN 16 Surabaya tahun 2015-. Setelah lulus dari SMAN tahun 2018, Penulis mengikuti SBMPTN dan diterima di Departemen Teknik Elektro FTEIC - ITS pada tahun 2018 dan terdaftar dengan NRP 07111840000089.

Di Departemen Teknik Elektro Penulis memutuskan untuk mengambil peminatan Teknik Sistem Tenaga dan mengabdikan diri di Laboratorium Konversi Energi sebagai Asisten Laboratorium, and juga aktif di bidang non akademik seperti menjadi Steering Committee kaderisasi Himpunan Mahasiswa Teknik Elektro.